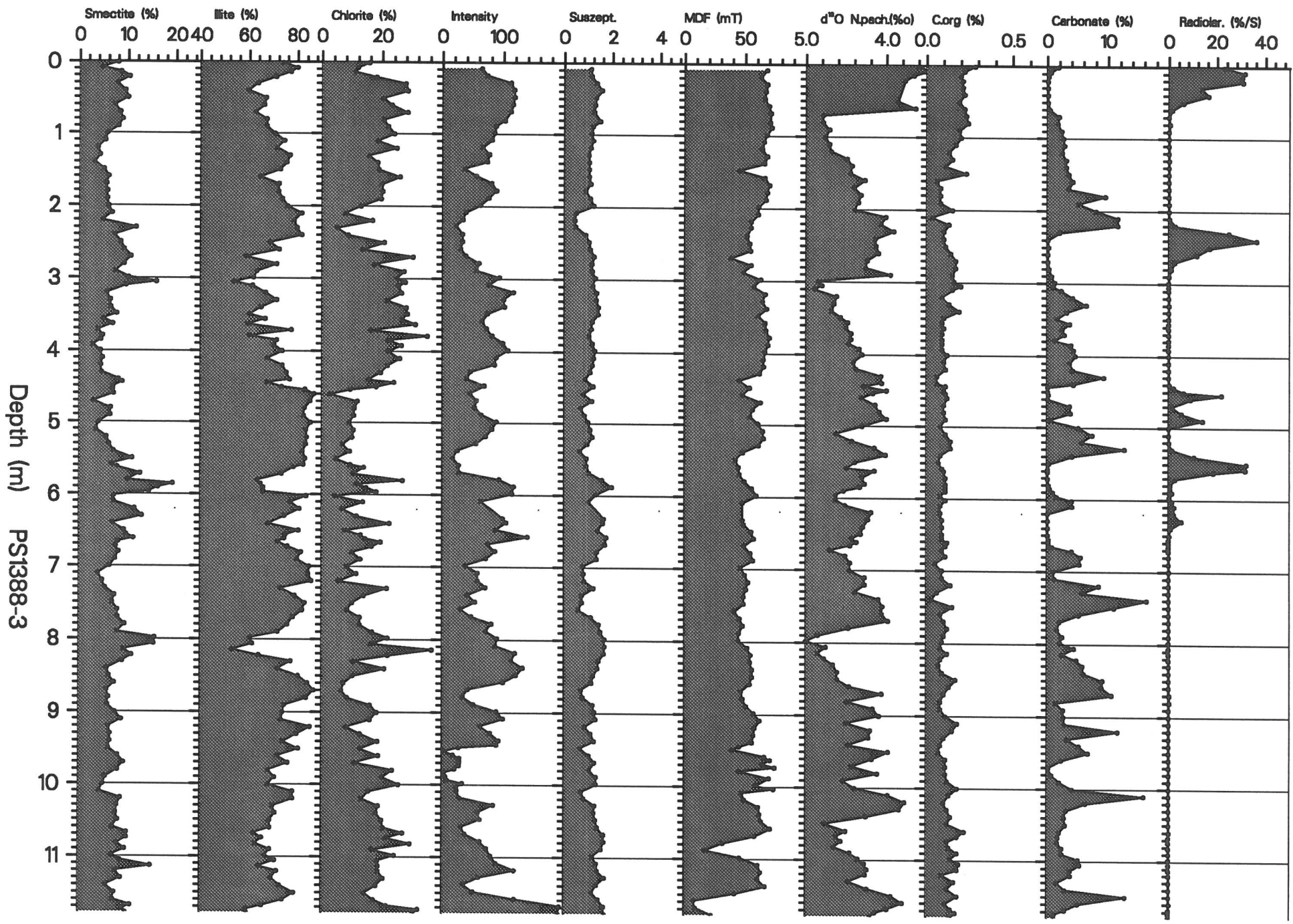


AWI • SEDAN • 8-MAY-80 • Scale 1:70



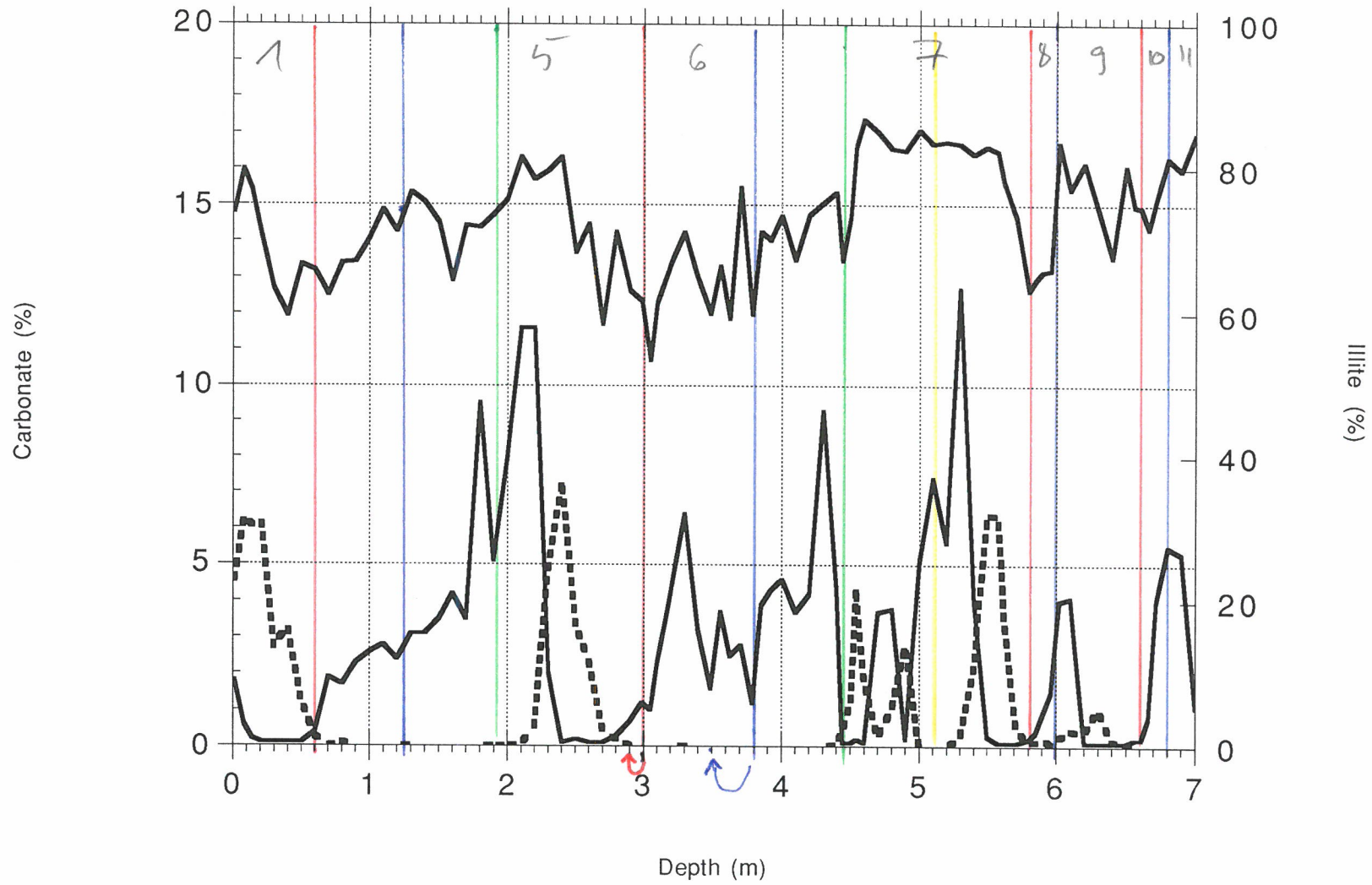
AWI • SEDAN • 9-MAY-80 • Scale 1:70

— Carbonate (%)

— Illite (%)

----- Radiolaria (%)

1388.3sedat



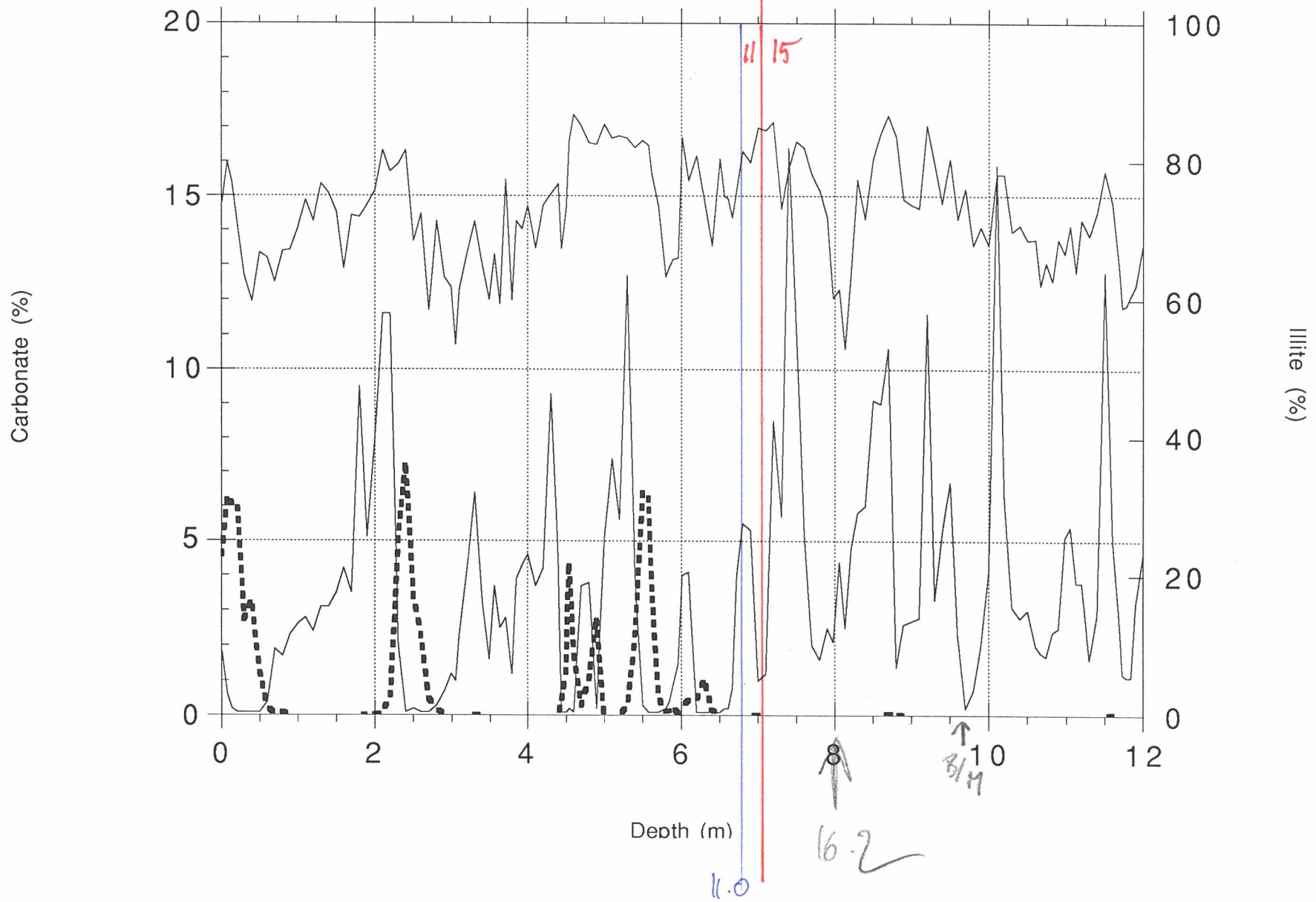
Hiatus 325 ka - 585 ka

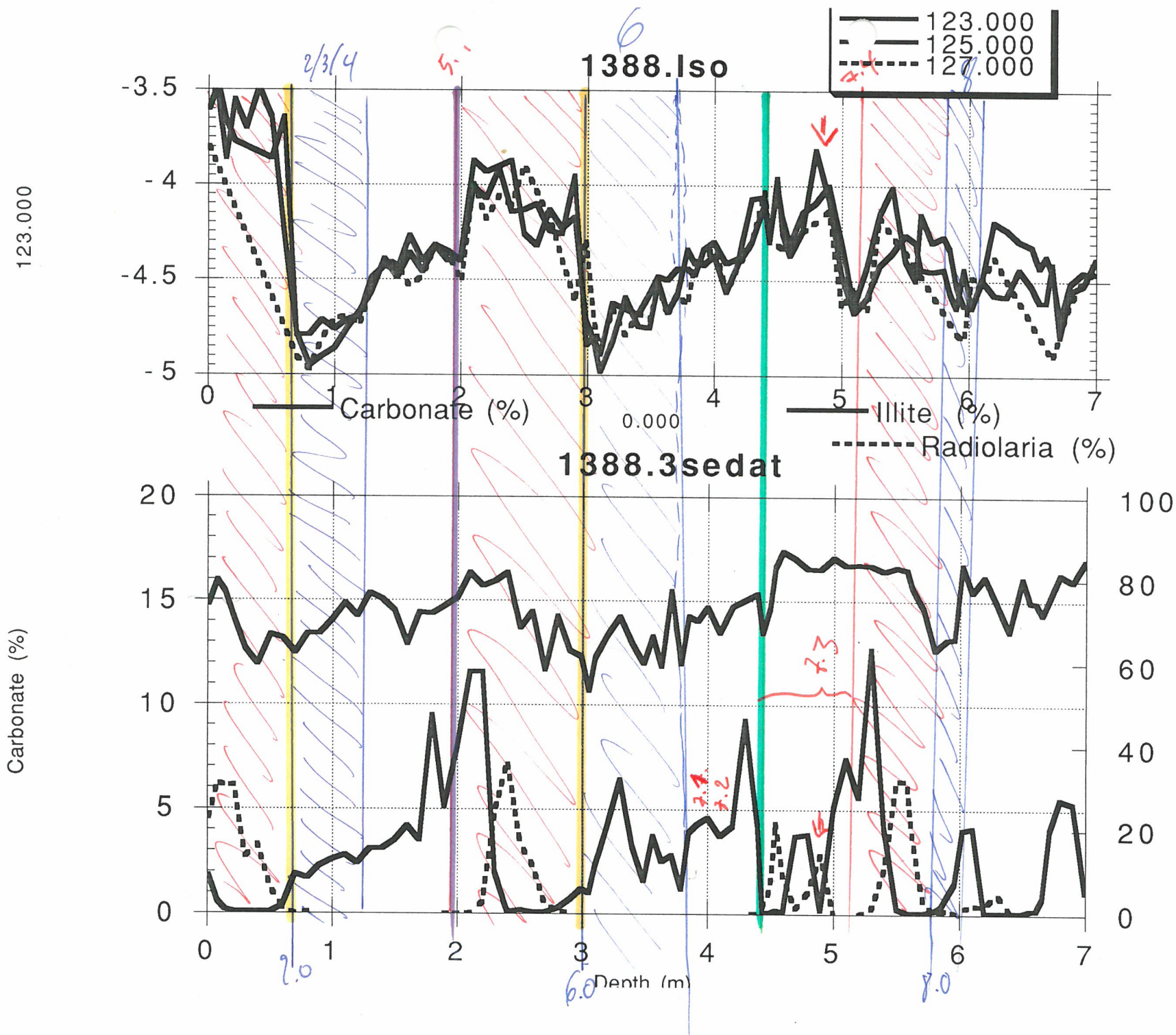
— Carbonate (%)

— Illite (%)

- - - Radiolaria (%)

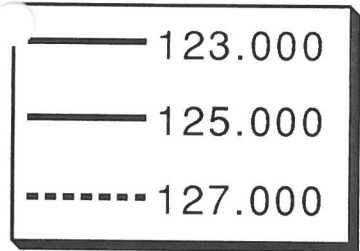
1388.3sedat



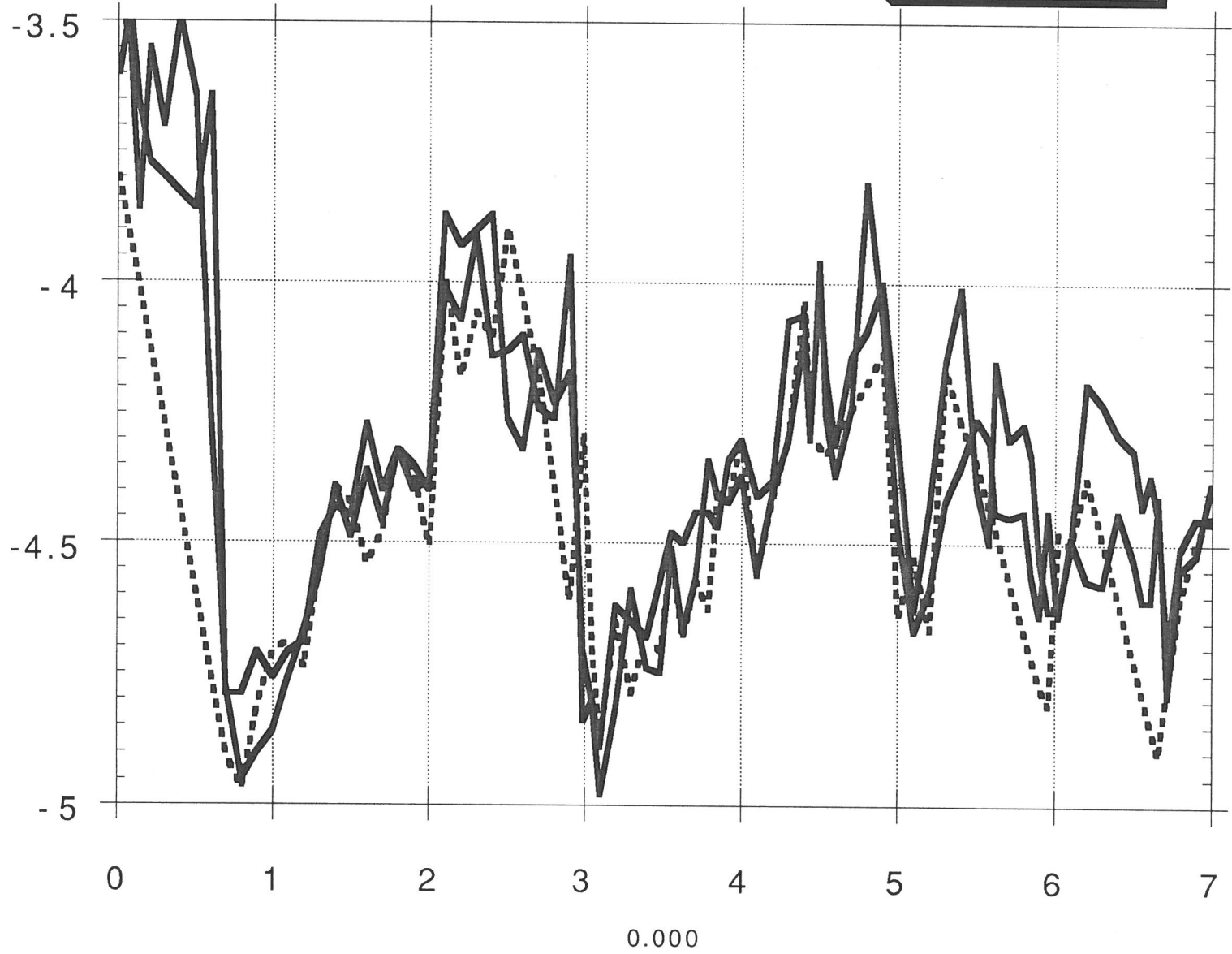


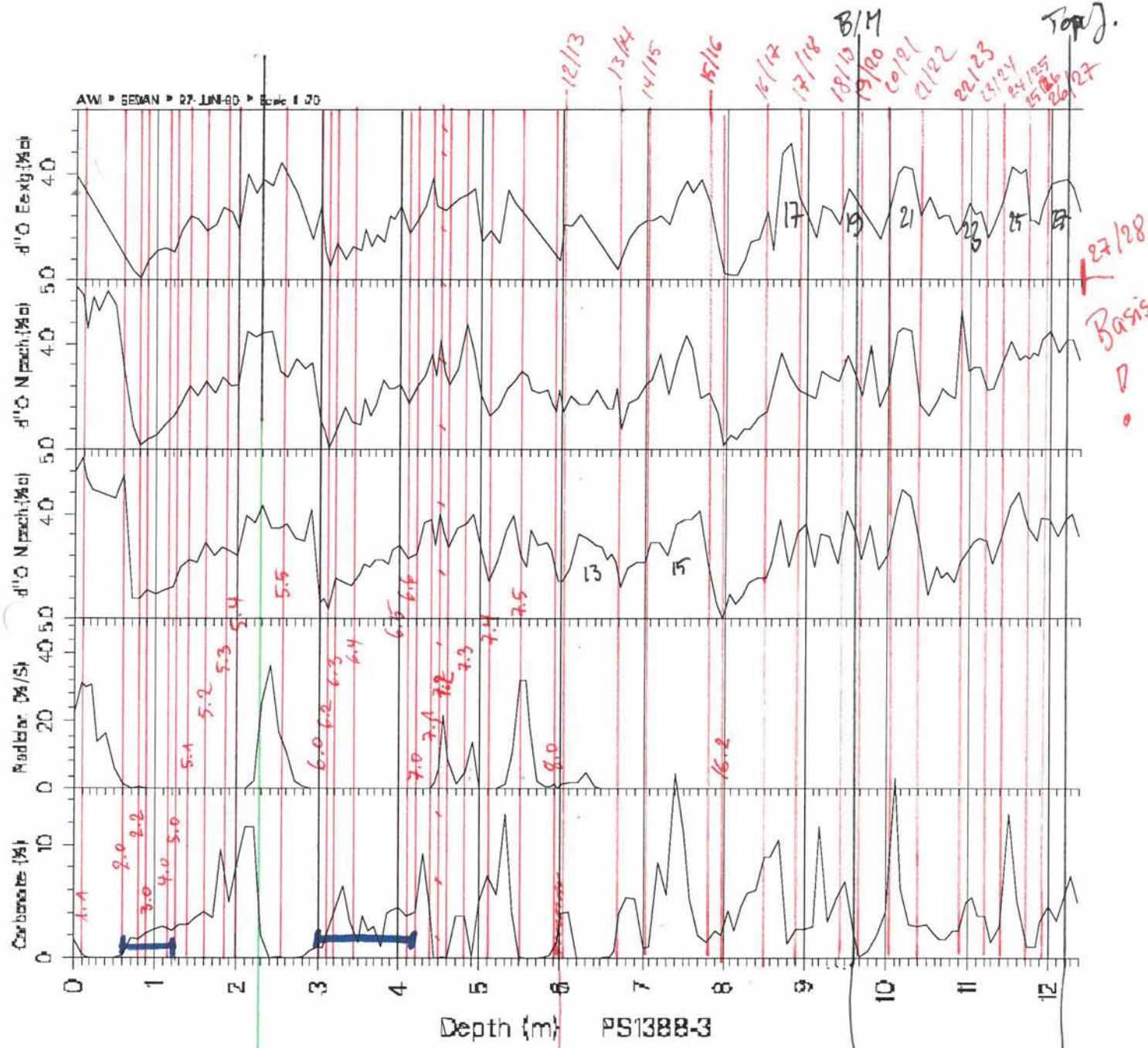
Handwritten scribbles at the bottom right of the page.

1388.Iso



123.000



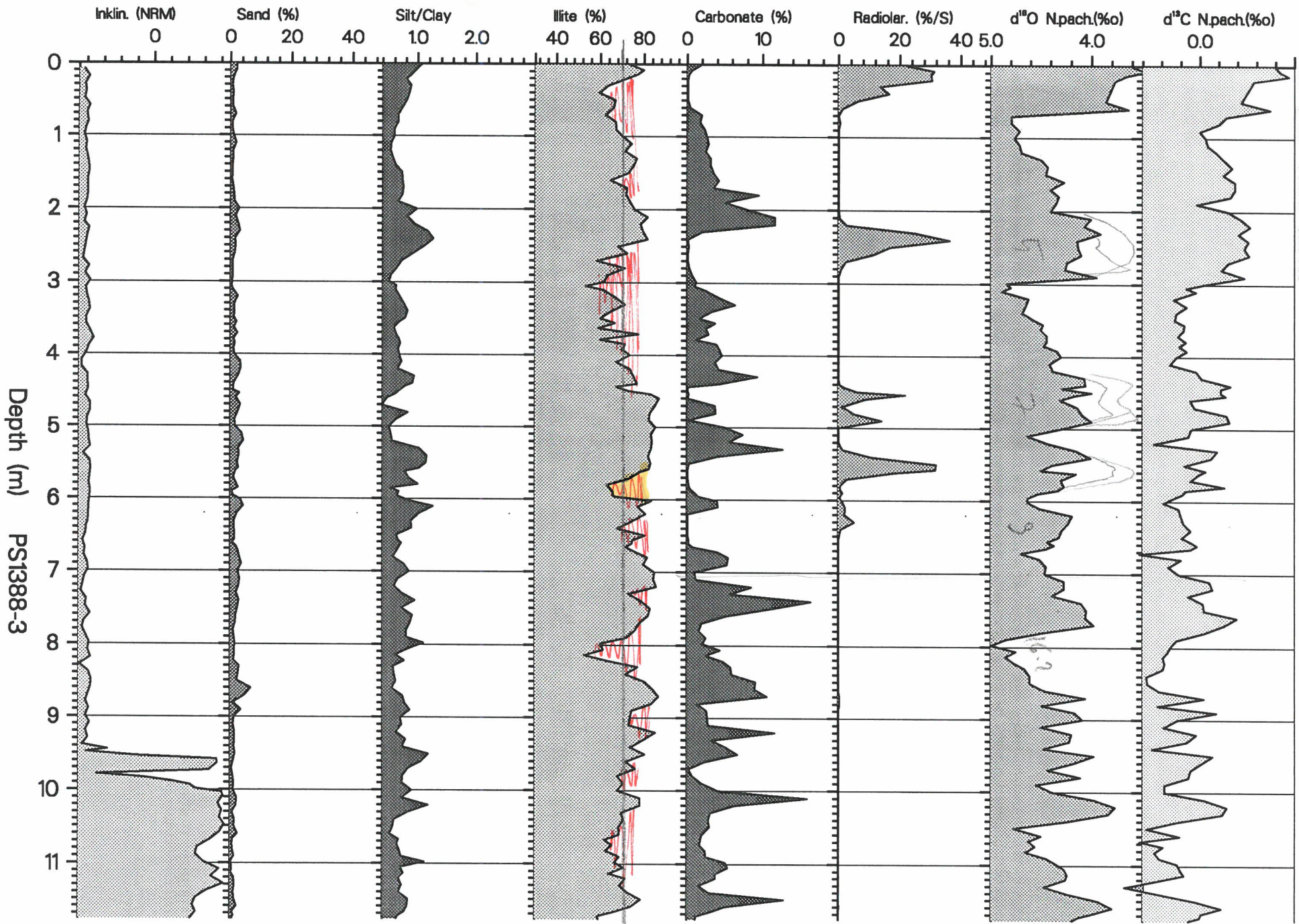


9.60
B/M
730ka

12.2
Top Jar.
~~122~~
910 ka

Diakus
bei ~~590~~ 600 cm
247,600 - 486,0 ka

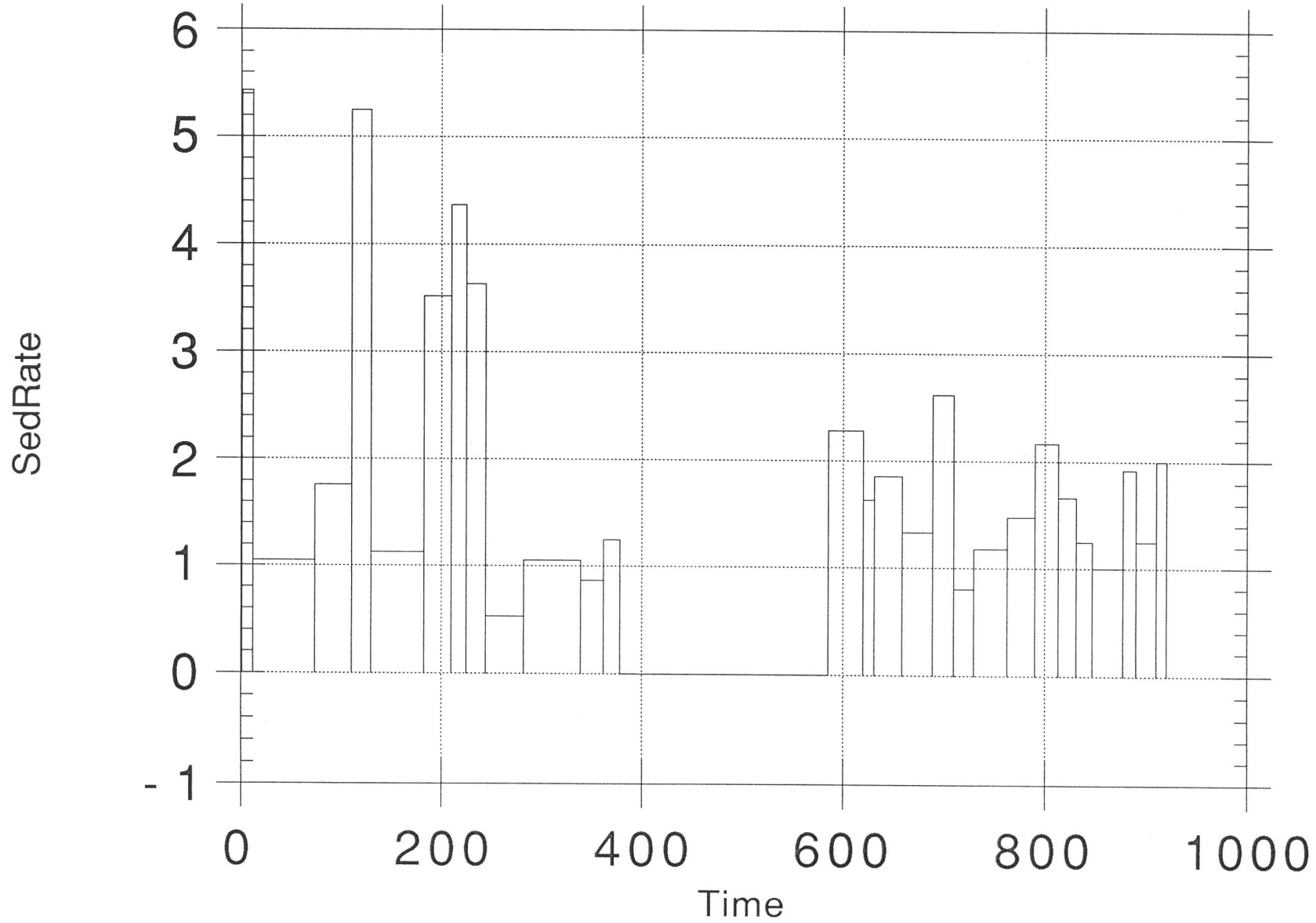
3



AWI • SEDAN • 8-JAN-91 • Scale 1:70

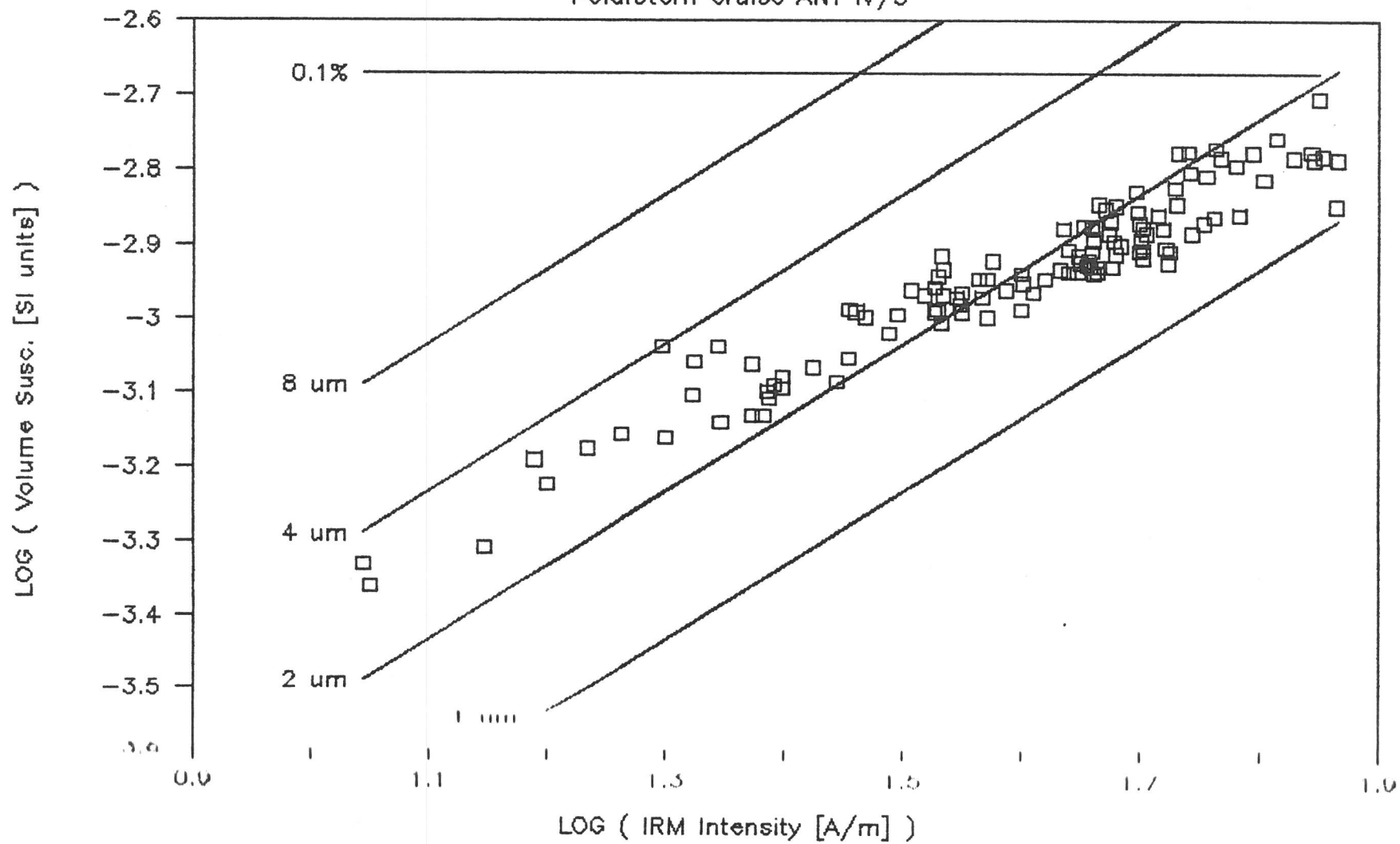
— SedRate

1388.3sedrate

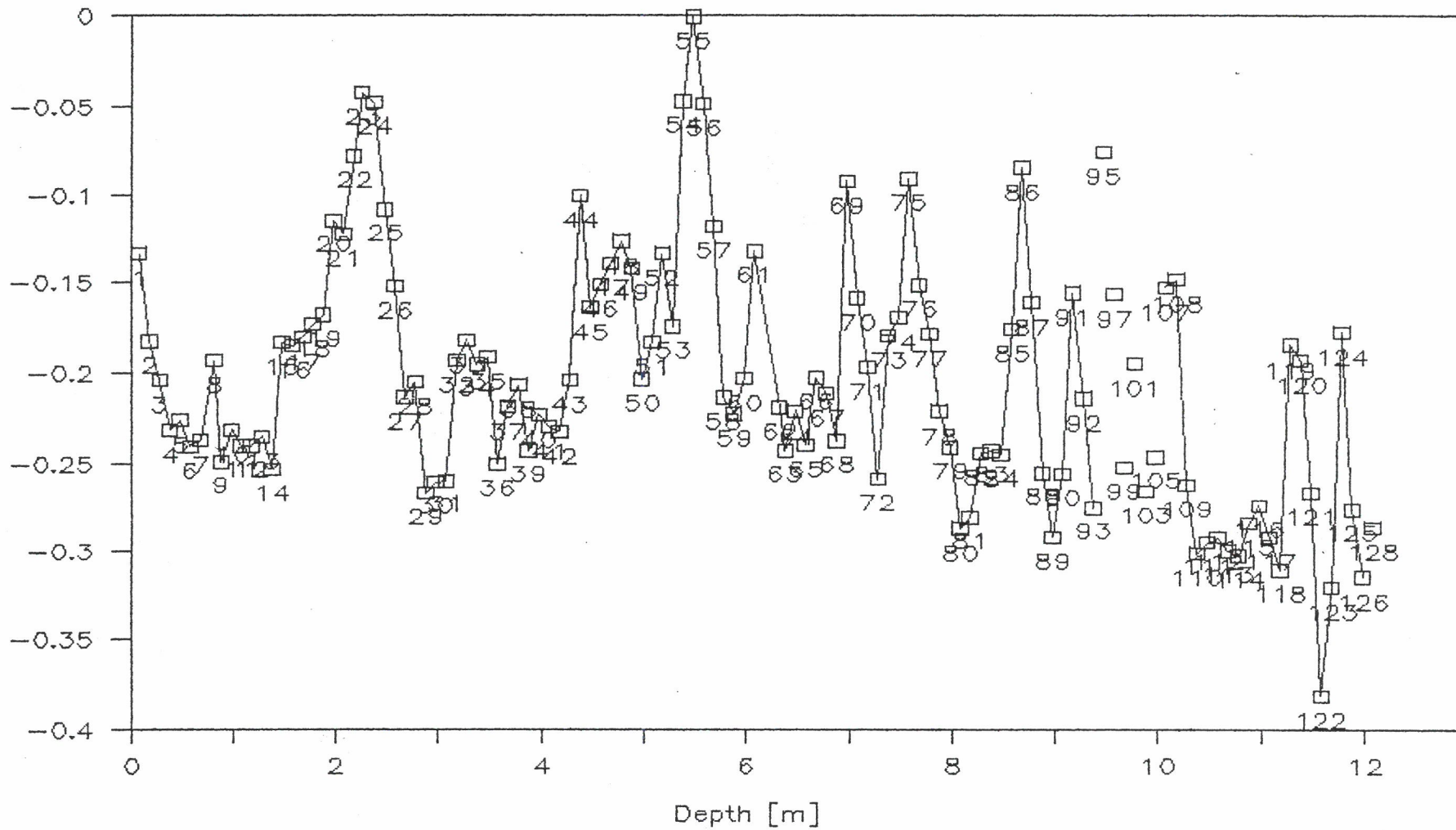


PS 1388-3

Polarstern cruise ANT IV/3



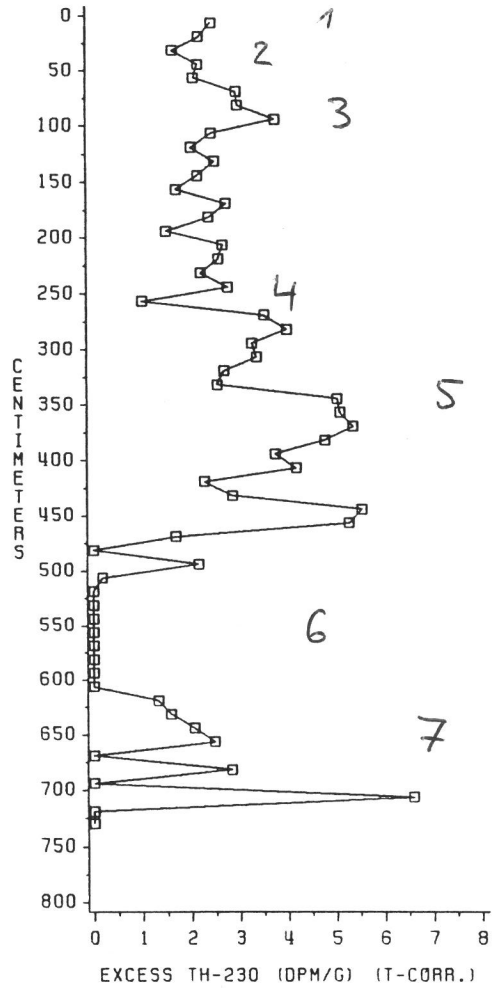
LOG(SUSZ) - 4 um / Depth 1388-3



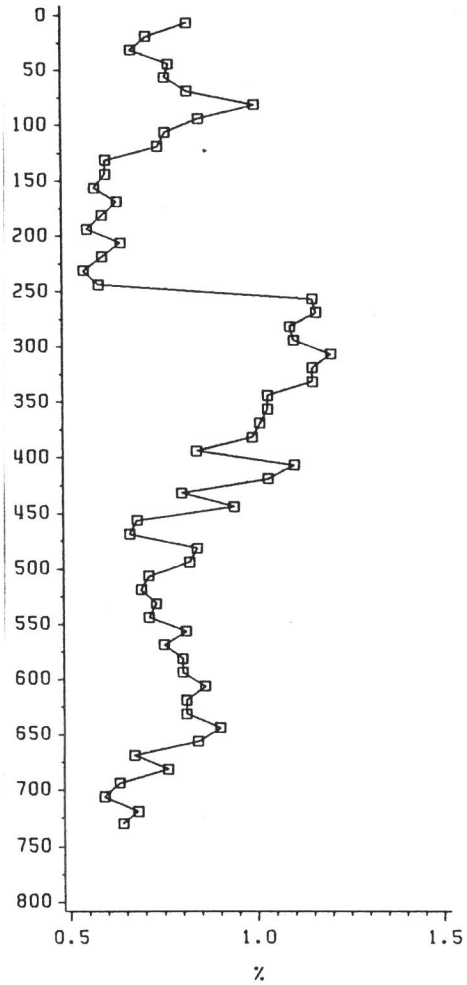
LOG (Volumensuz.)

Kern 1170-3

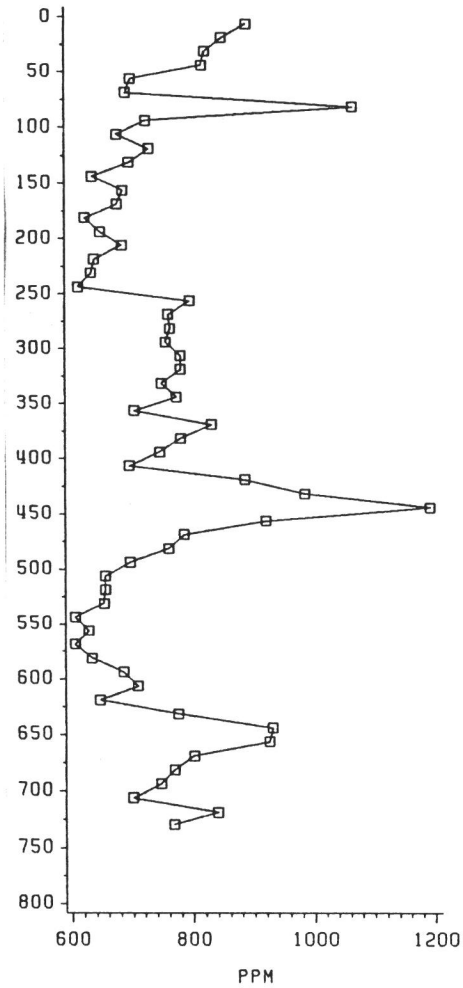
TH-230



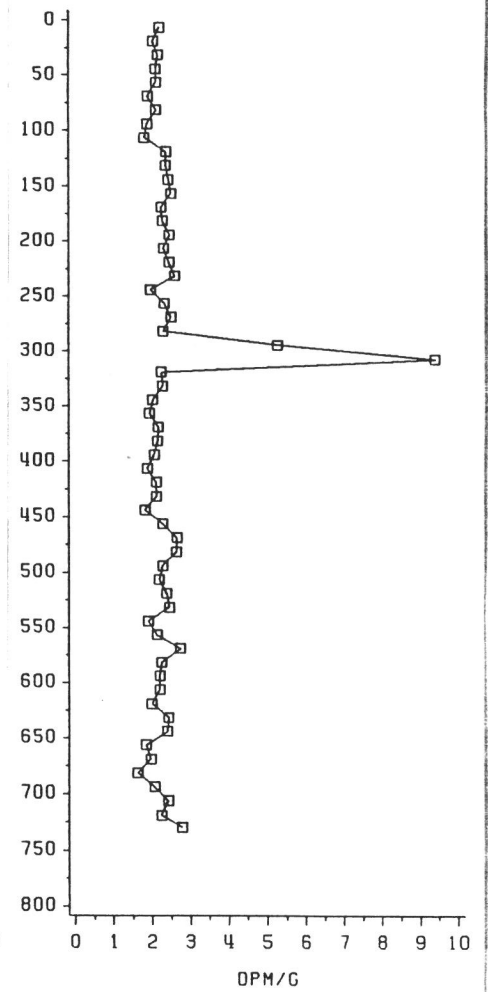
CA



BA

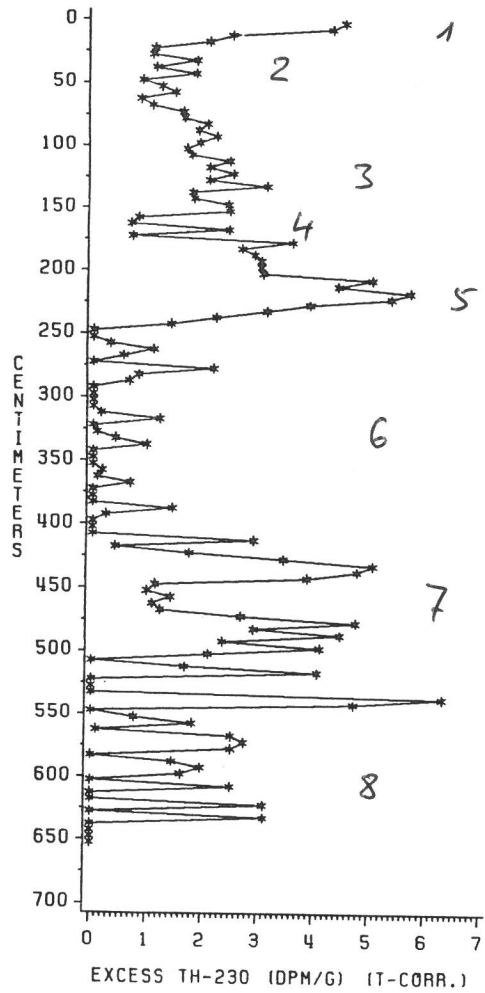


U-238

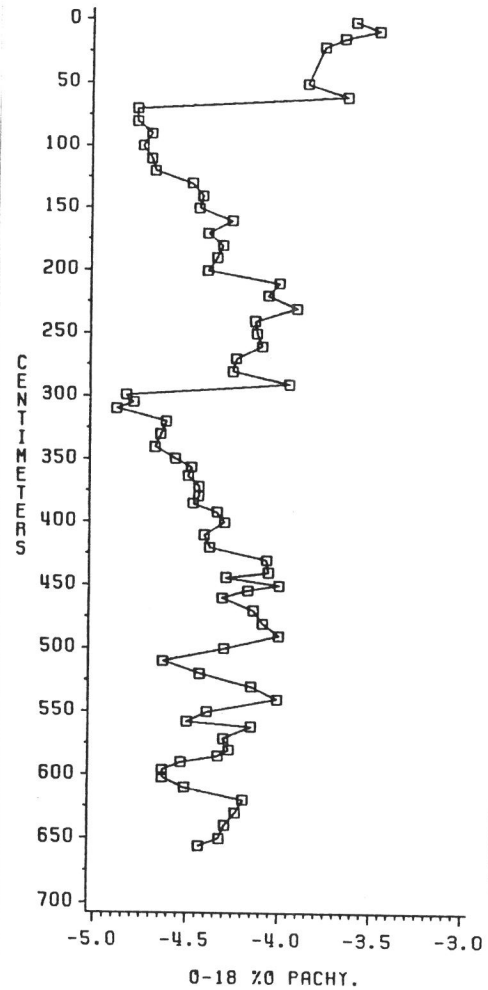


Kerr 13 88-7

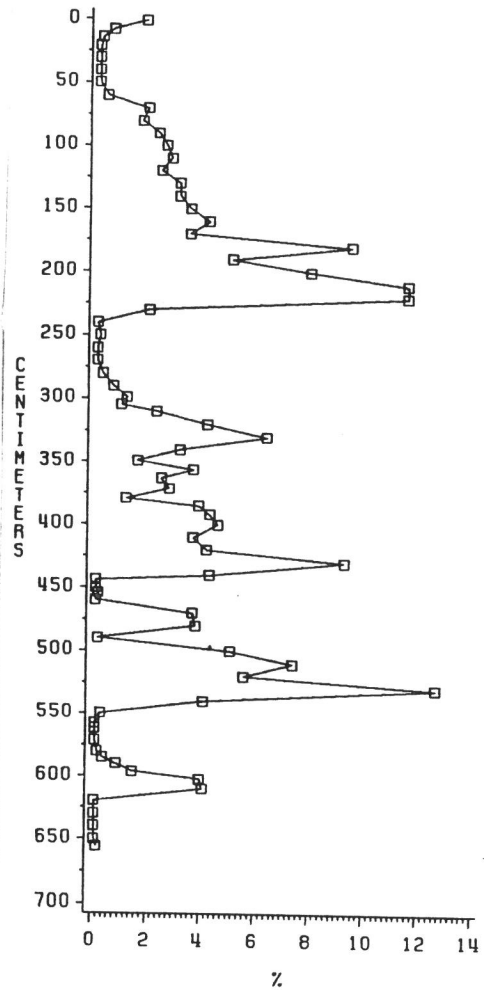
TH-230



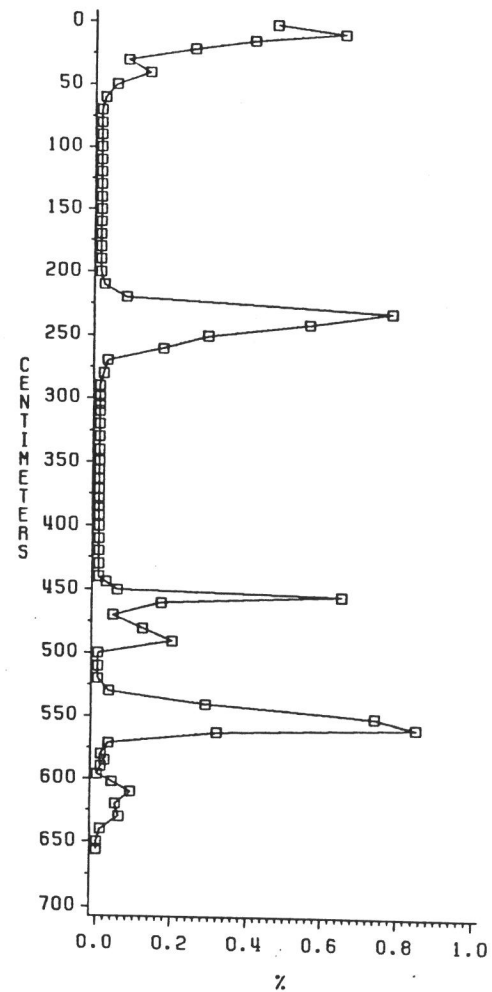
0-18



CAC03



OPAL



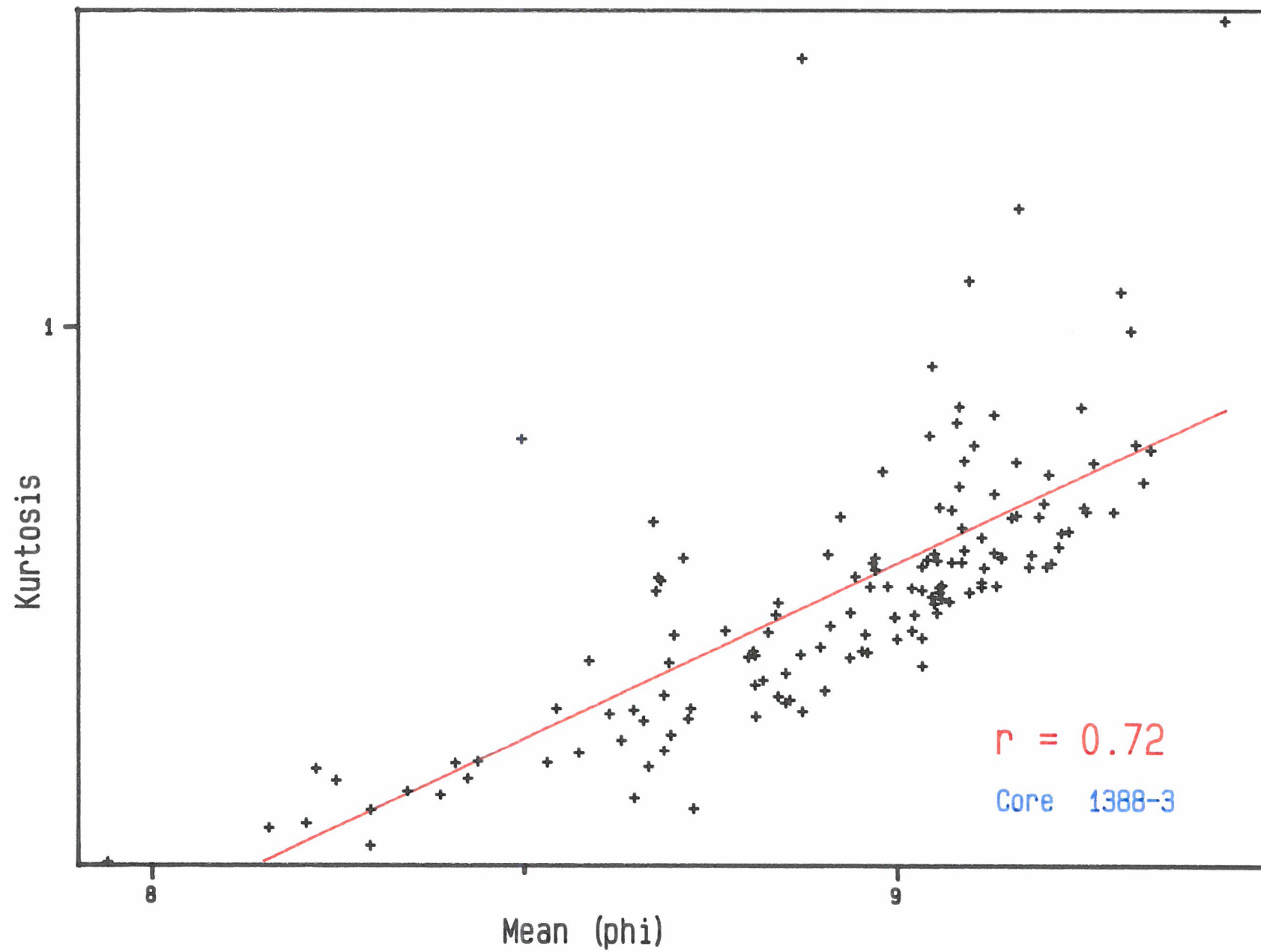
OBS	TIEFE1	TIEFE2	KTH232	F1	ATH230	F2	AU238	F4	KU238	F5	AU	F6	EXTH23
1	0	5	12.6	0.40	6.50	0.14	1.55	0.03	2.09	0.13	1.31	0.11	4.47
2	5	10	13.9	0.52	5.59	0.16	1.40	0.05	1.90	0.17	1.02	0.13	4.16
3	10	15	15.7	0.40	4.00	0.15	1.41	0.02	1.91	0.08	1.17	0.07	2.35
4	15	20	15.3	0.58	3.35	0.13	1.57	0.06	2.13	0.20	0.91	0.12	1.92
5	20	25	12.0	0.58	2.49	0.13	1.18	0.10	1.60	0.39	1.29	0.42	0.97
6	25	30	14.0	0.62	2.90	0.14	1.55	0.04	2.10	0.14	1.28	0.11	0.92
7	30	35	14.5	0.52	3.14	0.12	1.49	0.04	2.02	0.13	1.03	0.10	1.61
8	35	40	11.4	0.50	2.47	0.12	1.33	0.02	1.80	0.09	1.15	0.08	0.94
9	40	45	12.4	0.45	3.01	0.11	1.47	0.02	1.99	0.08	1.00	0.06	1.54
10	45	50	13.5	0.48	2.33	0.10	1.27	0.03	1.72	0.13	1.28	0.13	0.70
11	50	55	14.5	0.52	2.57	0.11	1.34	0.03	1.82	0.13	1.19	0.12	0.98
12	55	60	14.6	0.56	2.79	0.12	1.46	0.05	1.97	0.17	1.12	0.13	1.15
13	60	65	11.5	0.43	2.17	0.09	1.35	0.02	1.82	0.07	1.13	0.06	0.64
14	65	70	12.1	0.65	2.25	0.14	1.17	0.26	1.59	0.11	1.25	0.11	0.79
15	70	75	12.5	0.50	2.66	0.12	1.33	0.03	1.80	0.11	1.10	0.10	1.20
16	75	80	13.2	0.56	2.72	0.13	1.34	0.03	1.82	0.12	1.14	0.10	1.19
17	80	85	11.6	0.31	2.43	0.07	1.58	0.07	2.13	0.24	0.61	0.11	1.47
18	85	90	13.1	0.36	2.75	0.08	1.27	0.03	1.73	0.12	1.12	0.11	1.33
19	90	95	14.4	0.55	2.84	0.12	1.35	0.04	1.83	0.17	0.97	0.12	1.53
20	95	100	13.8	0.55	2.72	0.12	1.18	0.02	1.60	0.08	1.21	0.08	1.29
21	0	105	14.1	0.36	2.76	0.08	1.23	0.02	1.66	0.07	1.34	0.07	1.11
22	105	110	15.1	0.39	2.94	0.09	1.24	0.02	1.68	0.08	1.44	0.08	1.15
23	110	115	15.8	0.73	2.90	0.16	1.21	0.03	1.64	0.11	1.10	0.10	1.57
24	115	120	15.9	0.91	2.86	0.19	1.30	0.03	1.76	0.12	1.19	0.11	1.31
25	120	125	14.4	0.47	3.12	0.11	1.47	0.02	1.99	0.09	1.07	0.06	1.55
26	125	130	14.0	0.41	2.89	0.09	1.36	0.02	1.84	0.08	1.20	0.07	1.26
27	130	135	15.0	0.72	3.33	0.17	1.25	0.04	1.70	0.14	1.18	0.13	1.86
28	135	140	13.4	0.50	2.80	0.12	1.14	0.02	1.54	0.08	1.55	0.11	1.03
29	140	145	13.4	0.60	2.65	0.10	1.42	0.02	1.92	0.07	1.14	0.06	1.03
30	145	150	13.4	0.50	2.87	0.15	1.36	0.02	1.84	0.07	1.11	0.06	1.36
31	150	155	14.2	0.69	2.89	0.15	1.24	0.03	1.68	0.12	1.24	0.12	1.35
32	155	160	13.2	0.21	2.50	0.05	1.41	0.02	1.91	0.05	1.47	0.05	0.43
33	160	165	11.2	0.22	2.26	0.05	1.47	0.02	1.99	0.08	1.30	0.07	0.35
34	165	170	11.8	0.51	2.73	0.12	1.23	0.03	1.67	0.13	1.19	0.13	1.27
35	170	175	14.2	0.58	2.81	0.13	2.33	0.09	3.15	0.24	1.21	0.13	0.35
36	175	180	14.5	0.64	3.21	0.15	1.64	0.07	2.22	0.25	1.01	0.16	1.80
37	180	185	12.9	0.52	2.93	0.12	1.20	0.03	1.63	0.14	1.35	0.15	1.31
38	185	190	16.1	0.68	3.29	0.15	1.48	0.09	2.01	0.38	1.28	0.32	1.40
39	190	195	15.8	0.60	2.63	0.12	1.25	0.04	1.70	0.14	0.96	0.12	1.43
40	95	200	16.6	0.83	3.07	0.18	1.23	0.08	1.66	0.31	1.36	0.34	1.40
41	200	205	14.5	0.80	2.84	0.18	1.32	0.02	1.79	0.06	1.10	0.05	1.39
42	205	210	13.7	0.72	3.74	0.18	1.46	0.03	1.97	0.09	1.02	0.07	2.25
43	210	215	13.2	0.44	3.68	0.11	1.30	0.04	1.78	0.14	1.34	0.14	1.94
44	215	220	14.7	0.52	4.06	0.14	1.42	0.01	1.92	0.05	1.13	0.04	2.46
45	220	225	13.1	0.22	3.84	0.06	1.25	0.01	1.70	0.05	1.26	0.05	2.27
46	225	230	11.3	0.20	3.33	0.05	1.46	0.04	1.98	0.13	1.17	0.11	1.62
47	230	235	12.6	0.26	3.03	0.06	1.48	0.04	2.02	0.13	1.19	0.11	1.27
48	235	240	12.8	0.33	2.43	0.07	1.20	0.04	1.63	0.15	1.29	0.16	0.88
49	240	245	13.1	0.51	2.22	0.11	1.65	0.95	2.24	0.32	1.02	0.21	0.54
50	245	250	13.0	0.65	1.78	0.12	1.40	0.07	1.90	0.24	1.43	0.23	-0.22
51	250	255	12.1	0.50	1.44	0.09	2.38	0.16	3.23	0.57	1.31	0.31	-1.26
52	255	260	12.8	0.23	1.55	0.04	2.04	0.15	2.77	0.45	0.79	0.19	0.11
53	260	265	14.1	0.57	1.91	0.10	1.57	0.06	2.13	0.20	0.97	0.13	0.39
54	265	270	13.4	0.50	1.69	0.09	1.02	0.04	1.38	0.16	1.47	0.23	0.19
55	270	275	17.5	0.77	2.02	0.13	1.59	0.06	2.16	0.20	1.42	0.17	-0.24

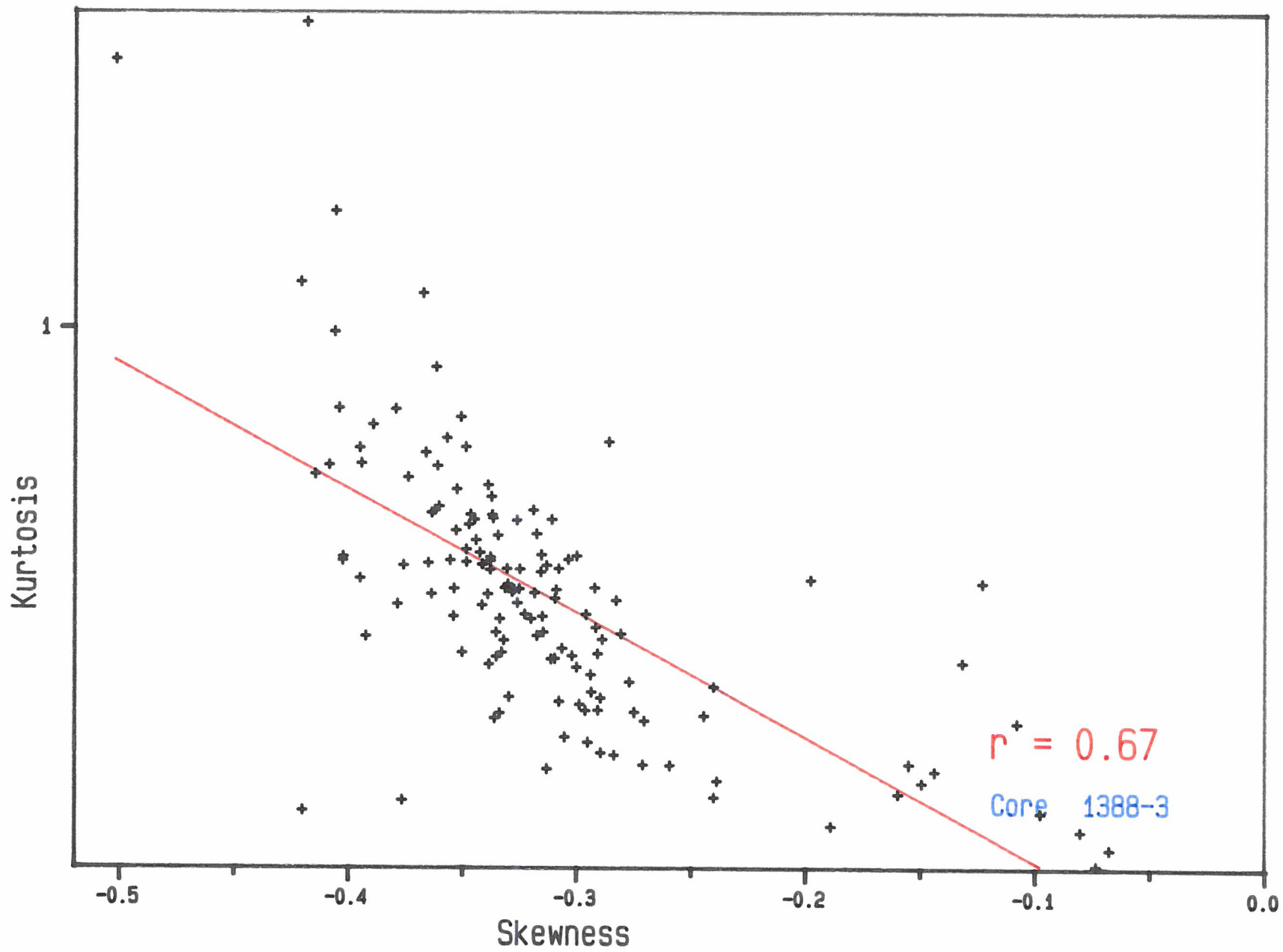
KAPP NORVEGIA 1388-3

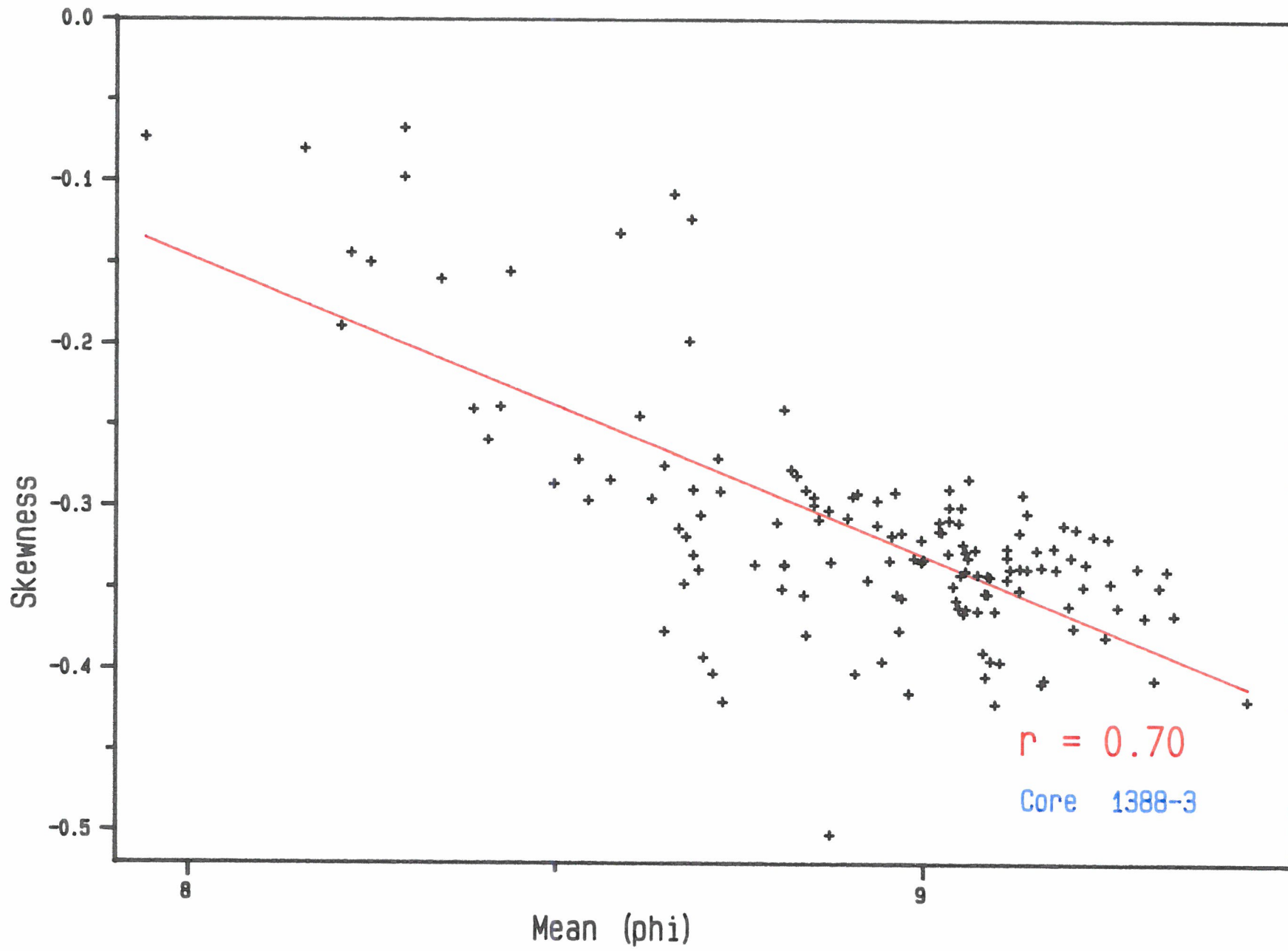
OBS	TIEFE1	TIEFE2	KTH232	F1	ATH230	F2	AU238	F4	KU238	F5	AU	F6	EXTH23
56	275	280	10.2	0.27	2.26	0.06	1.36	0.02	1.84	0.08	1.12	0.06	0.74
57	280	285	16.8	0.87	1.94	0.15	1.69	0.05	2.29	0.16	0.99	0.10	0.27
58	285	290	12.7	0.47	1.62	0.08	1.29	0.05	1.74	0.21	1.09	0.18	0.21
59	290	295	6.6	0.14	1.02	0.03	1.42	0.10	1.93	0.35	1.07	0.27	-0.50
60	295	300	13.1	0.55	1.51	0.09	1.53	0.04	2.08	0.13	1.05	0.09	-0.10
61	300	305	12.4	0.62	1.53	0.11	1.40	0.16	1.89	0.06	1.23	0.05	-0.19
62	305	310	12.7	0.24	1.56	0.04	1.44	0.02	1.95	0.06	1.22	0.05	-0.20
63	310	315	13.9	0.69	1.57	0.12	1.44	0.07	1.96	0.24	1.06	0.18	0.04
64	315	320	15.6	0.81	1.75	0.14	1.47	0.07	2.00	0.26	0.95	0.18	0.35
65	320	325	12.8	0.25	1.56	0.04	1.52	0.04	2.07	0.14	1.21	0.11	-0.28
66	325	330	12.9	0.35	1.72	0.06	1.56	0.03	2.12	0.09	1.09	0.06	0.02
67	330	335	15.8	0.61	1.96	0.11	1.38	0.04	1.86	0.14	1.34	0.14	0.11
68	335	340	13.9	0.60	1.72	0.11	1.20	0.03	1.63	0.14	1.21	0.14	0.26
69	340	345	11.1	0.24	1.44	0.04	1.40	0.02	1.89	0.06	1.05	0.05	-0.03
70	345	350	11.4	0.47	1.39	0.08	1.25	0.03	1.69	0.13	1.24	0.13	-0.16
71	350	355	10.8	0.34	1.50	0.06	2.15	0.05	2.90	0.16	1.03	0.08	-0.70
72	355	360	11.0	0.48	1.49	0.09	1.36	0.04	1.85	0.14	1.07	0.11	0.04
73	360	365	12.4	0.48	1.53	0.08	1.28	0.02	1.73	0.08	1.18	0.08	0.02
74	365	370	15.9	0.67	1.77	0.11	1.40	0.05	1.90	0.17	1.15	0.14	0.16
75	370	375	11.9	0.60	1.41	0.10	1.30	0.06	1.77	0.22	1.19	0.20	-0.14
76	375	380	11.6	0.45	1.45	0.08	1.41	0.04	1.91	0.15	1.32	0.14	-0.41
77	380	385	15.3	0.67	1.83	0.12	1.61	0.05	2.18	0.18	1.16	0.13	-0.04
78	385	390	16.4	0.34	1.78	0.06	1.39	0.03	1.89	0.11	1.05	0.08	0.32
79	390	395	11.4	0.53	1.57	0.10	1.36	0.02	1.85	0.08	1.12	0.07	0.05
80	395	400	8.0	0.42	1.53	0.09	1.37	0.02	1.86	0.07	1.29	0.06	-0.11
81	400	405	14.0	0.52	1.48	0.08	1.47	0.02	1.99	0.08	1.04	0.06	-0.05
82	405	410	12.5	0.56	1.64	0.10	1.56	0.06	2.12	0.20	1.16	0.15	-0.20
83	410	415	13.2	0.57	1.90	0.11	1.46	0.05	1.98	0.17	0.90	0.11	0.59
84	415	420	15.3	0.35	1.65	0.06	1.35	0.02	1.82	0.09	1.16	0.08	0.08
85	420	425	14.5	0.46	1.84	0.08	1.39	0.02	1.89	0.06	1.08	0.05	0.34
86	425	430	14.8	0.47	2.17	0.09	1.20	0.03	1.62	0.12	1.26	0.13	0.66
87	430	435	13.8	0.50	.	.	1.18	0.03	1.60	0.12	1.27	0.13	0.95
88	435	440	13.8	0.74	2.09	0.14	1.20	0.04	1.63	0.17	1.01	0.15	0.88
89	440	445	13.1	0.45	1.62	.	1.17	0.03	1.59	0.14	0.79	0.11	0.70
90	445	450	14.4	0.52	1.69	0.09	1.45	0.04	1.97	0.15	1.03	0.11	0.20
91	450	455	15.6	0.50	1.60	0.08	1.19	0.02	1.61	0.09	1.20	0.09	0.17
92	455	460	17.9	0.75	1.79	0.12	1.31	0.03	1.77	0.11	1.18	0.10	0.24
93	460	465	19.0	0.63	1.75	0.09	1.26	0.03	1.70	0.13	1.25	0.13	0.18
94	465	470	16.8	0.67	1.76	0.11	1.41	0.05	1.90	0.20	1.11	0.16	0.20
95	470	475	18.5	0.74	1.85	0.12	1.25	0.03	1.70	0.11	1.14	0.10	0.43
96	475	480	15.0	0.63	1.72	0.11	1.09	0.02	1.48	0.10	0.89	0.09	0.75
97	480	485	14.6	0.65	1.64	0.11	1.27	0.03	1.72	0.12	0.94	0.09	0.45
98	485	490	19.5	0.94	2.03	0.15	1.21	0.03	1.64	0.12	1.12	0.11	0.68
99	490	495	16.2	0.54	1.36	0.08
100	495	500	16.8	0.66	2.00	0.11	1.21	0.03	1.64	0.12	1.16	0.11	0.60
101	500	505	16.9	0.66	1.50	0.10	1.20	0.03	1.63	0.12	1.00	0.10	0.30
102	505	510	15.6	0.56	1.45	0.08	1.58	0.13	2.14	0.51	1.44	0.44	-0.83
103	510	515	18.2	0.77	1.48	0.11	1.03	0.04	1.39	0.19	1.21	0.22	0.23
104	515	520	19.7	0.74	1.57	0.10	1.12	0.03	1.51	0.11	0.91	0.10	0.55
105	520	525	13.5	0.70	1.25	0.11	1.14	0.05	1.54	0.20	1.27	0.22	-0.20
106	525	530	11.2	0.71	1.20	0.12	1.21	0.05	1.64	0.19	1.16	0.18	-0.20
107	530	535	12.7	0.39	1.36	0.06	1.30	0.05	1.76	0.19	1.08	0.16	-0.04
108	535	540	14.5	1.17	1.87	0.21	1.03	0.05	1.39	0.22	1.05	0.23	0.79
109	540	545	12.1	0.82	1.25	0.13	1.13	0.07	1.54	0.30	0.59	0.19	0.58
110	545	550	12.1	0.59	1.17	0.09	0.88	0.04	1.20	0.16	1.63	0.28	-0.26

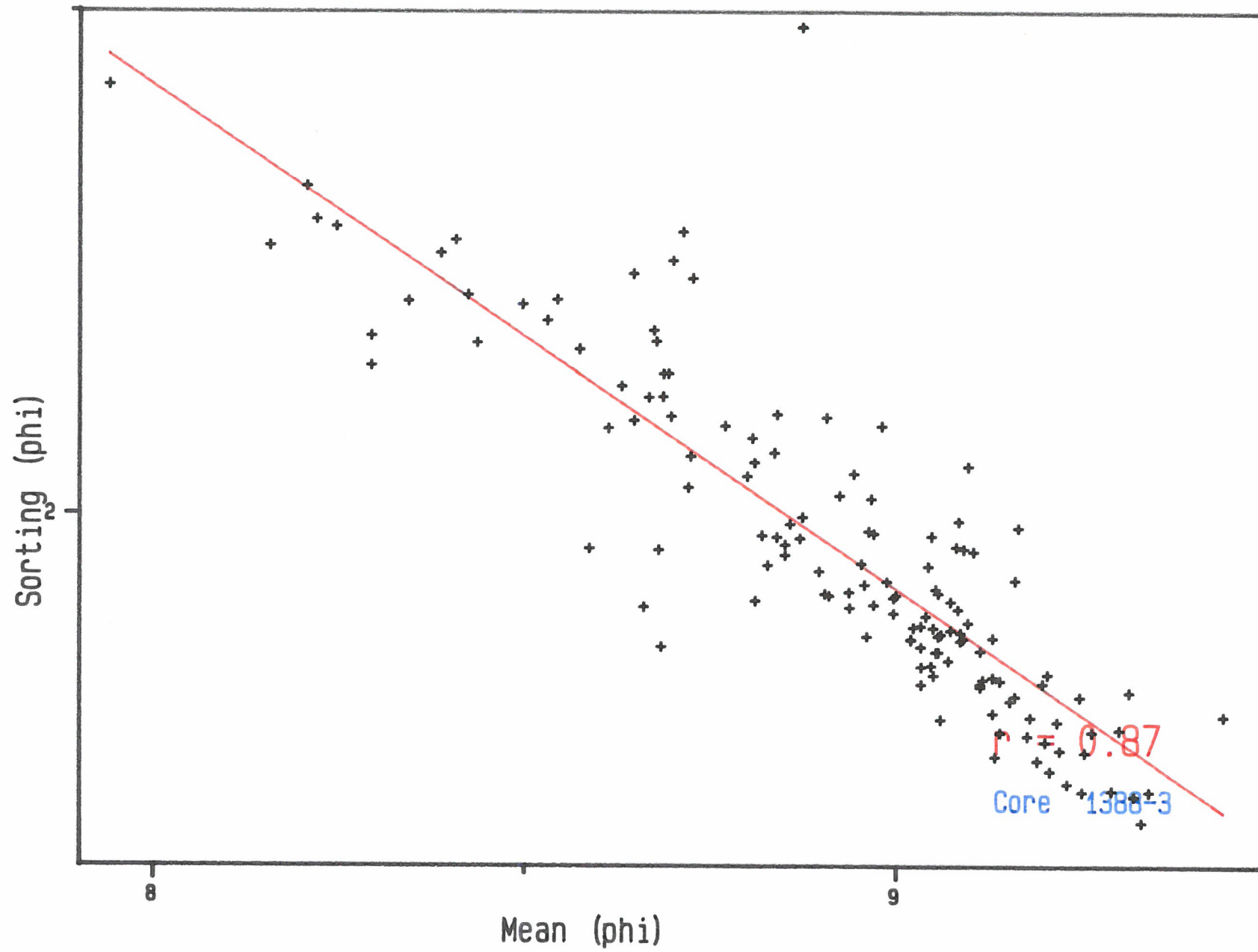
KAPP NORVEGIA 1388-3

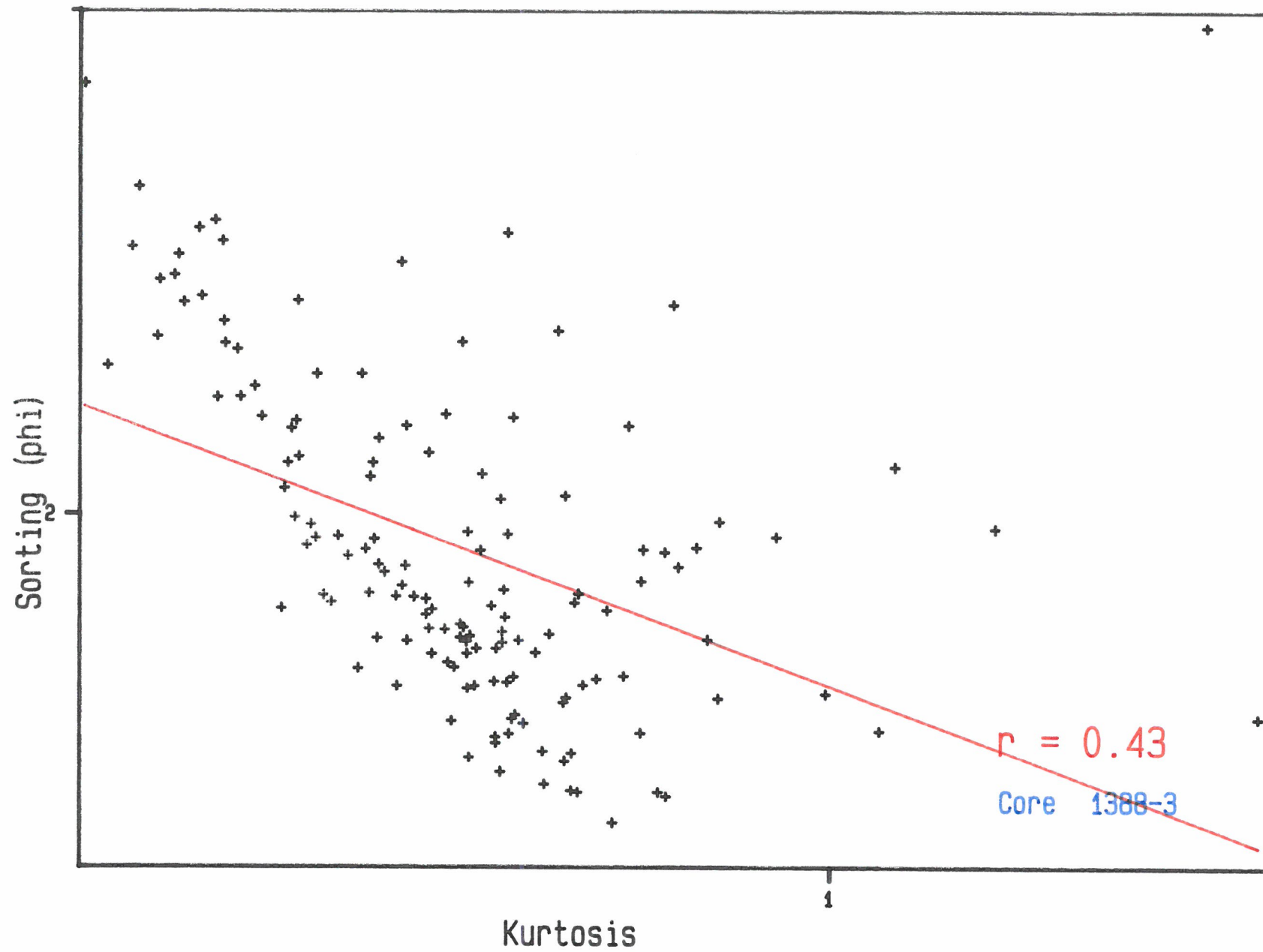
OBS	TIEFE1	TIEFE2	KTH232	F1	ATH230	F2	AU238	F4	KU238	F5	AU	F6	EXTH23
111	550	555	12.4	0.59	1.32	0.09	1.04	0.04	1.41	0.19	1.18	0.21	0.09
112	555	560	14.0	0.57	1.22	0.08	1.19	0.07	1.61	0.28	0.85	0.21	0.21
113	560	565	15.9	0.60	1.29	0.09	1.20	0.04	1.63	0.18	1.07	0.16	0.01
114	565	570	17.0	1.30	1.32	0.18
115	570	575	14.7	0.93	1.34	0.14	1.18	0.05	1.60	0.23	0.88	0.18	0.30
116	575	580	13.3	0.78	1.18	0.11	1.07	0.04	1.45	0.19	0.85	0.16	0.27
117	580	585	12.4	0.70	1.04	0.10	1.26	0.06	1.71	0.25	1.13	0.22	-0.38
118	585	590	12.4	0.61	1.31	0.10	1.02	0.03	1.38	0.12	1.14	0.13	0.15
119	590	595	12.6	0.55	1.31	0.09	1.12	0.04	1.52	0.17	0.99	0.15	0.20

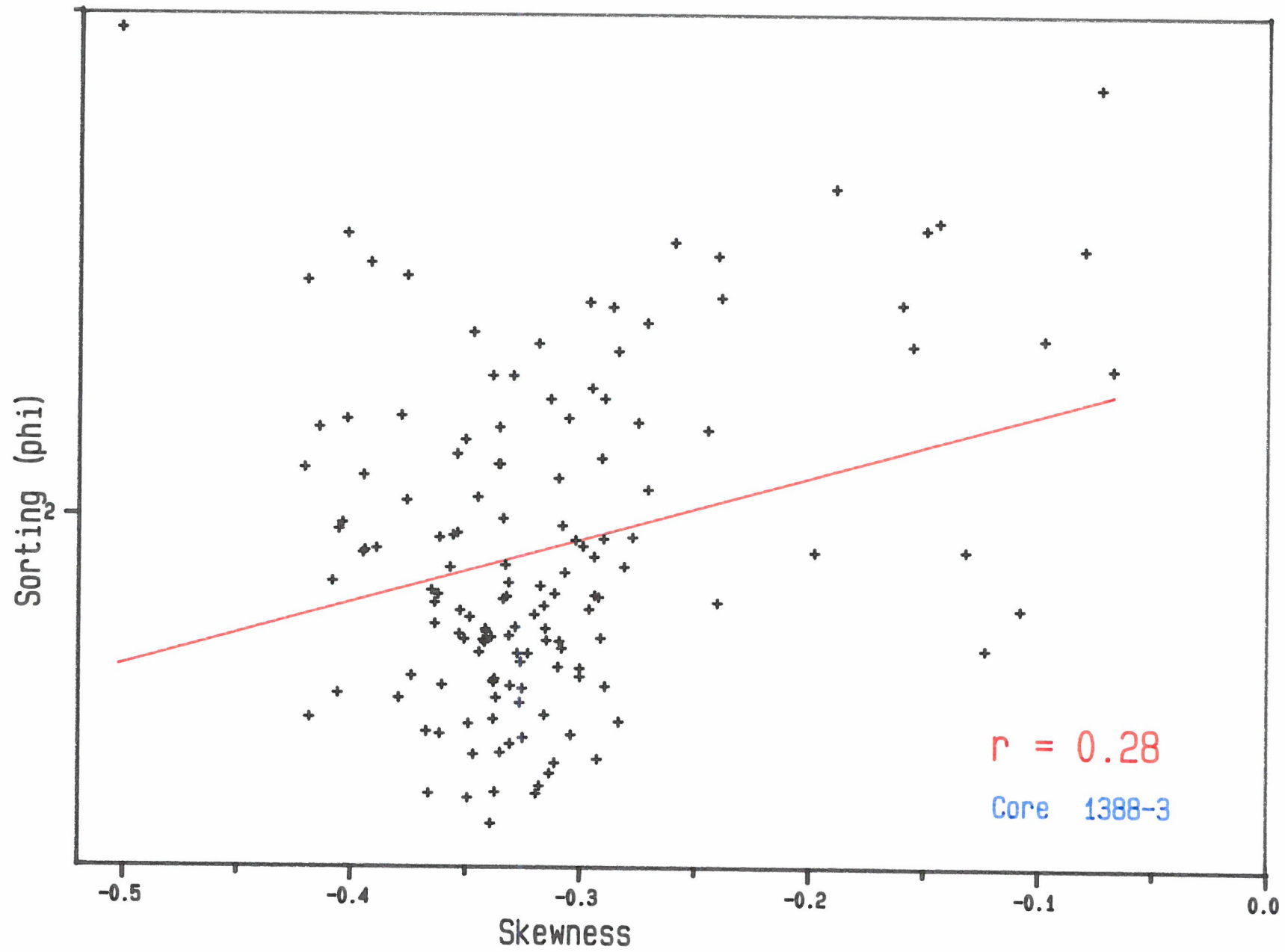




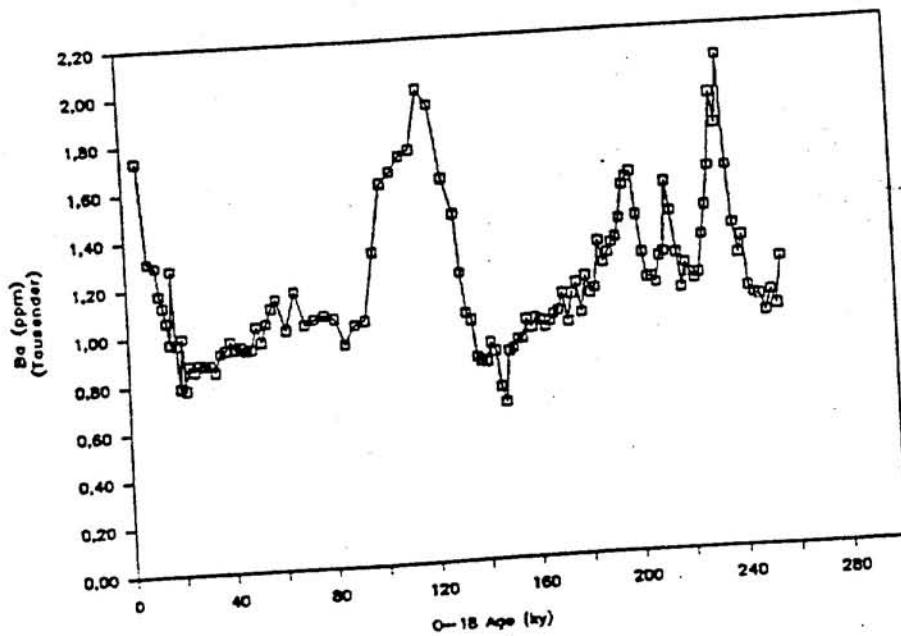
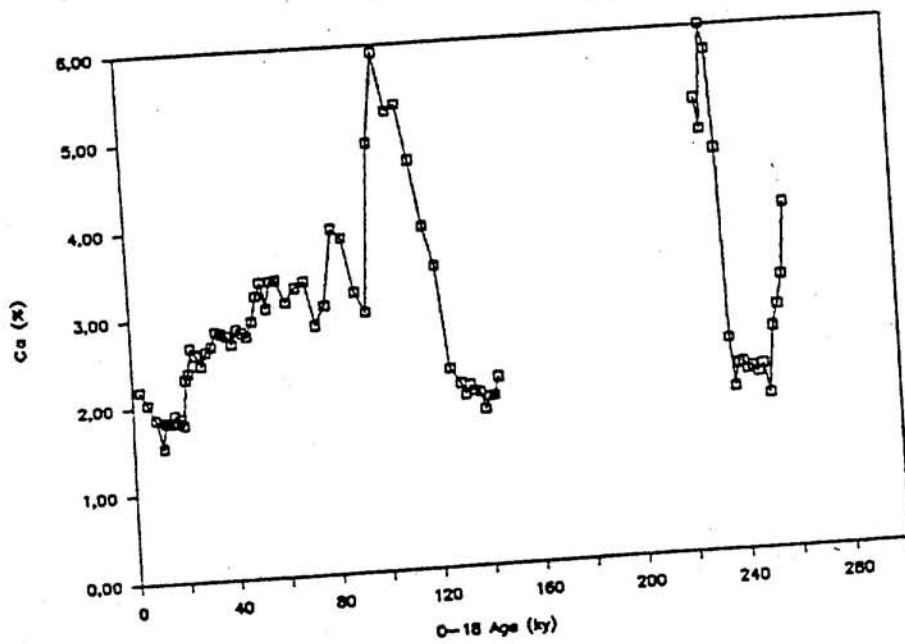
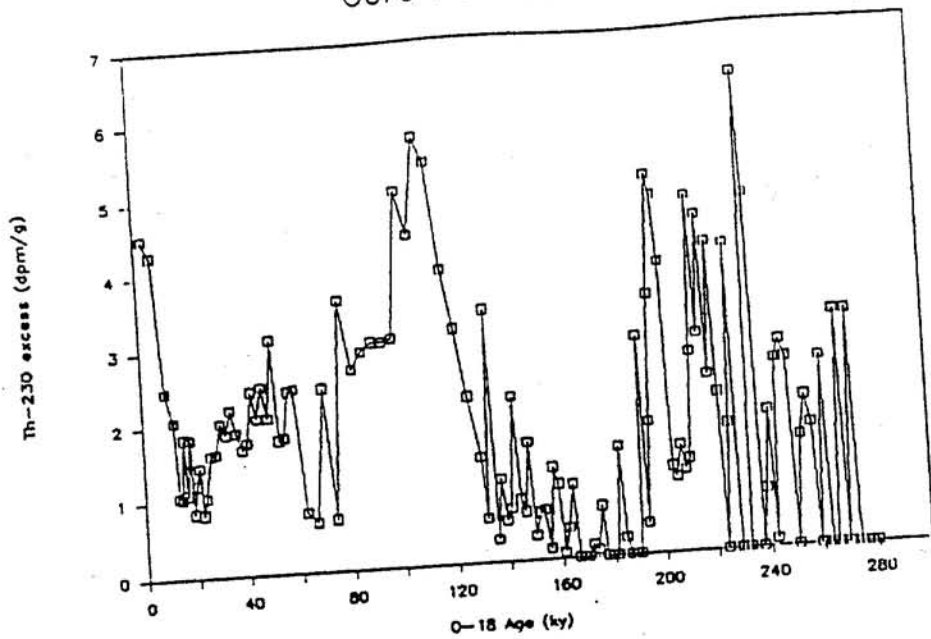




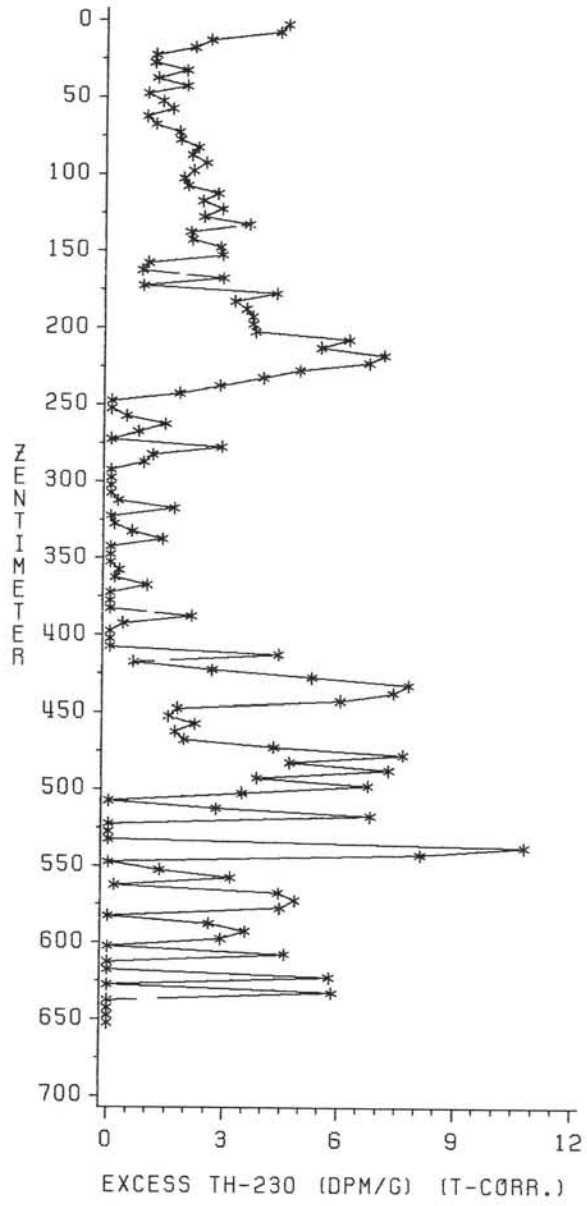




Core PS1388-3



TH-230

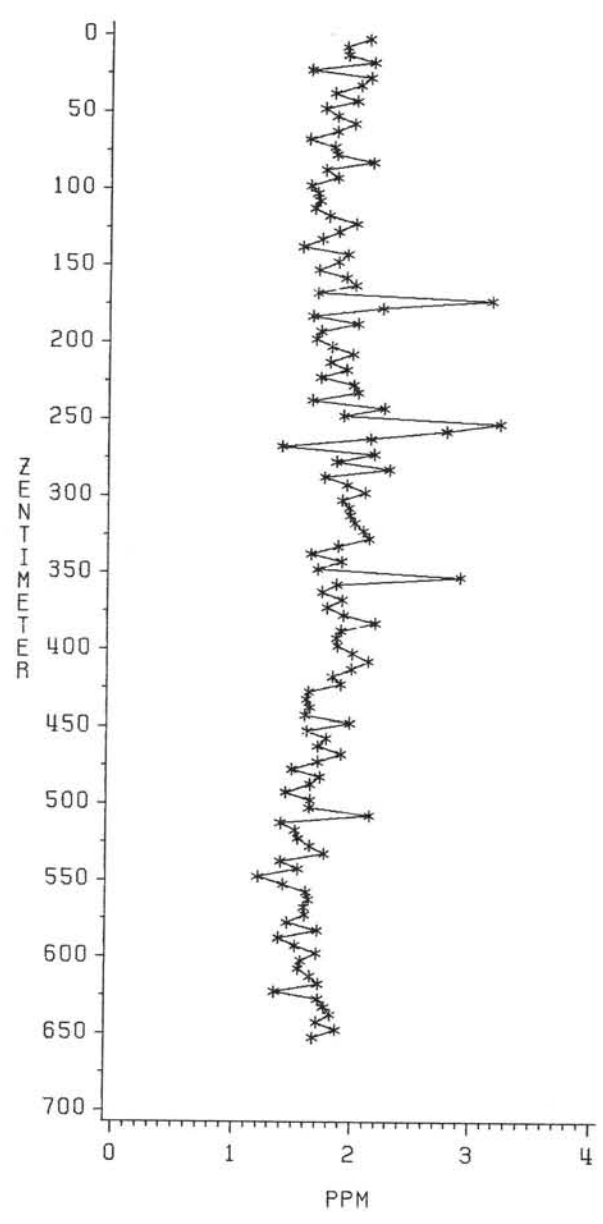


$$\bar{S} = 1,9 \text{ [cm}^{-1}\text{ka]}$$

195P1388
J5441
SAS/GRAPH



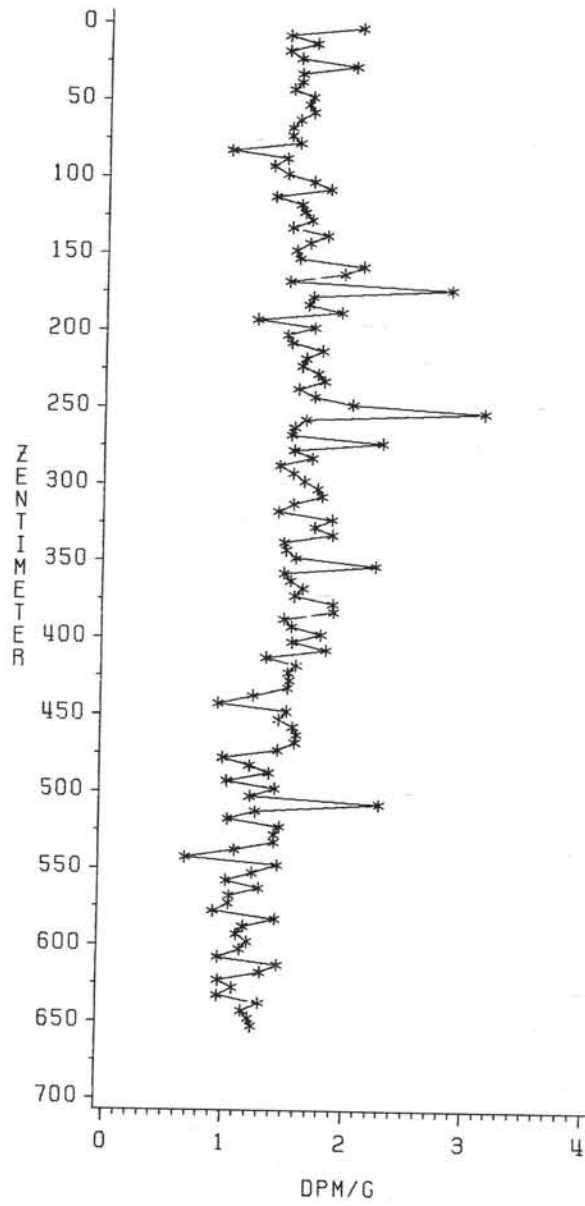
U-238



I95P44
J9194
SAS/GRAPH



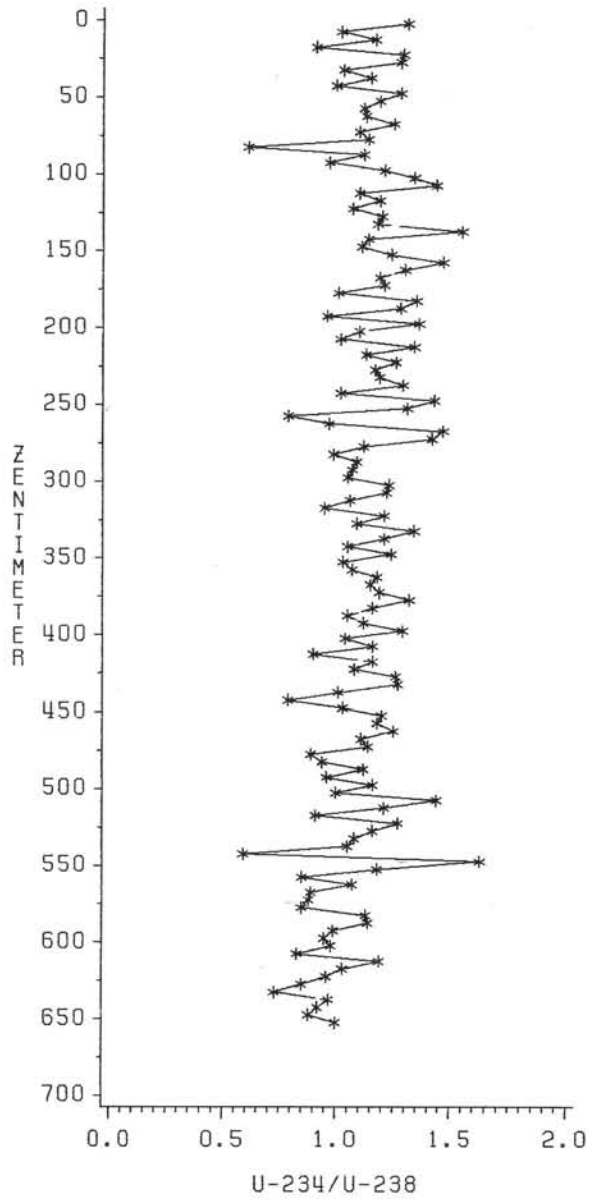
U-234



195P55
J9199
SAS /GRAPH



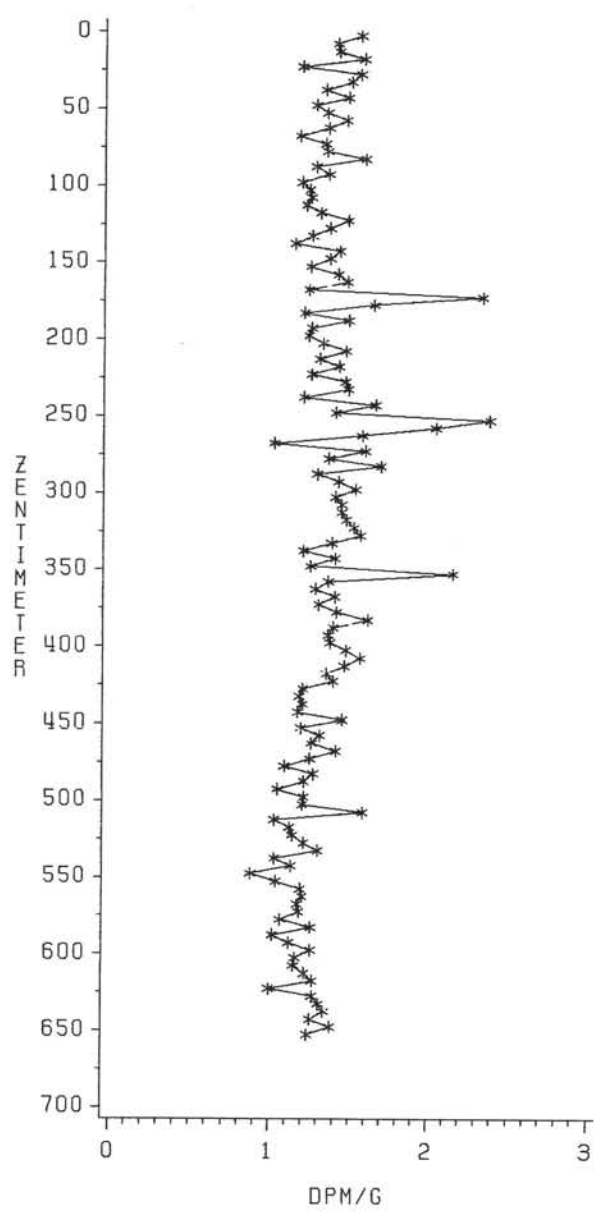
AU



195P66
J9202
SAS/GRAPH



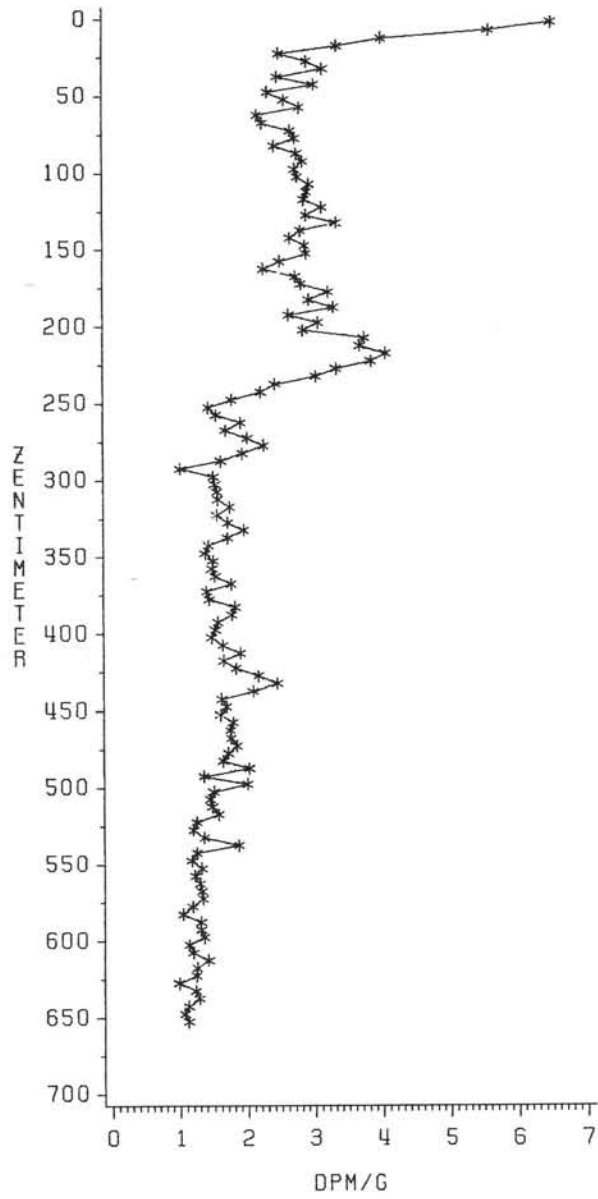
U-238



I95P33
J9190
SAS/GRAPH



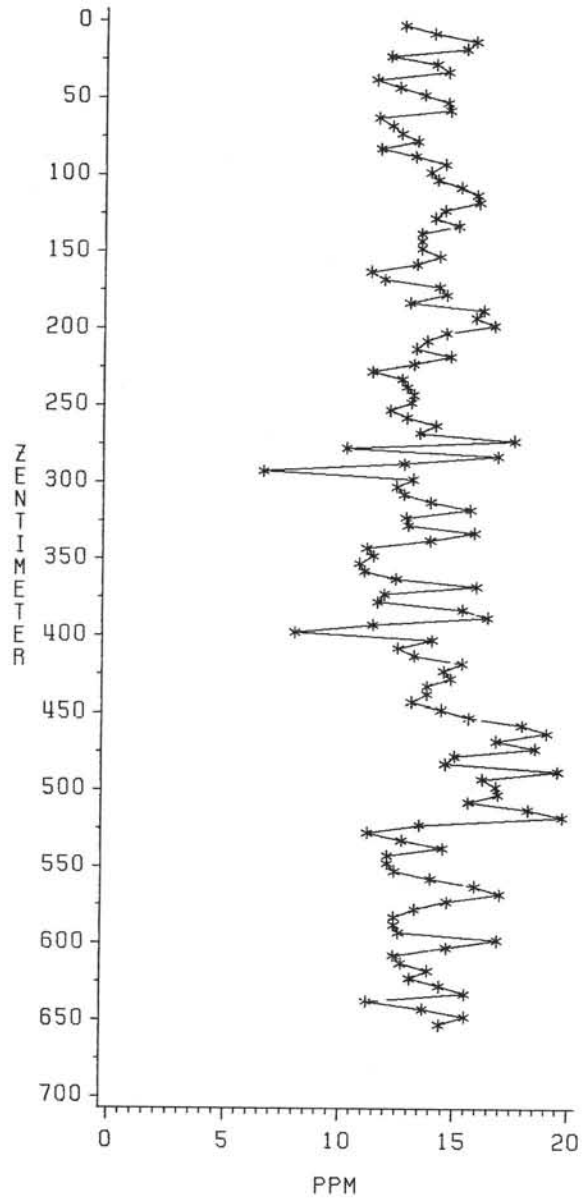
TH-230



I95P22
J9182
SAS/GRAPH



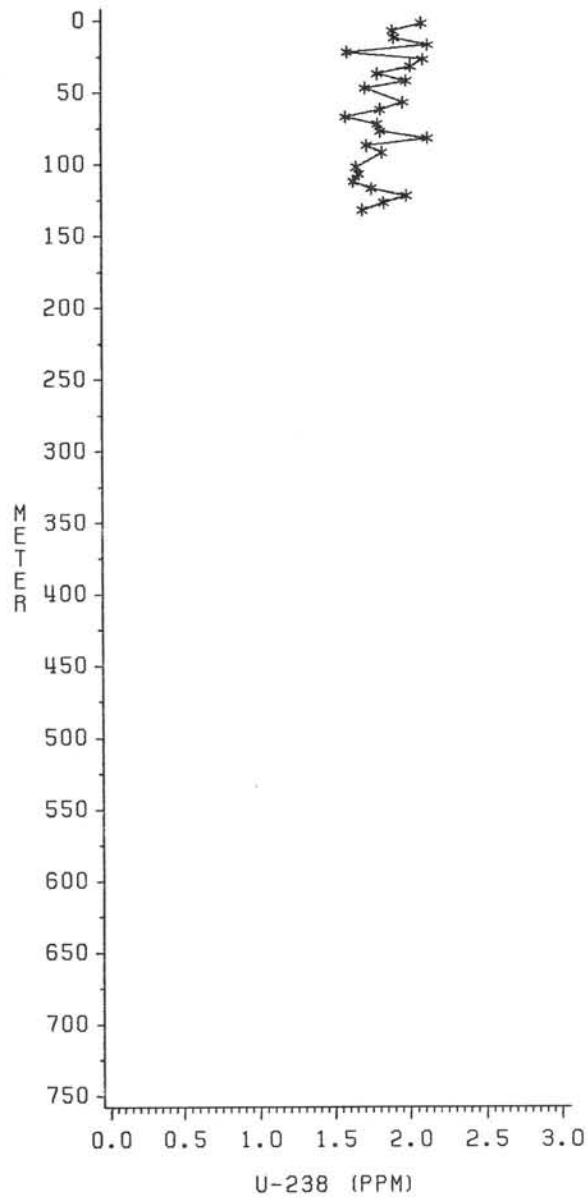
TH-232



I95P11
J9180
SAS/GRAPH



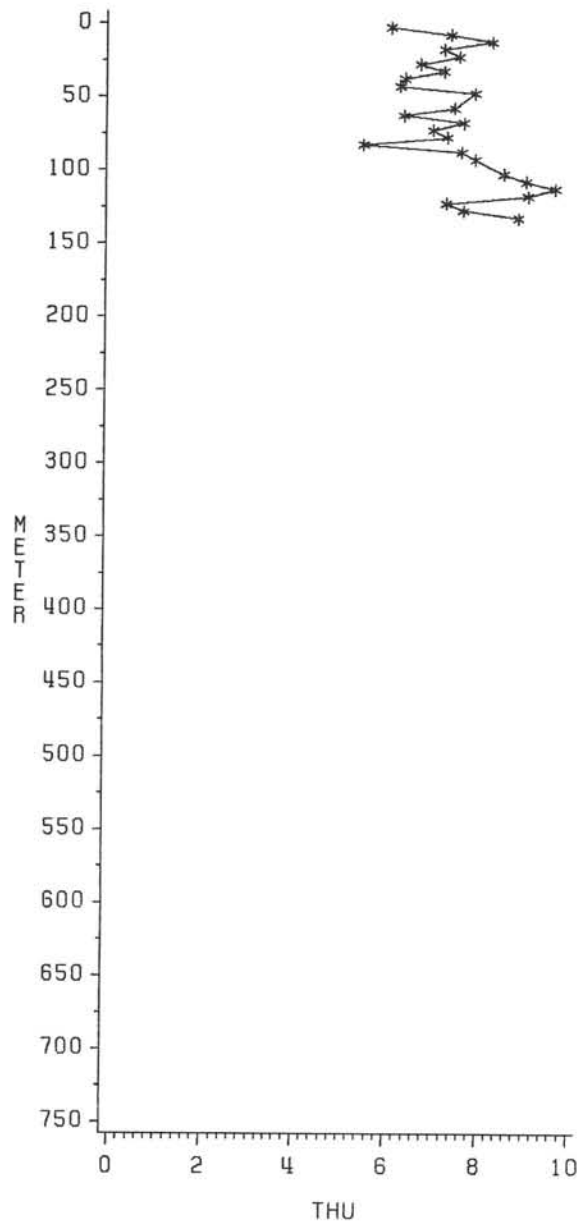
U-238



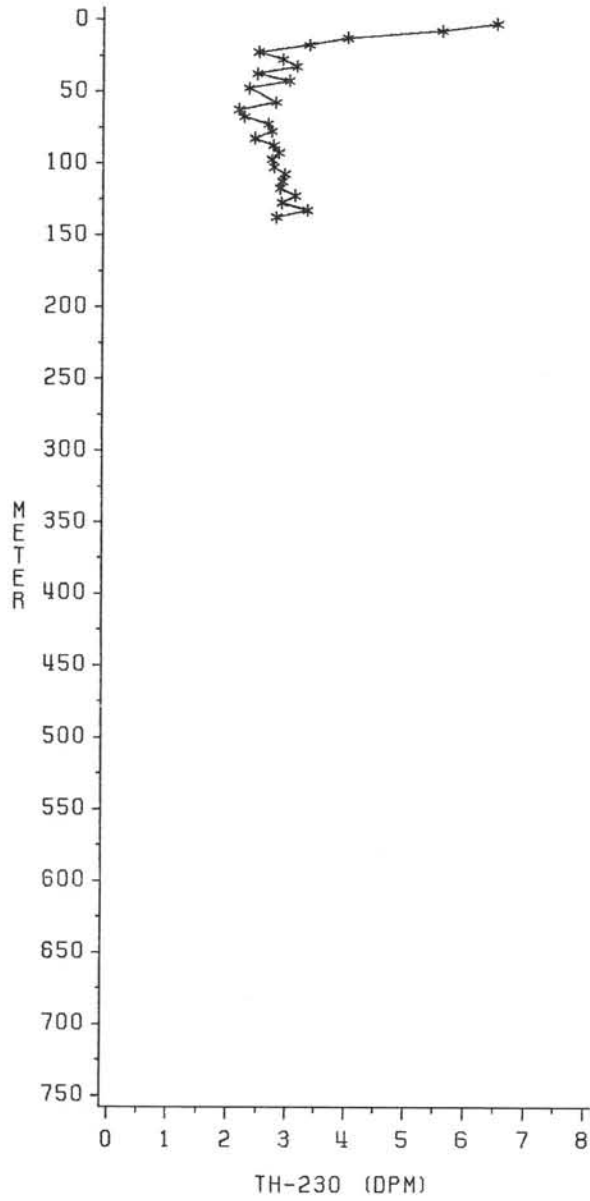
195J086
1405



TH-232/U-238

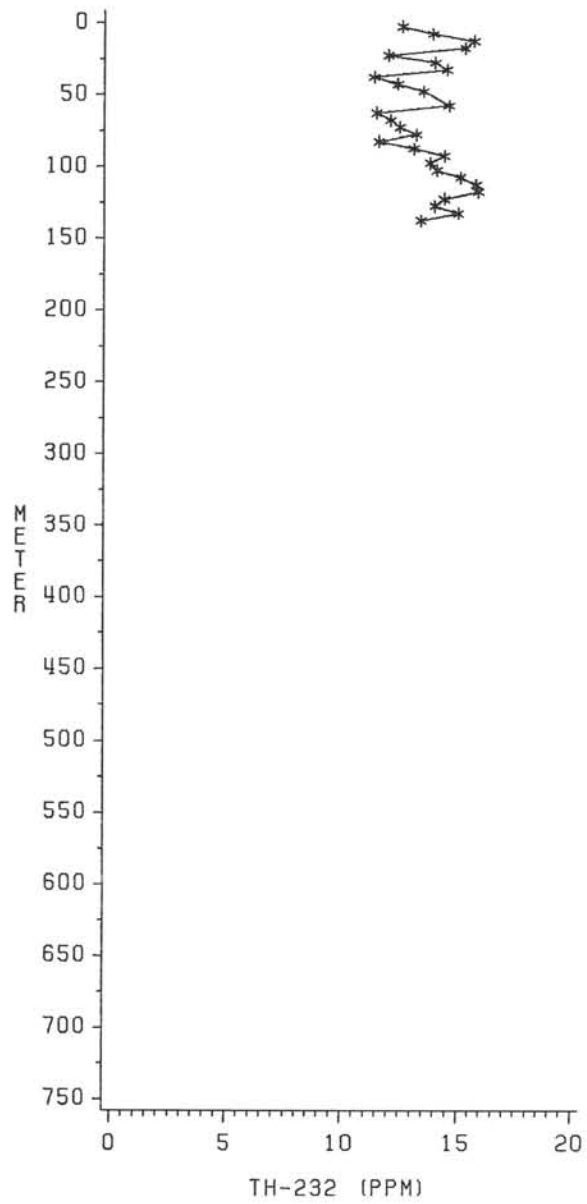


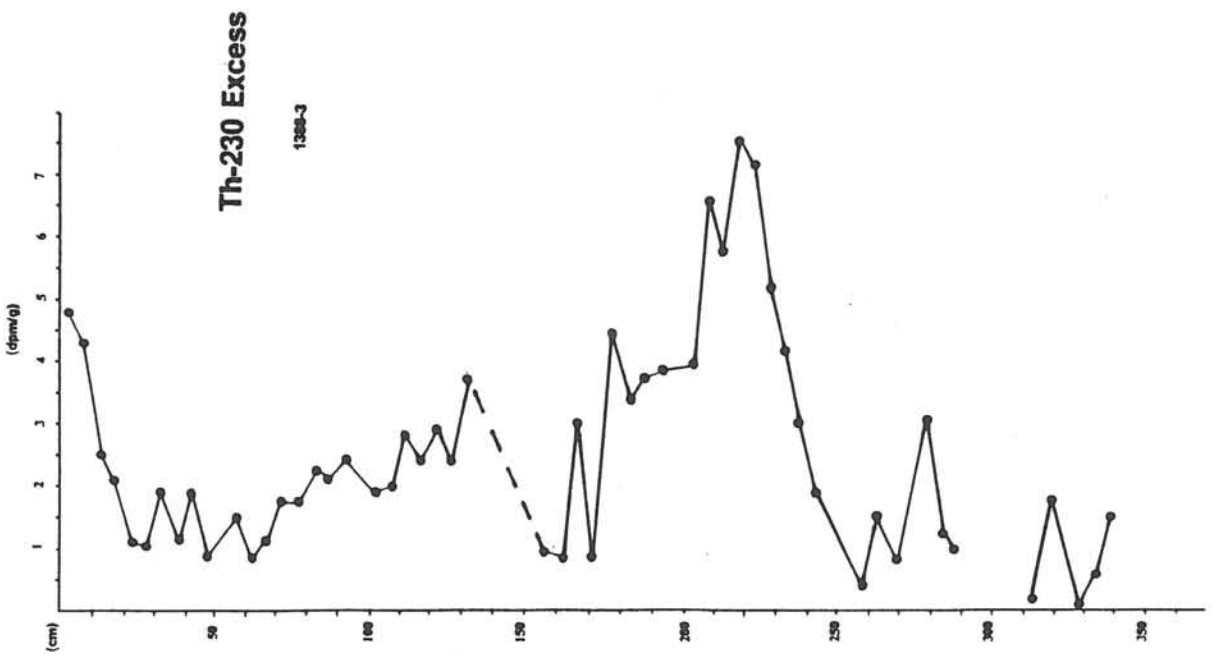
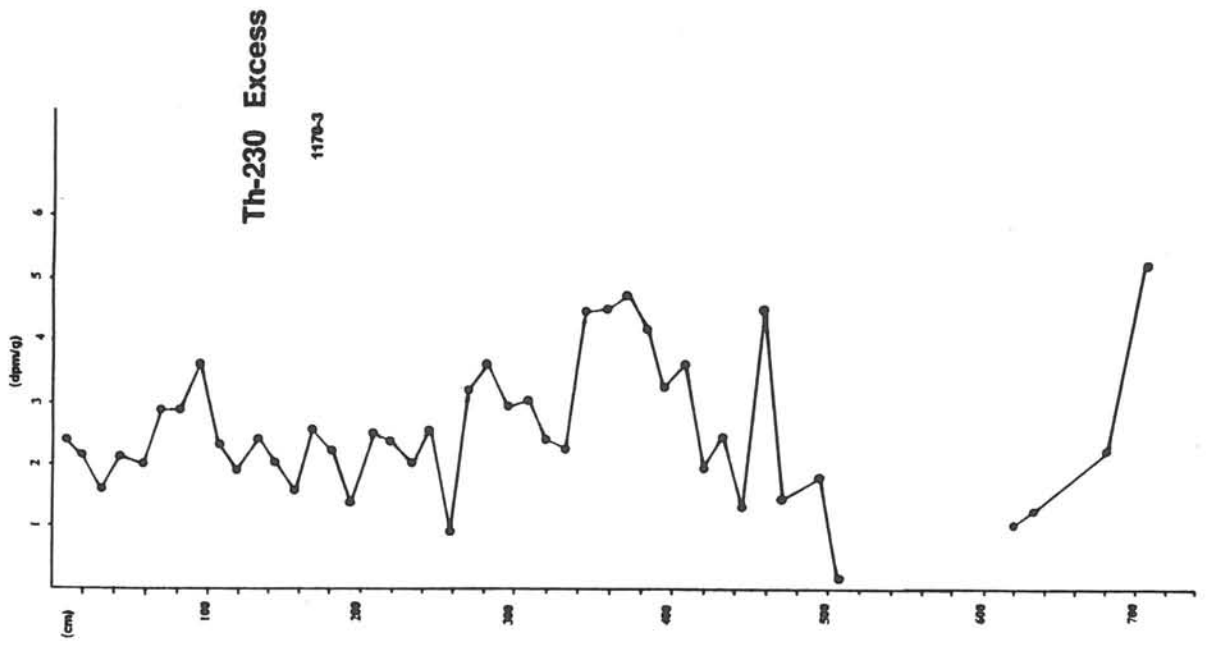
TH-230

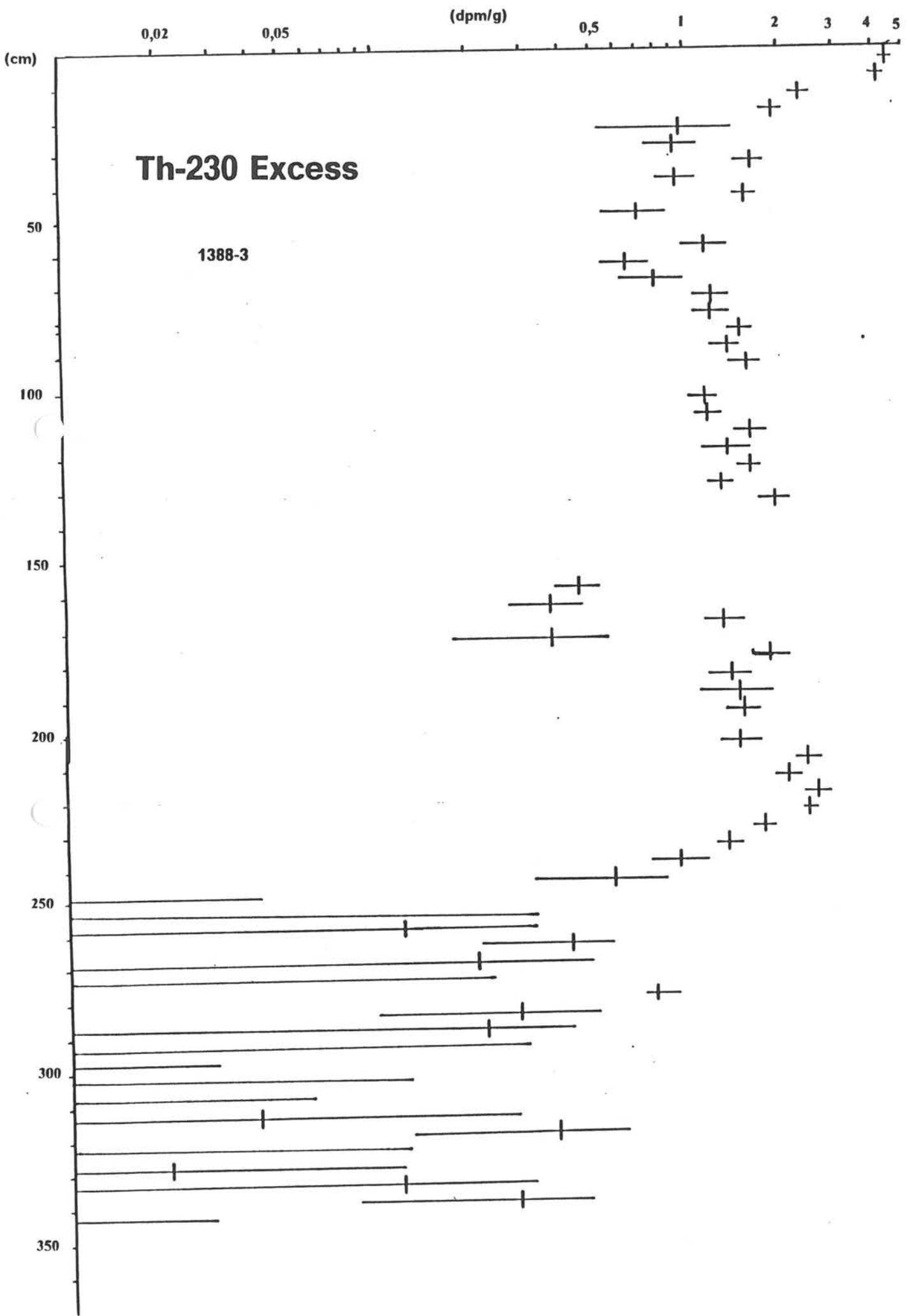


195JOB3
14700

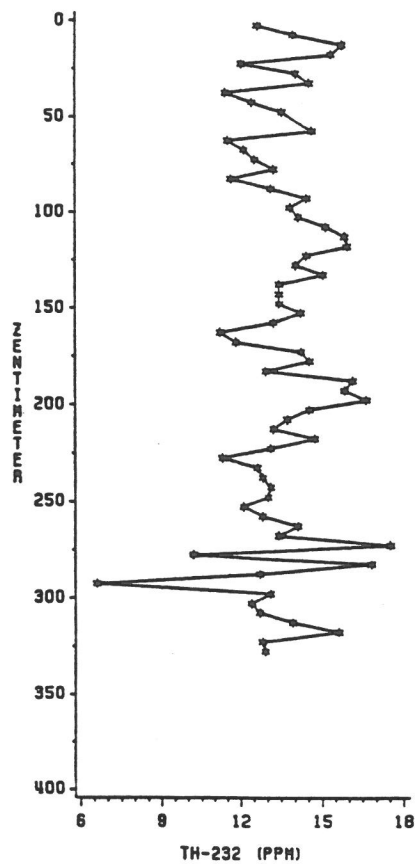
TH-232



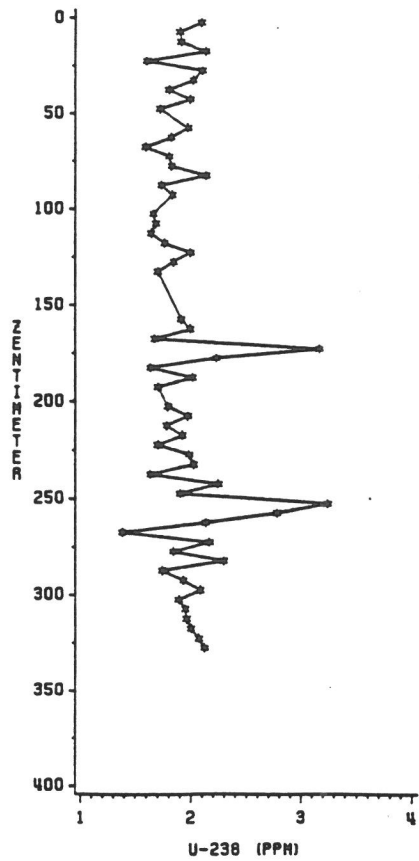




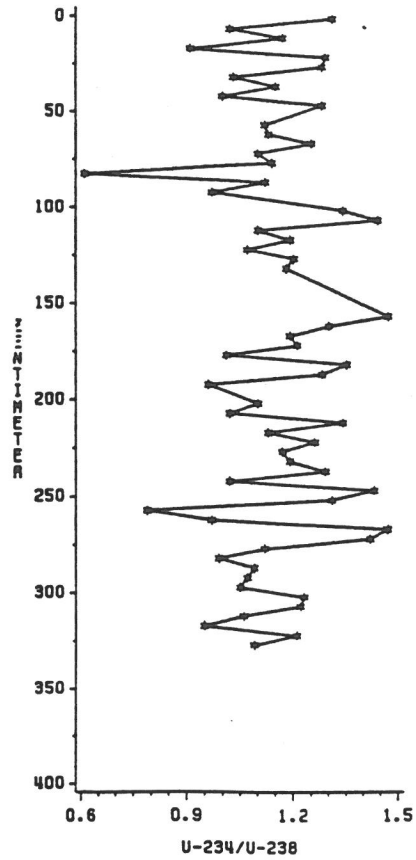
TH-232



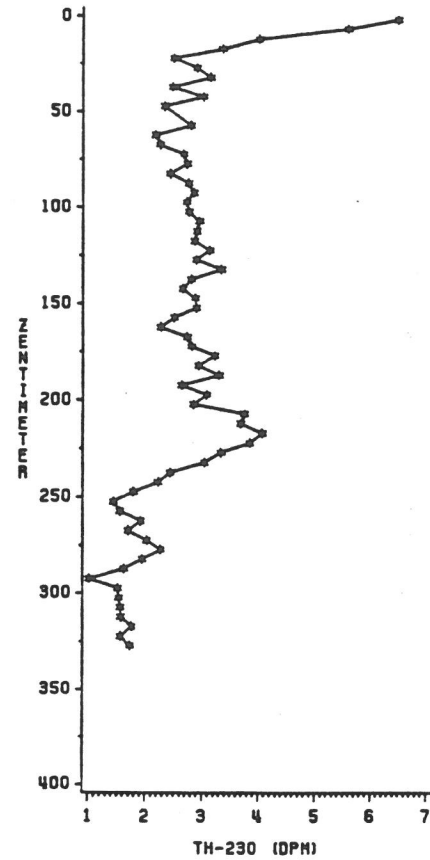
U-238



U-234/U-238



TH-230



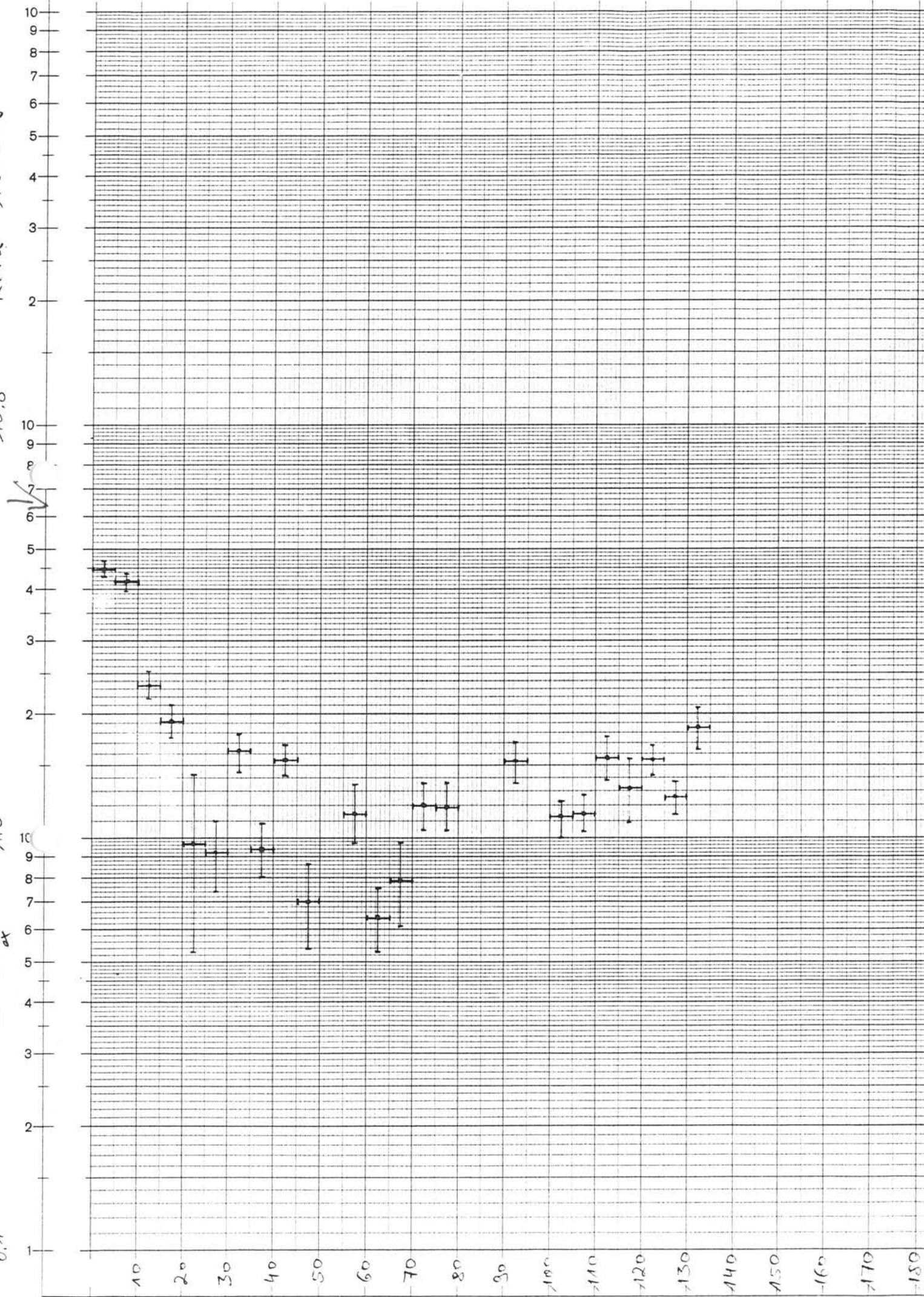
Kern 1388-3

10.0

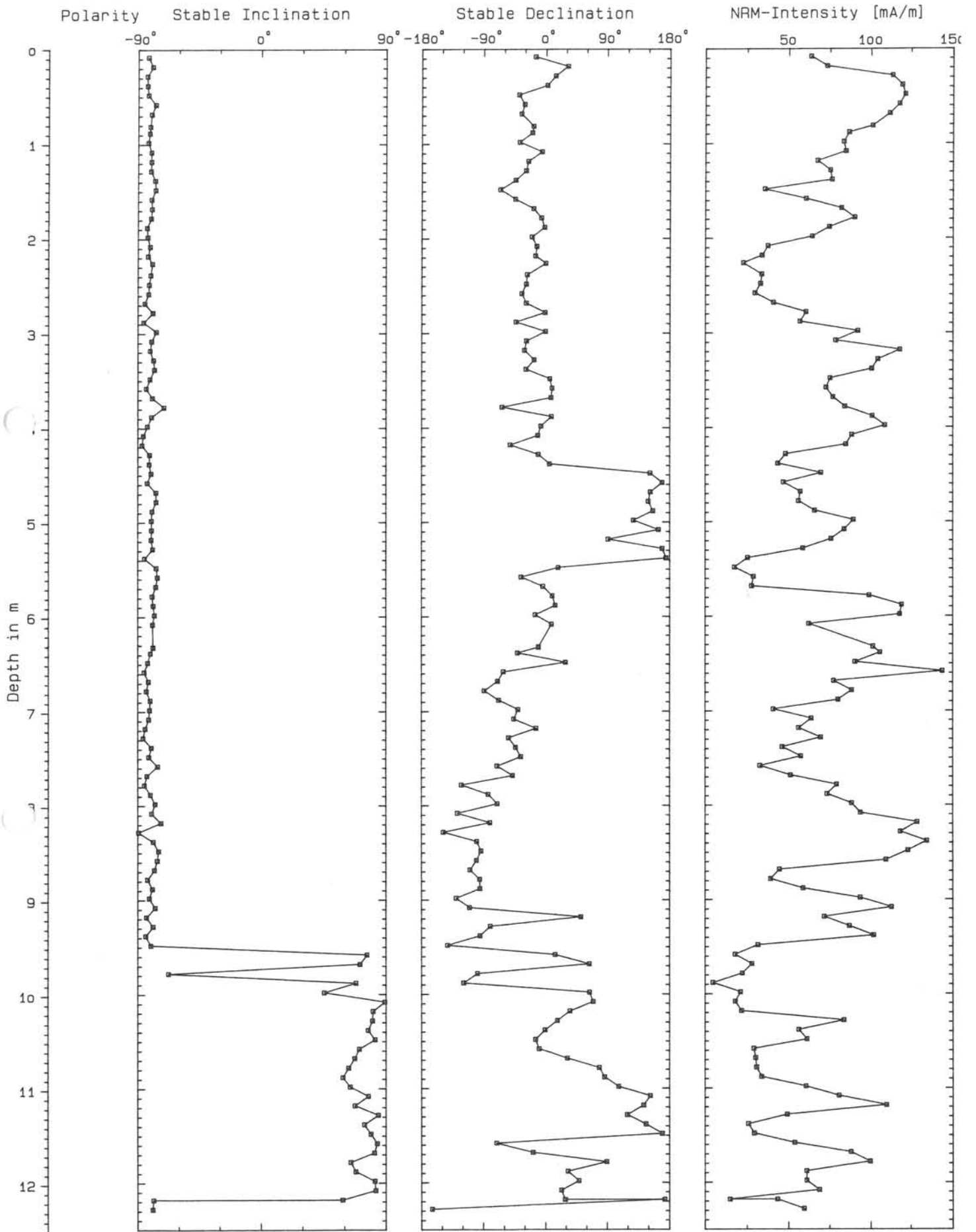
1.0

16-250_{ax}

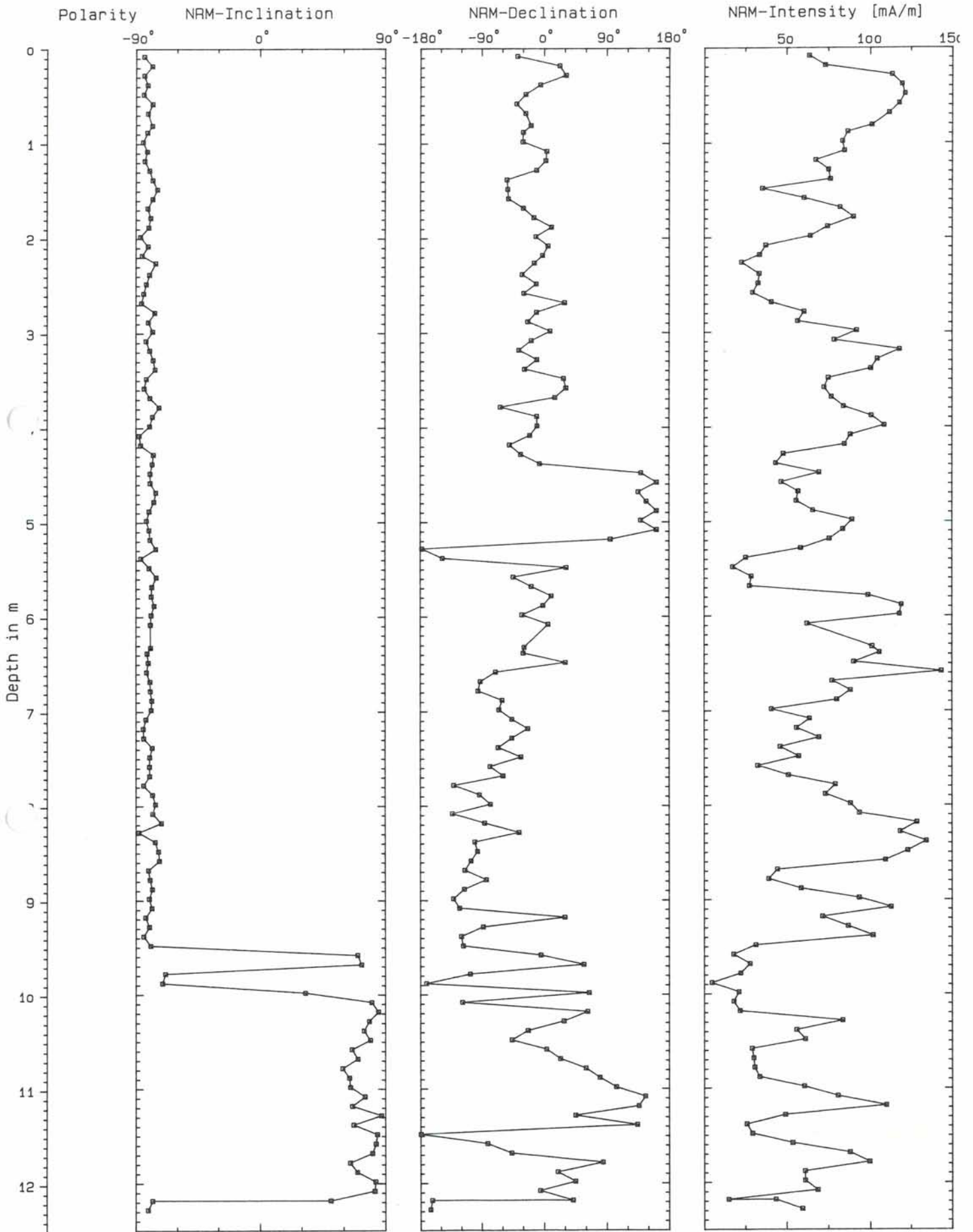
0.1



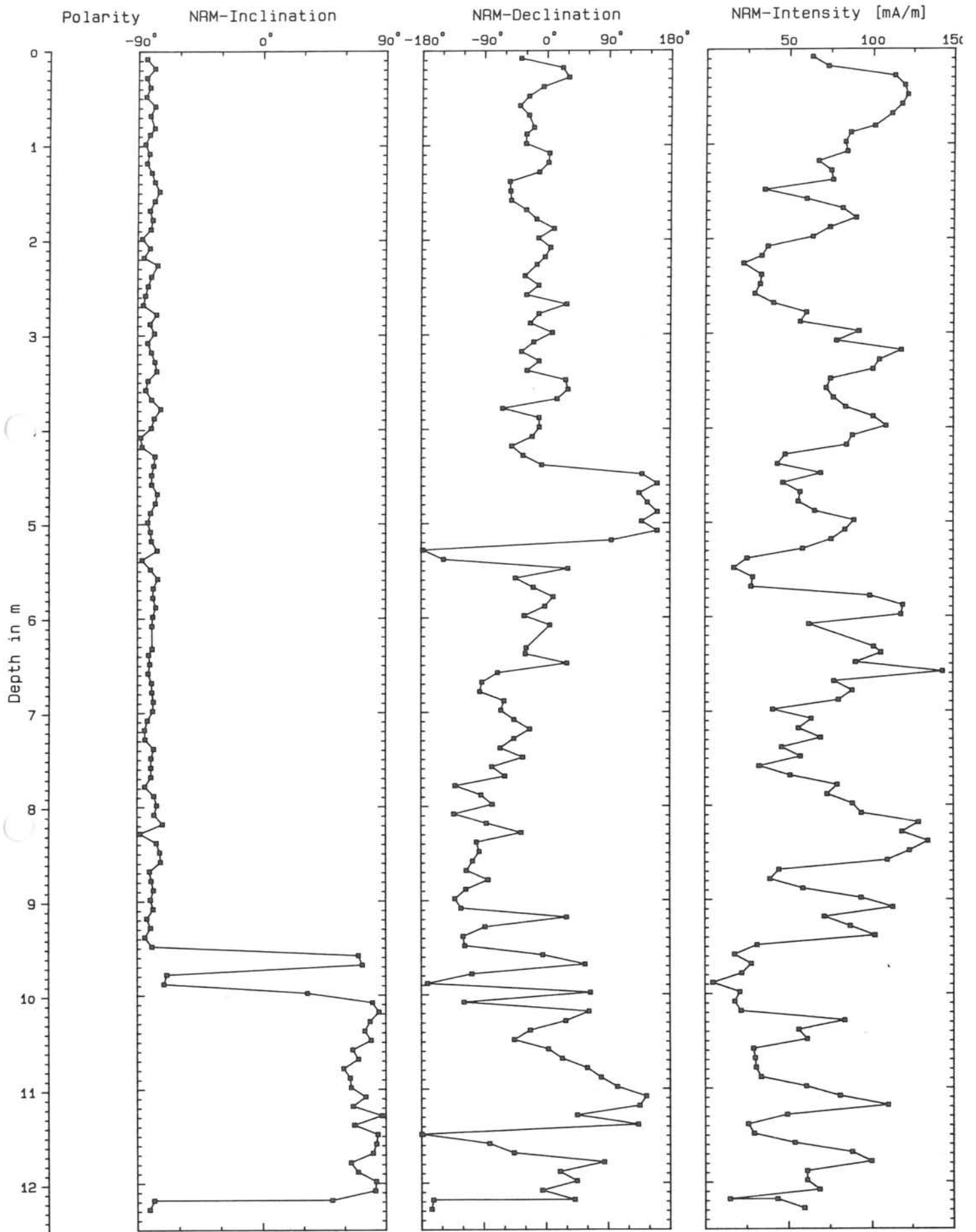
1388-3 Stratigraphy

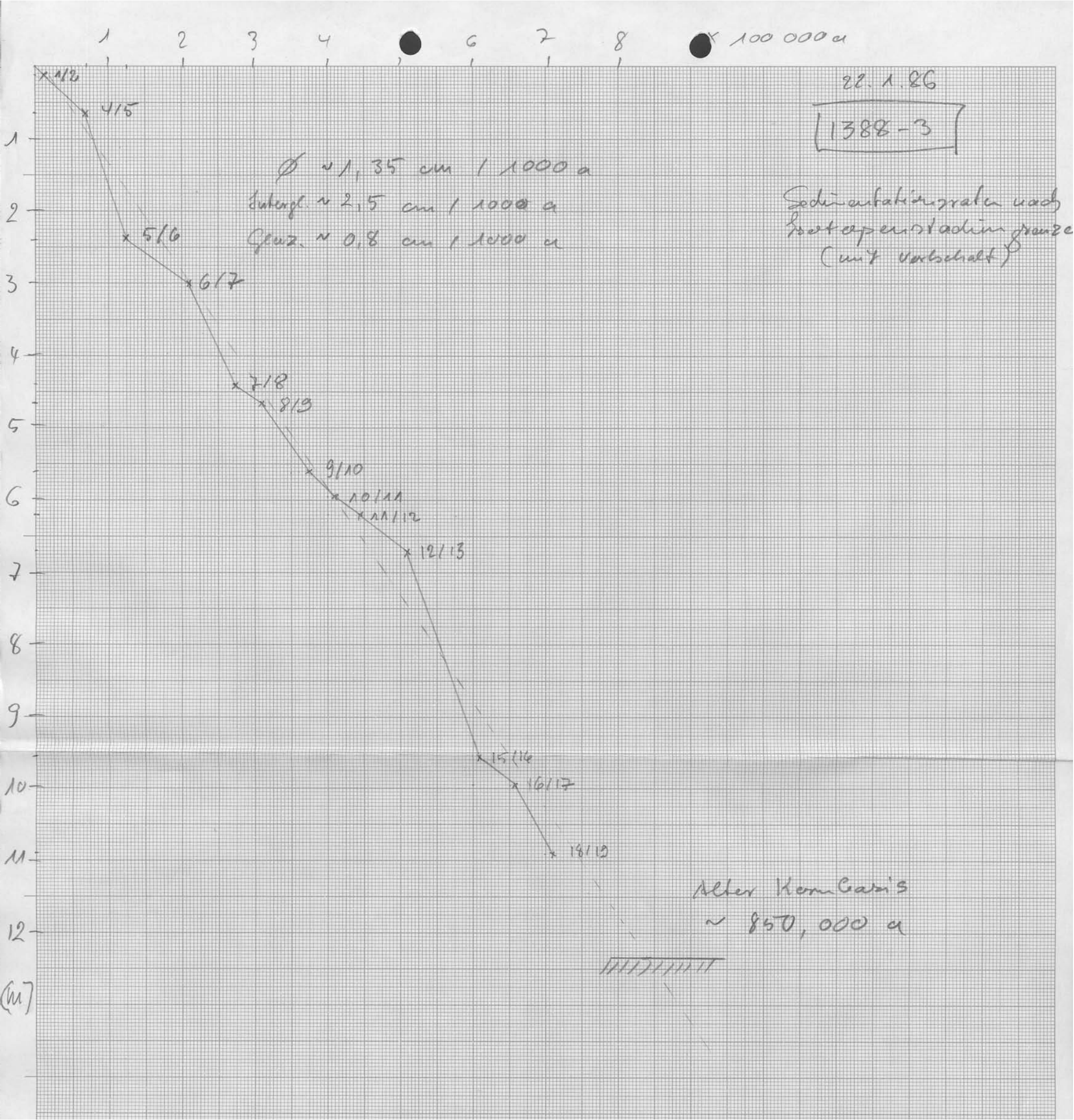


1388-3 NRM-Stratigraphy

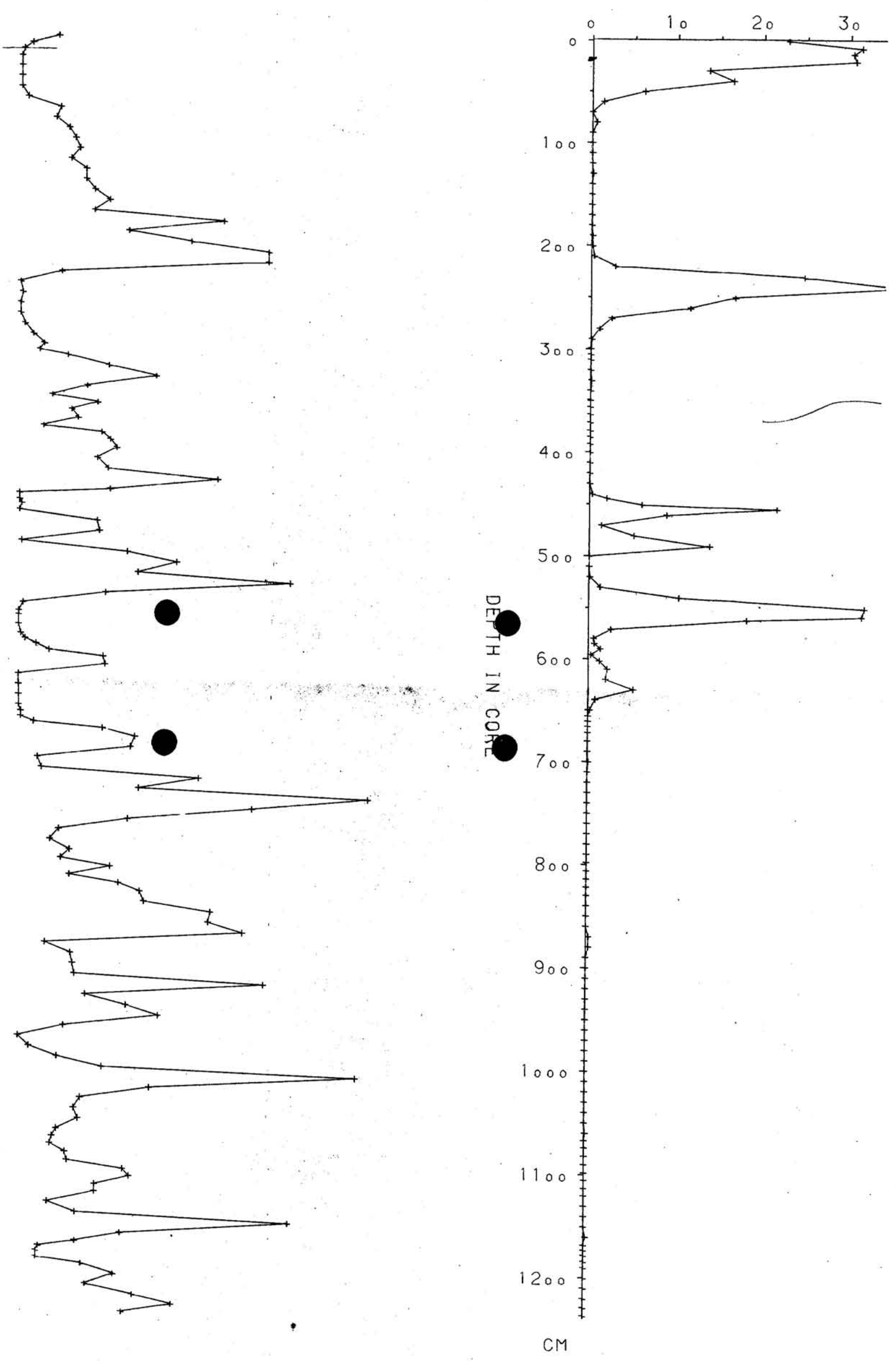


1388-3 NRM-Stratigraphy

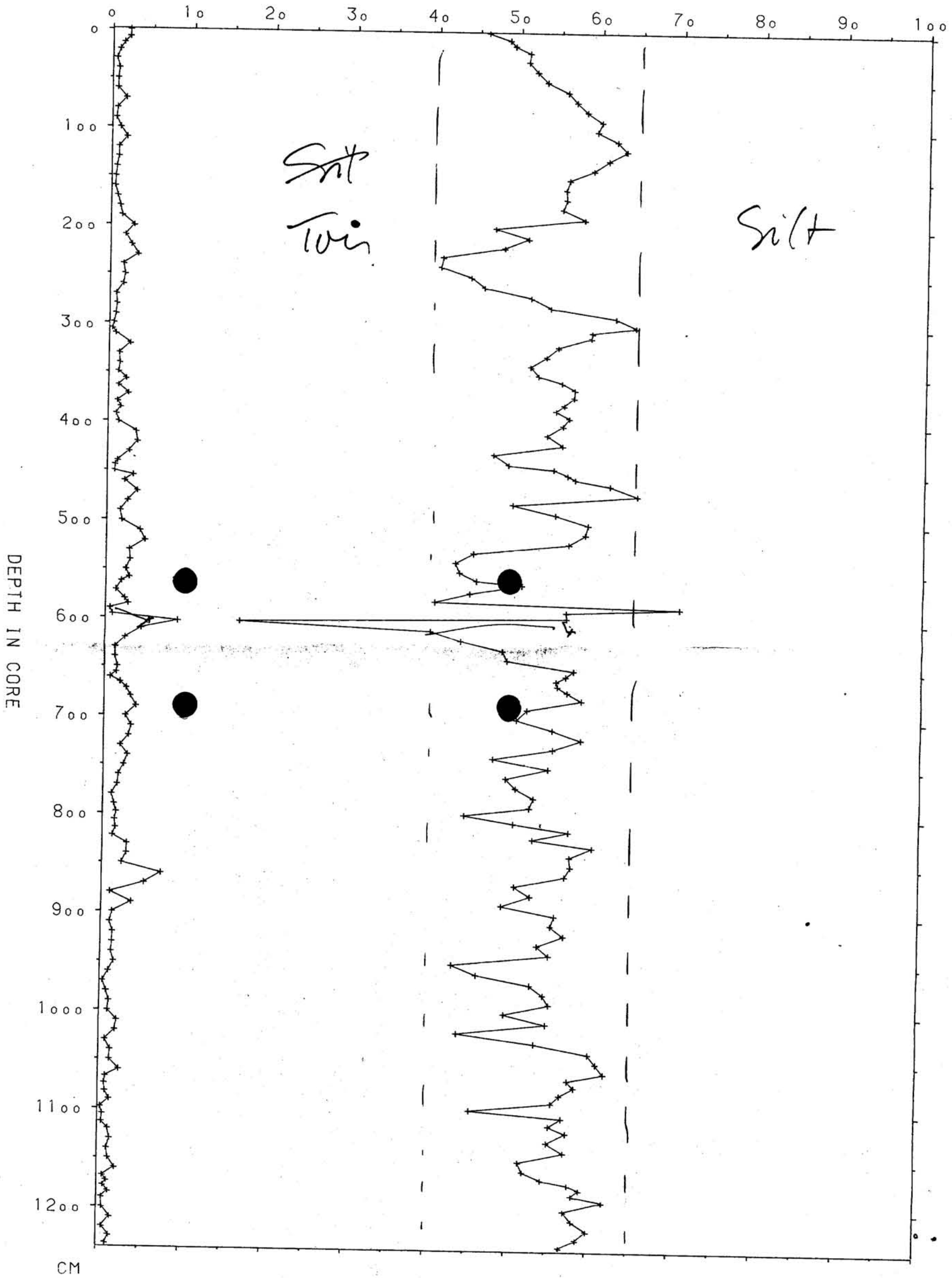




RADIOLARIA



SAND/SILT/CLAY

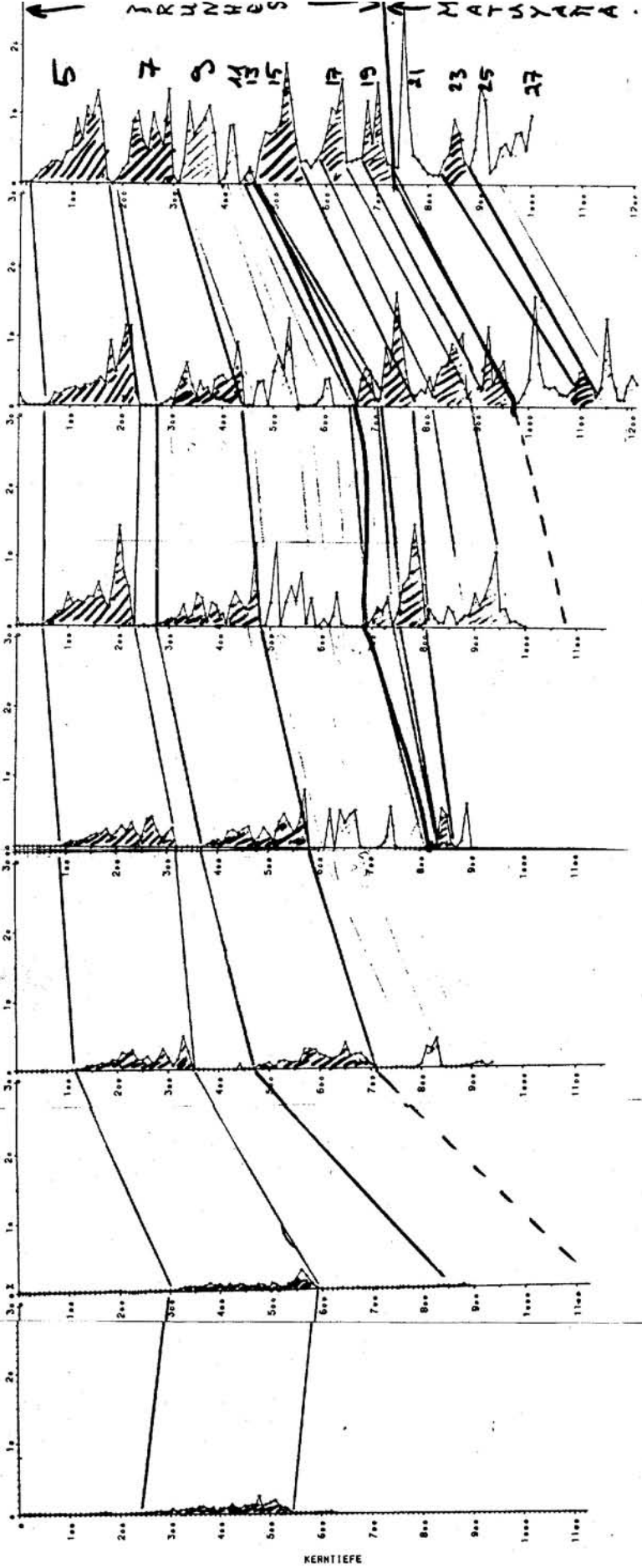


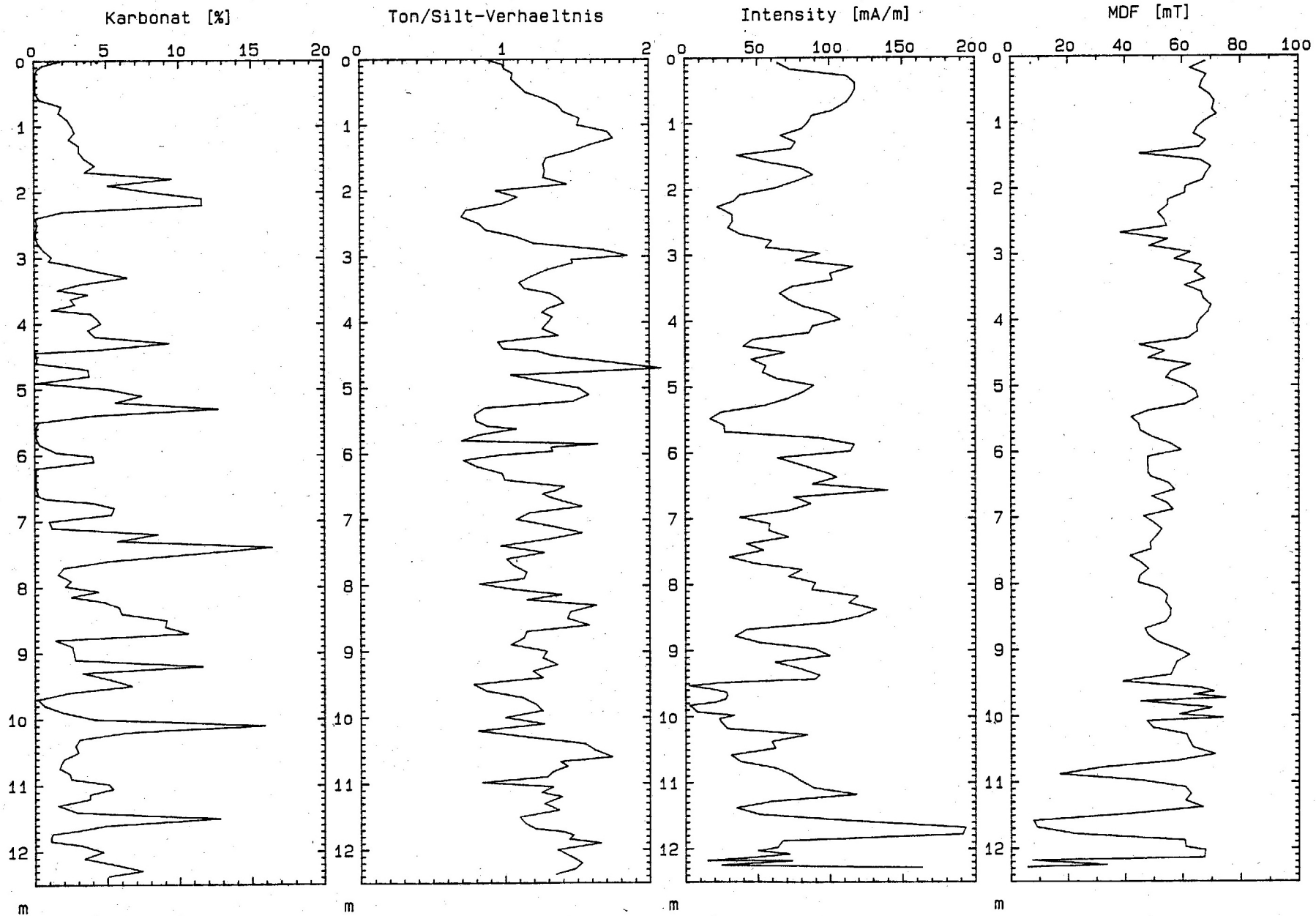
1392-1
KARBONAT

1334-4
5-100m

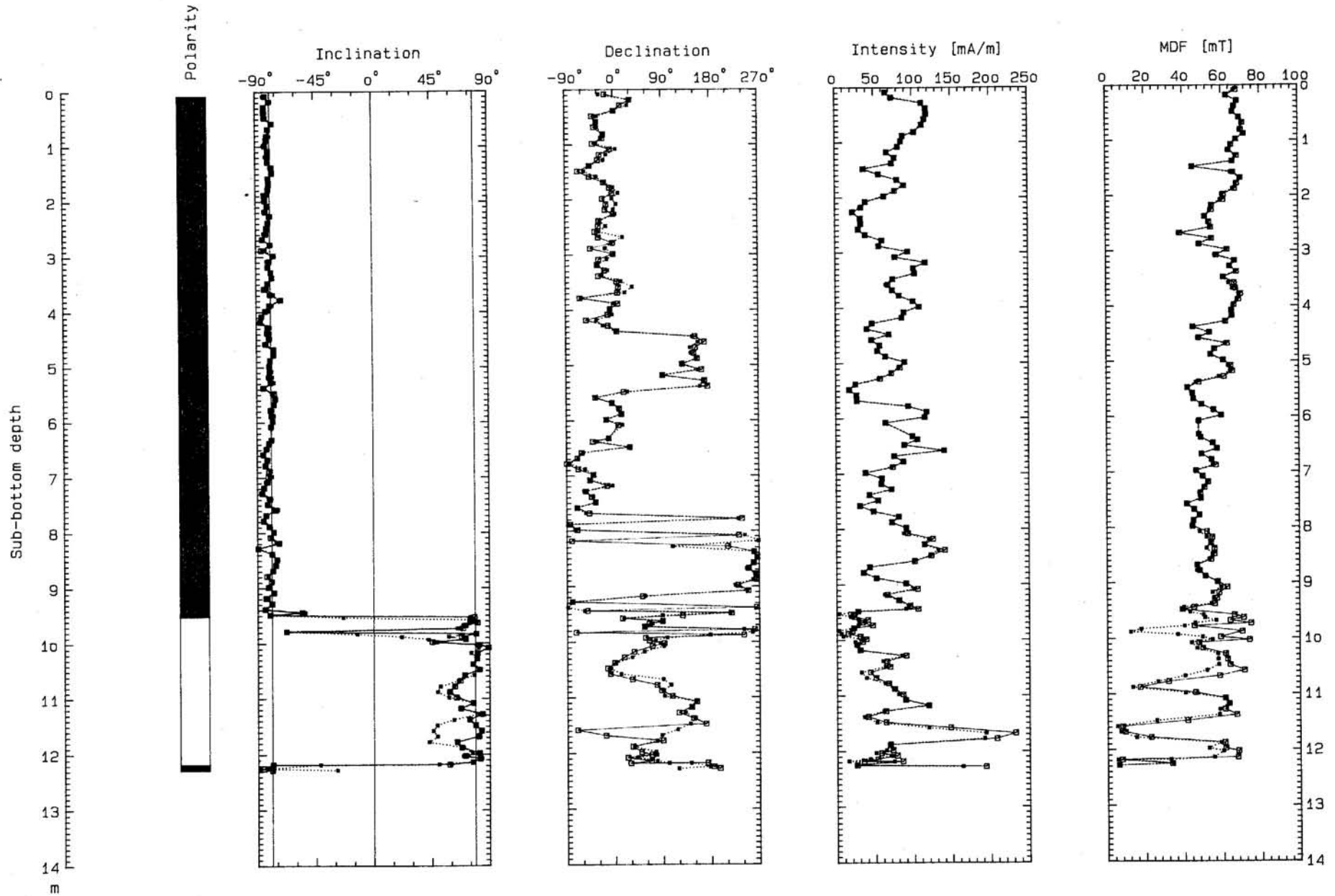
17-20

13-15
5-100m

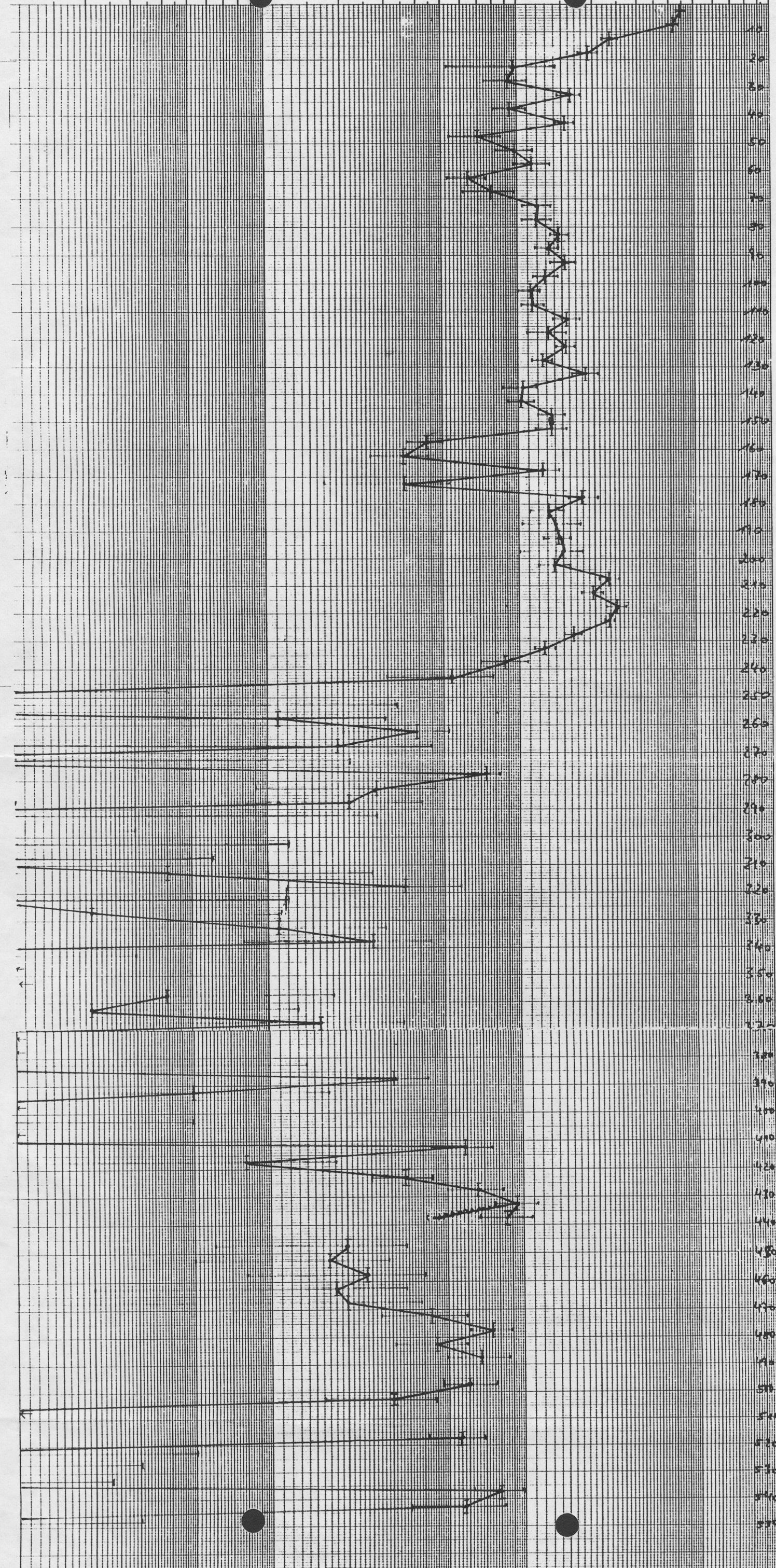




core 1388-3



1
 2
 3
 4
 5
 7



15 000
 $[\hat{=} 2,3 \text{ cm/ka}]$

70 000
 $[\hat{=} 2,4 \text{ cm/ka}]$

120 000
 $[\hat{=} 1,79 \text{ cm/ka}]$

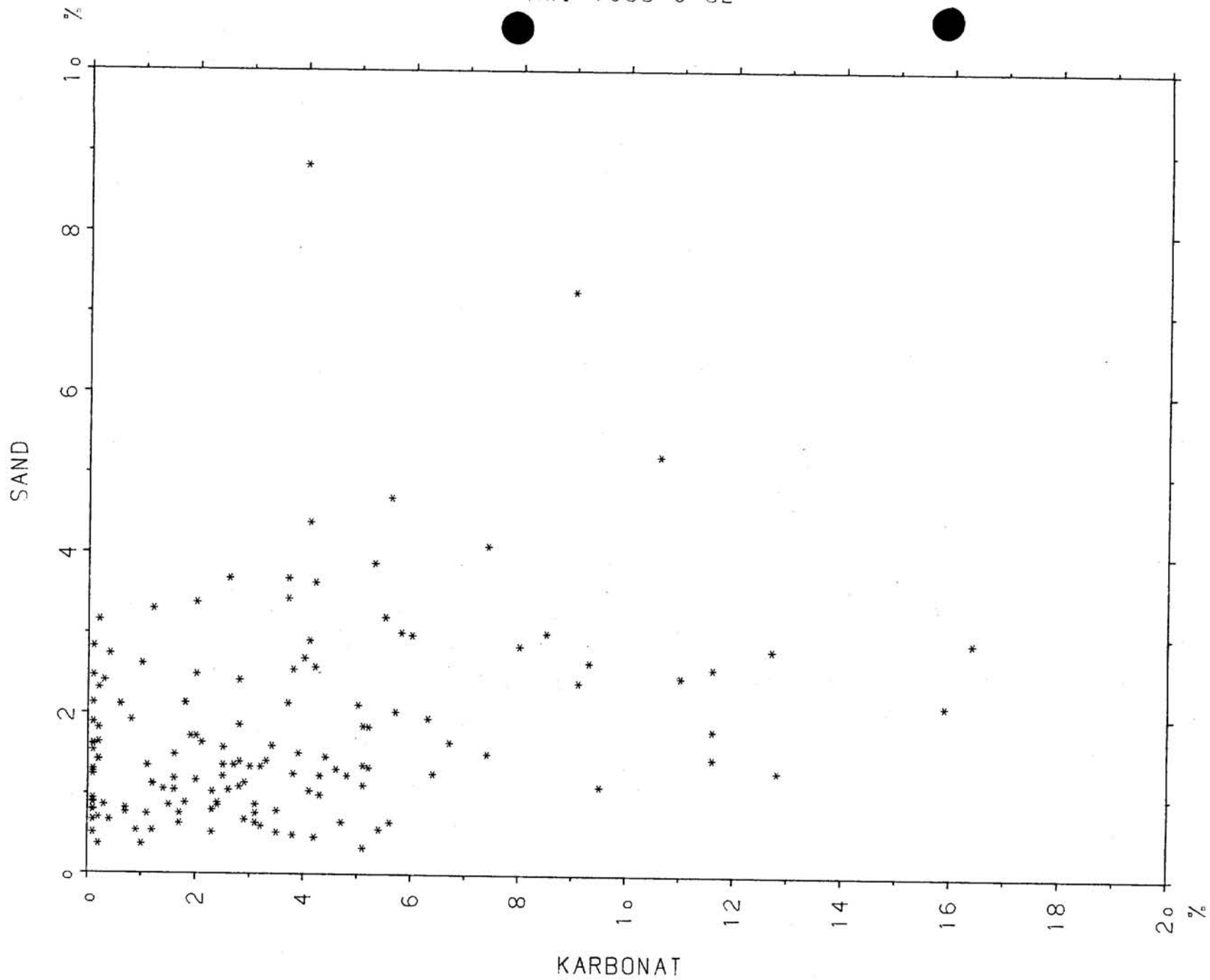
140 000
 $[\hat{=} 1,96 \text{ cm/ka}]$

220 000
 $[\hat{=} 1,95 \text{ cm/ka}]$

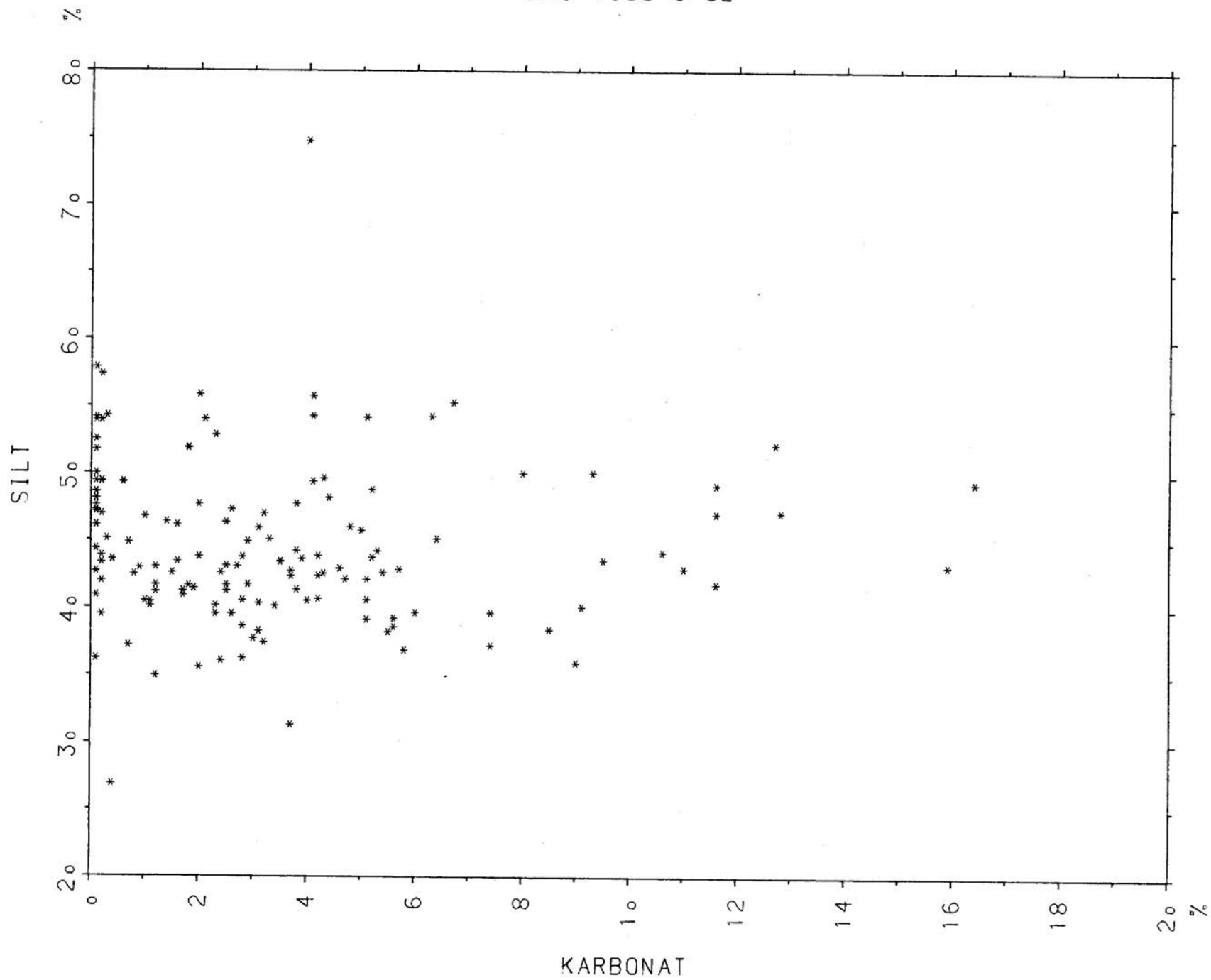
240 000
 $[\hat{=} 2 \text{ cm/1000a}]$

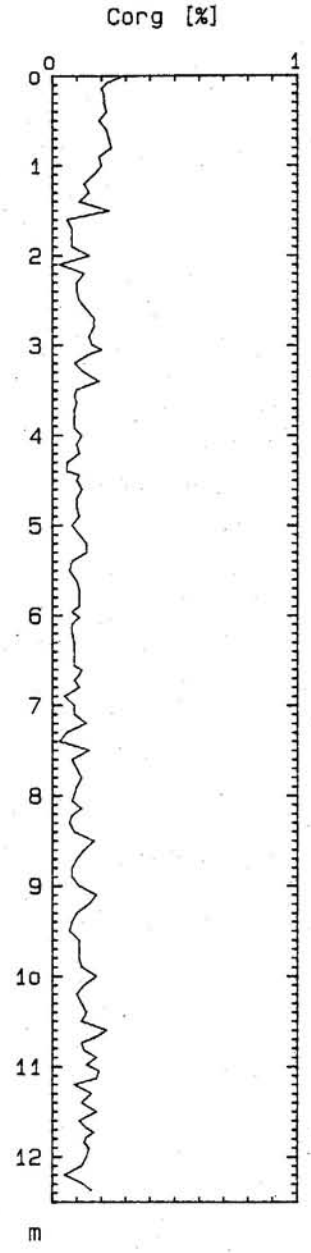
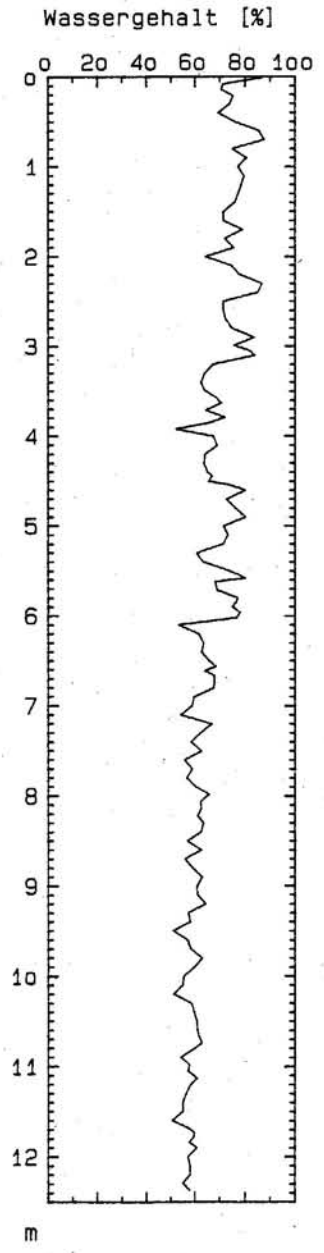
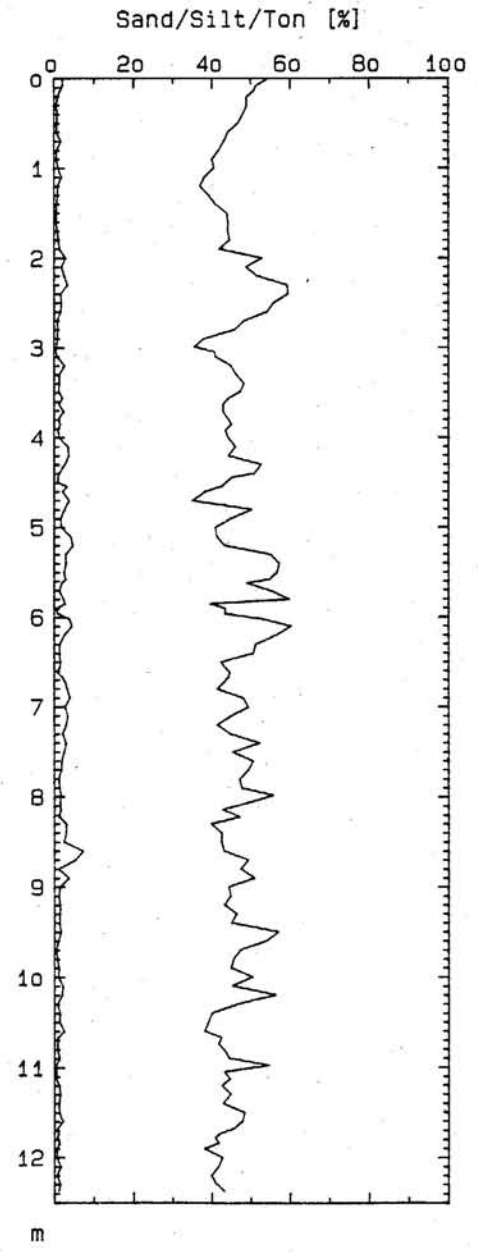
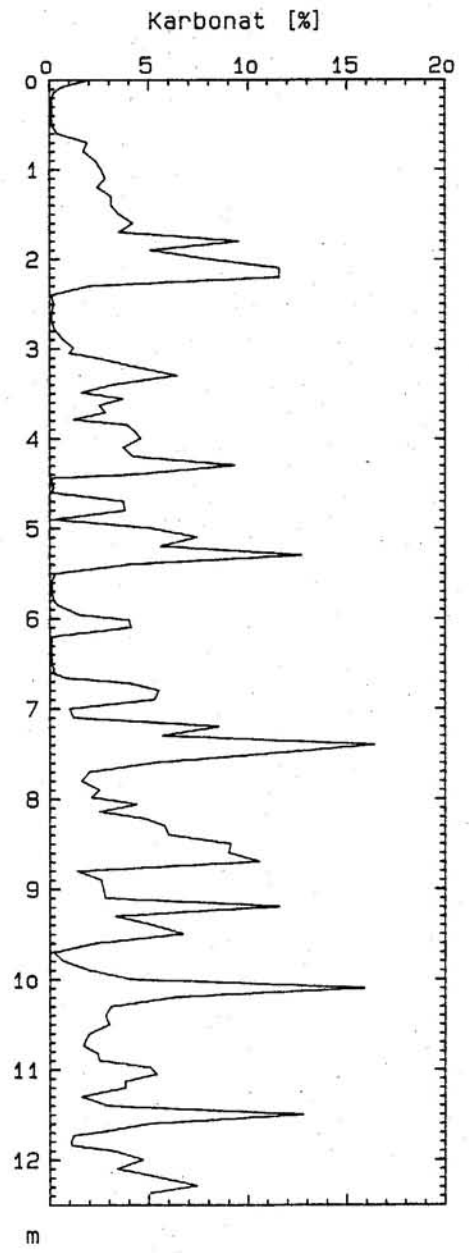
270 000
 $[\hat{=} 2 \text{ cm/ka}]$

AWI 1388-3 SL

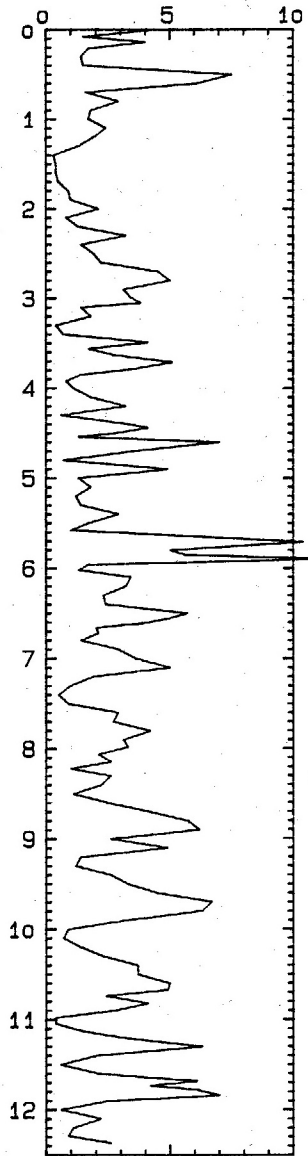


AWI 1388-3 SL



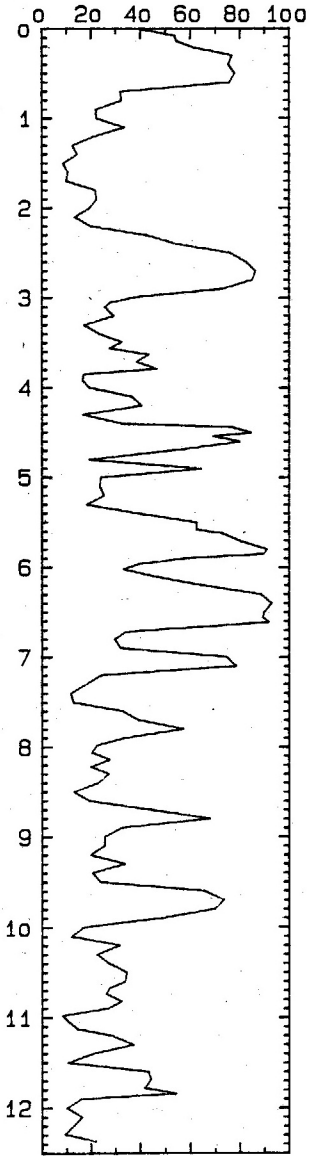


Gesteinsbruchst. [%]



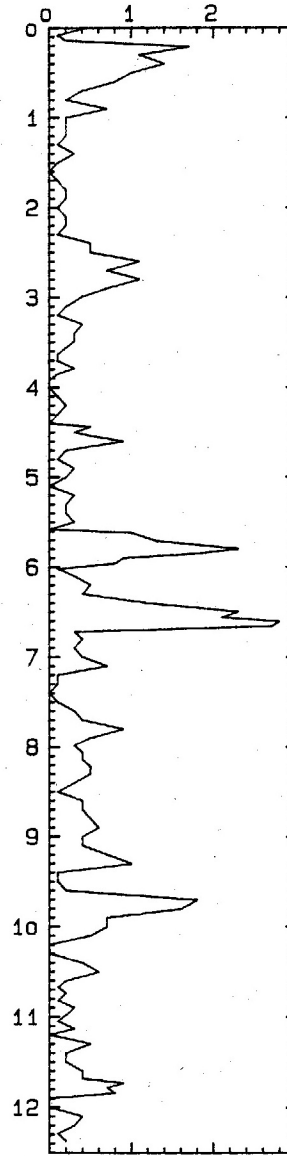
m

Minerale [%]



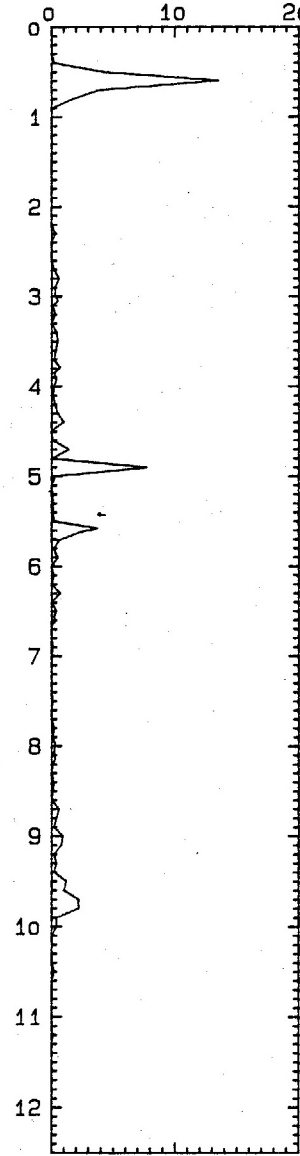
m

Glaukonit [%]



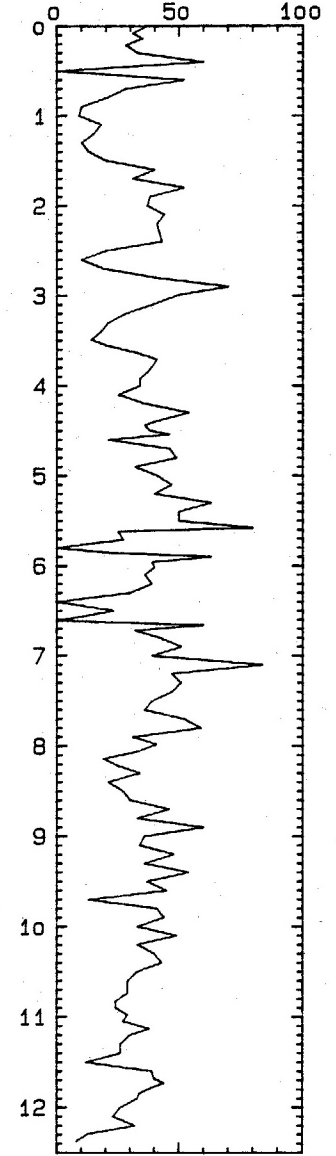
m

Manganknollen [%]



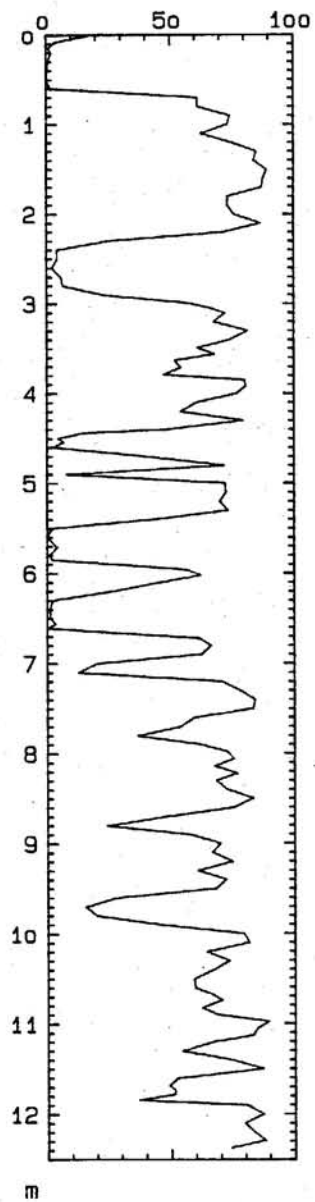
m

Fragmentierungsindex

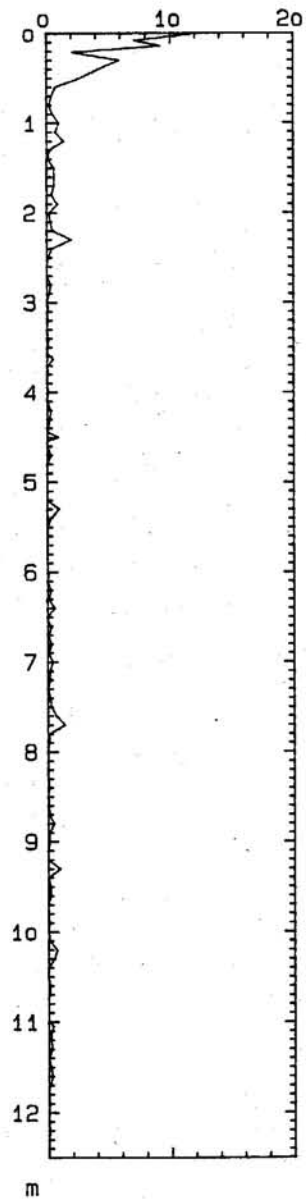


m

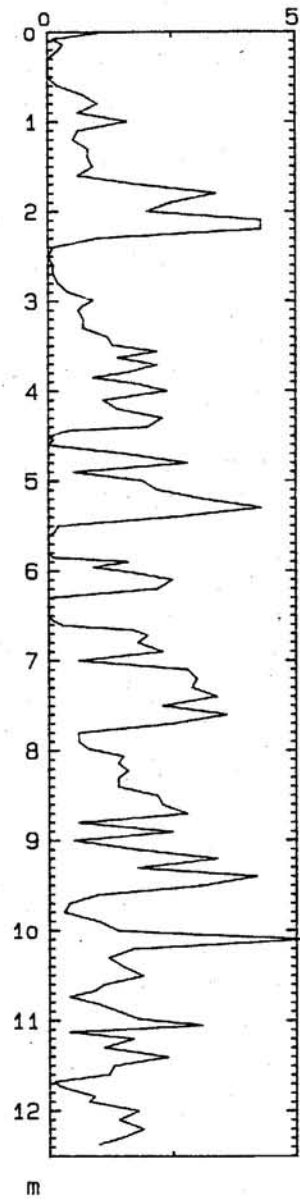
Plankt. Foram. [%]



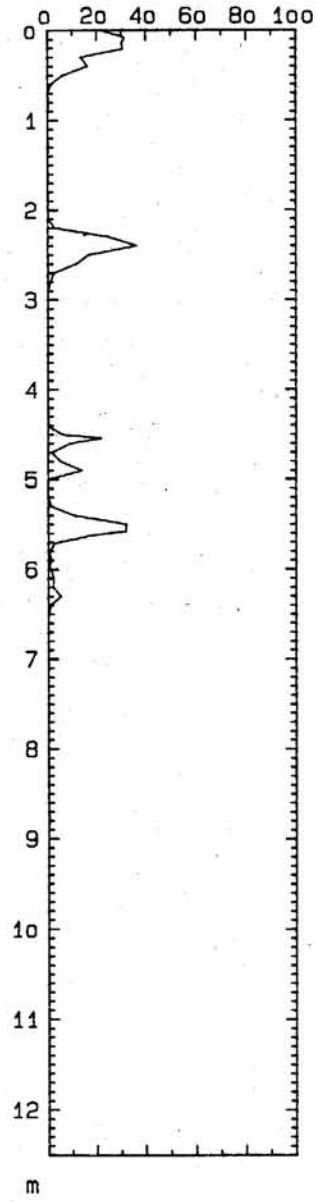
Agglut. Foram. [%]



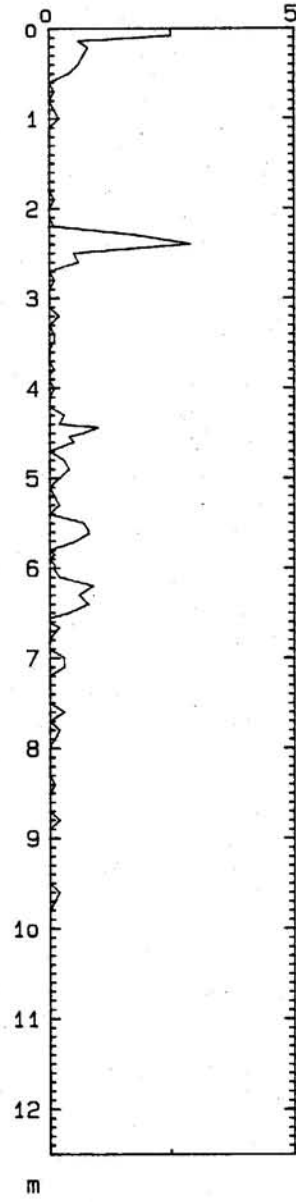
Benth. Foram. [%]

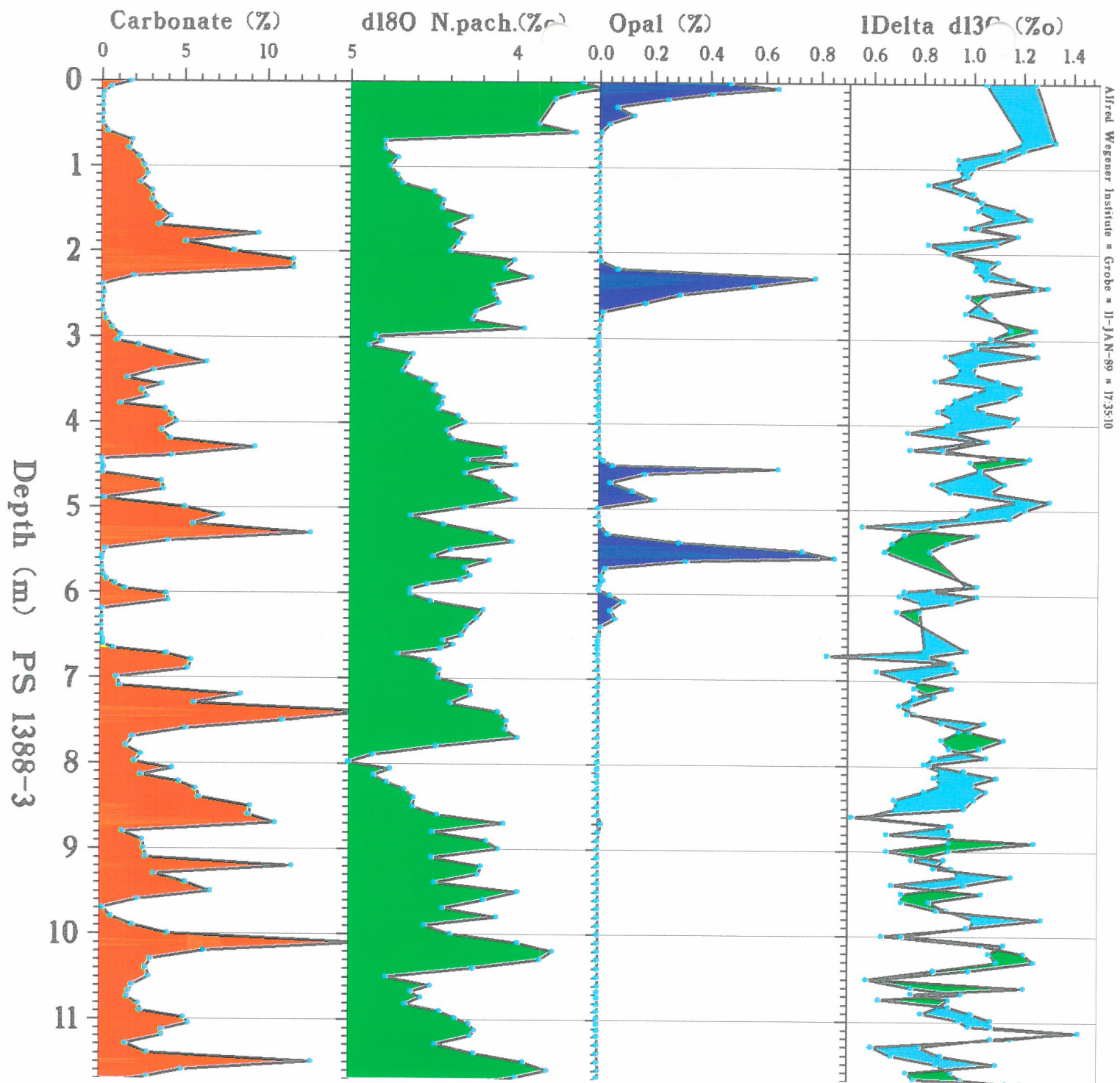


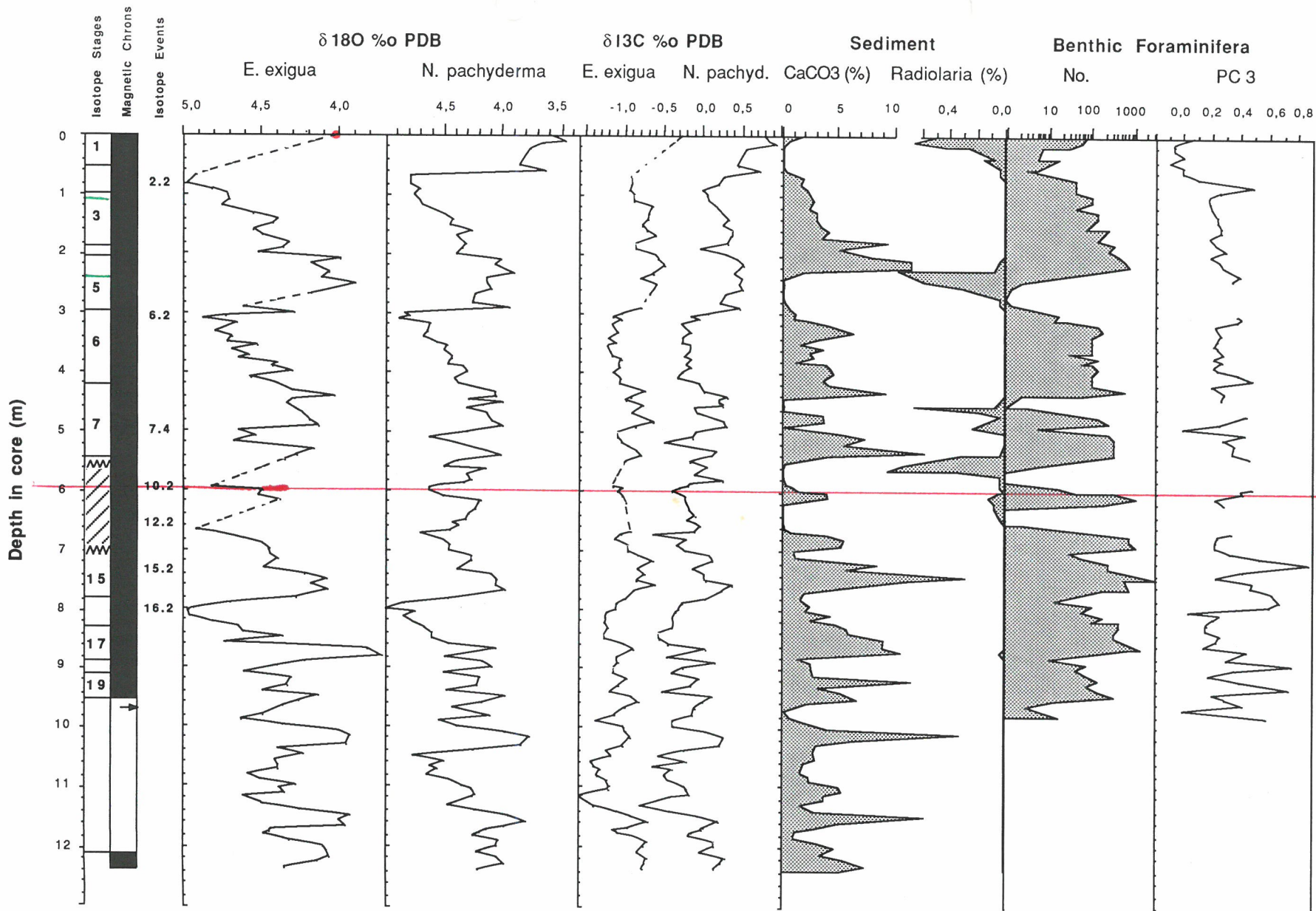
Radiolarien [%]



Schwammnadeln [%]







Hanns,

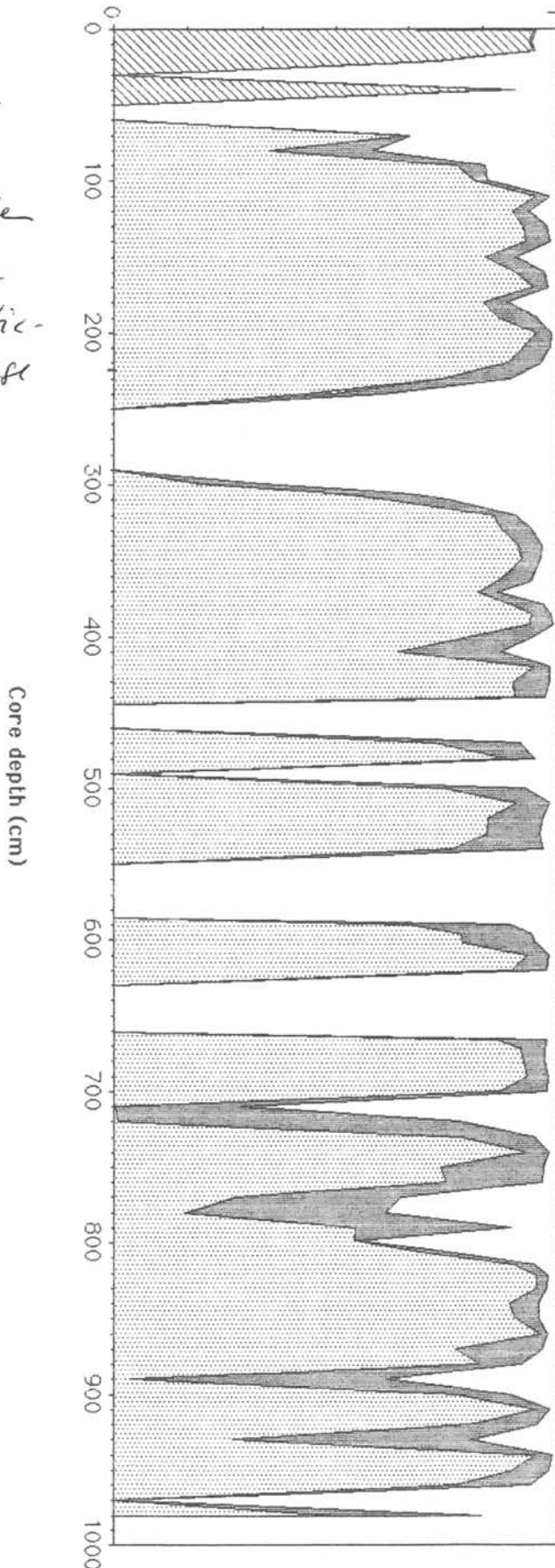
dieses ist ein vorläufige
Endergebnis, mathematisch
+ paläontologisch sauber.

3 Hauptkomponenten,
die weit über 90% der
Varianz erklären.

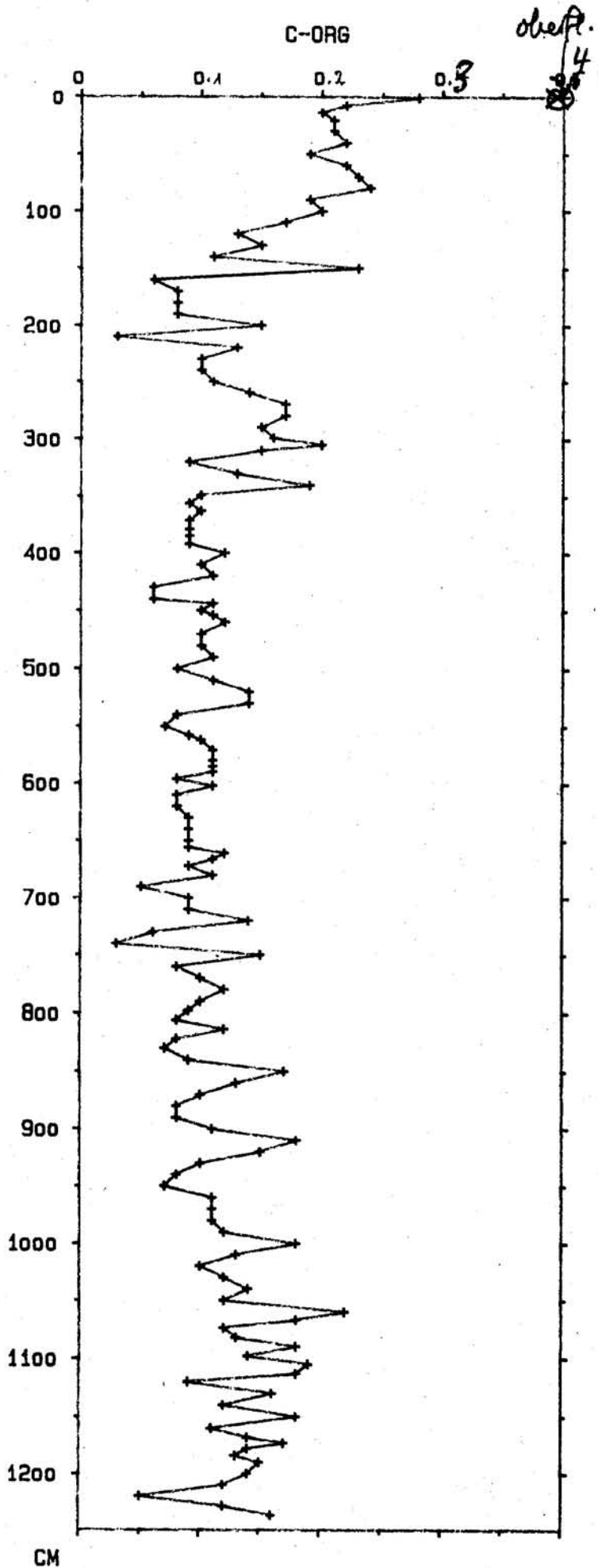
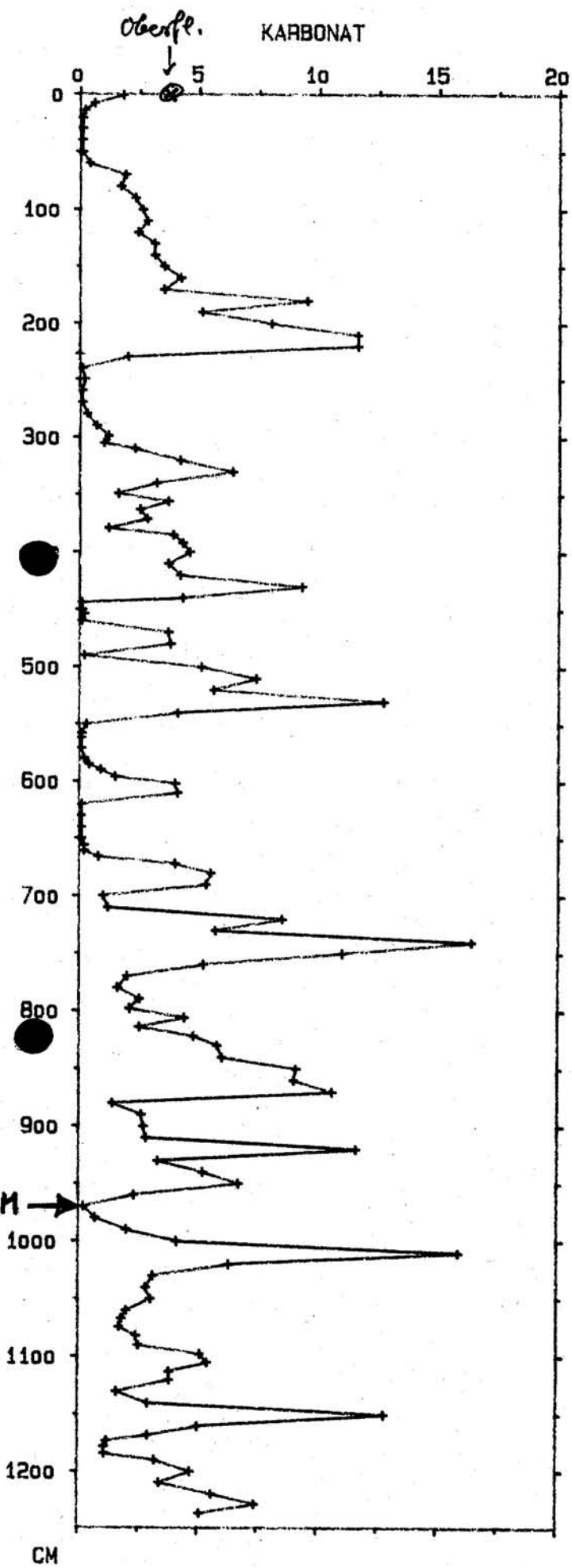
Ich möchte meine Daten
1 mal querrechnen zu
Denken u. den Haprotic-
Daten. Kannst Du diese
1 mal auf einem PC
prüfen?

Grüß Andreas

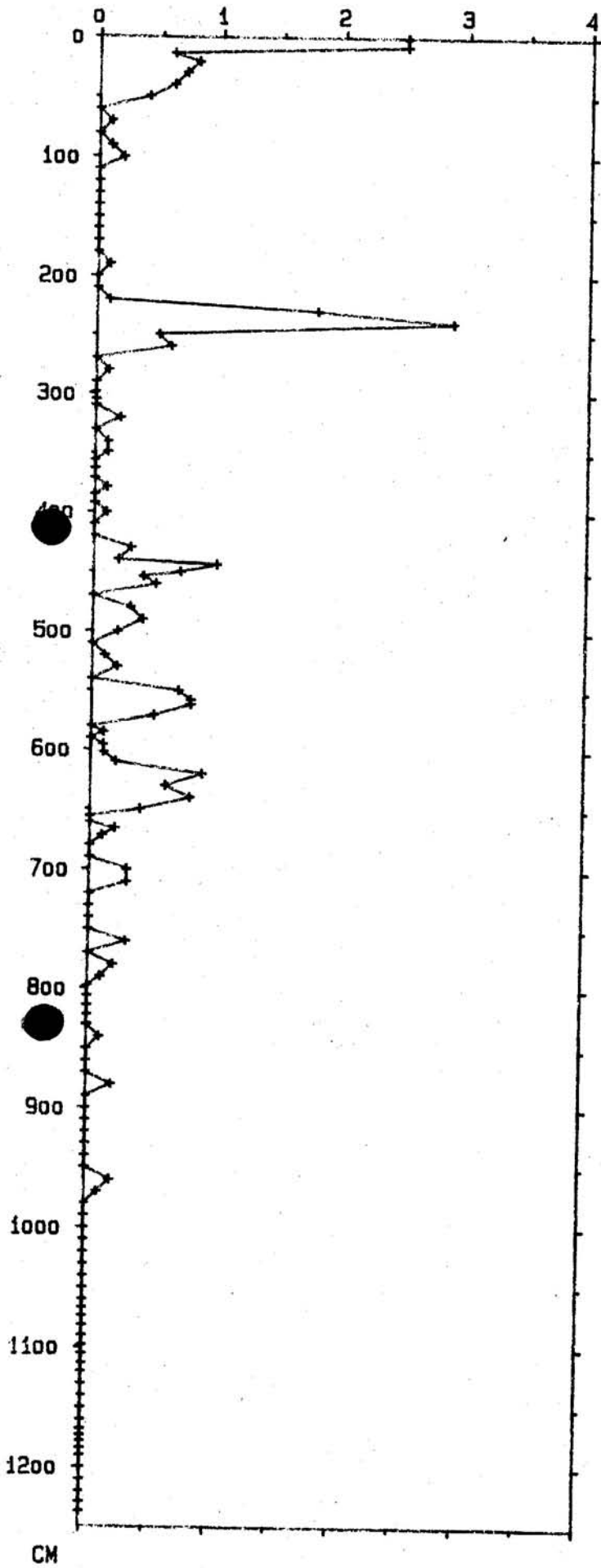
Squared loadings



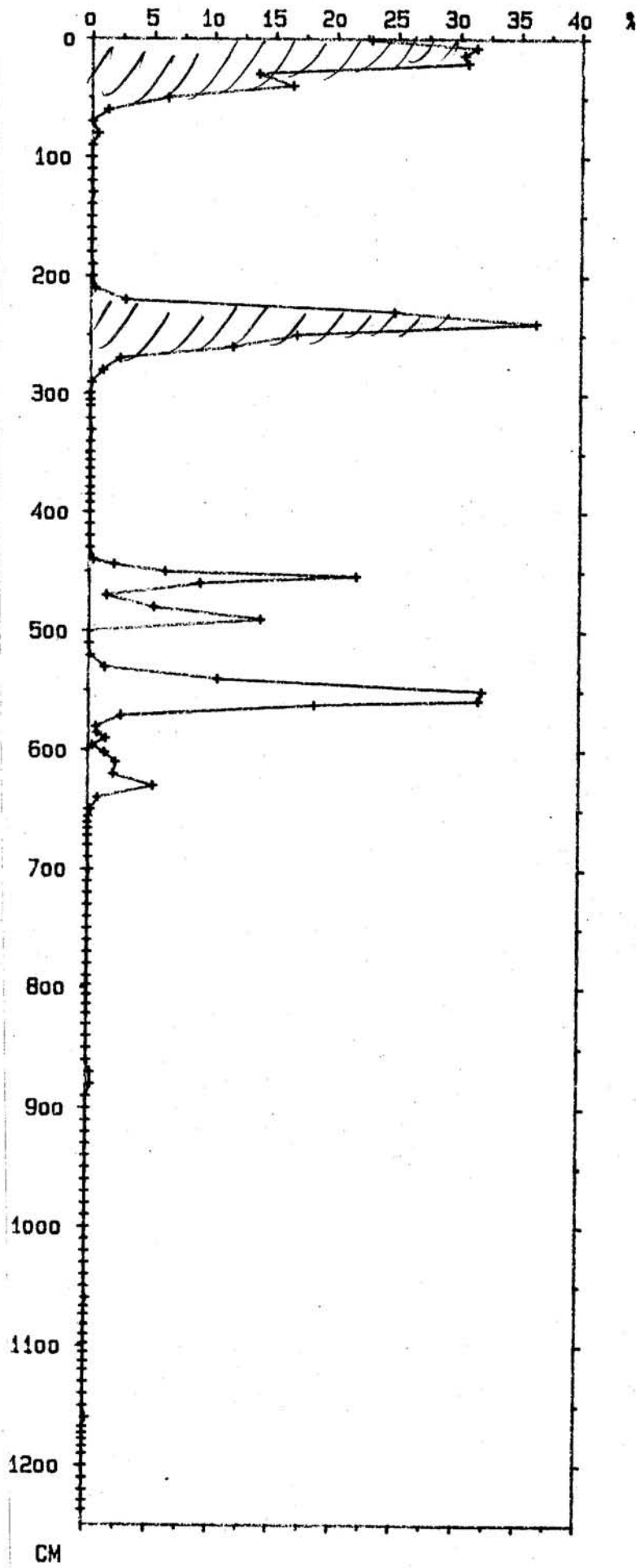
AWI - 1388



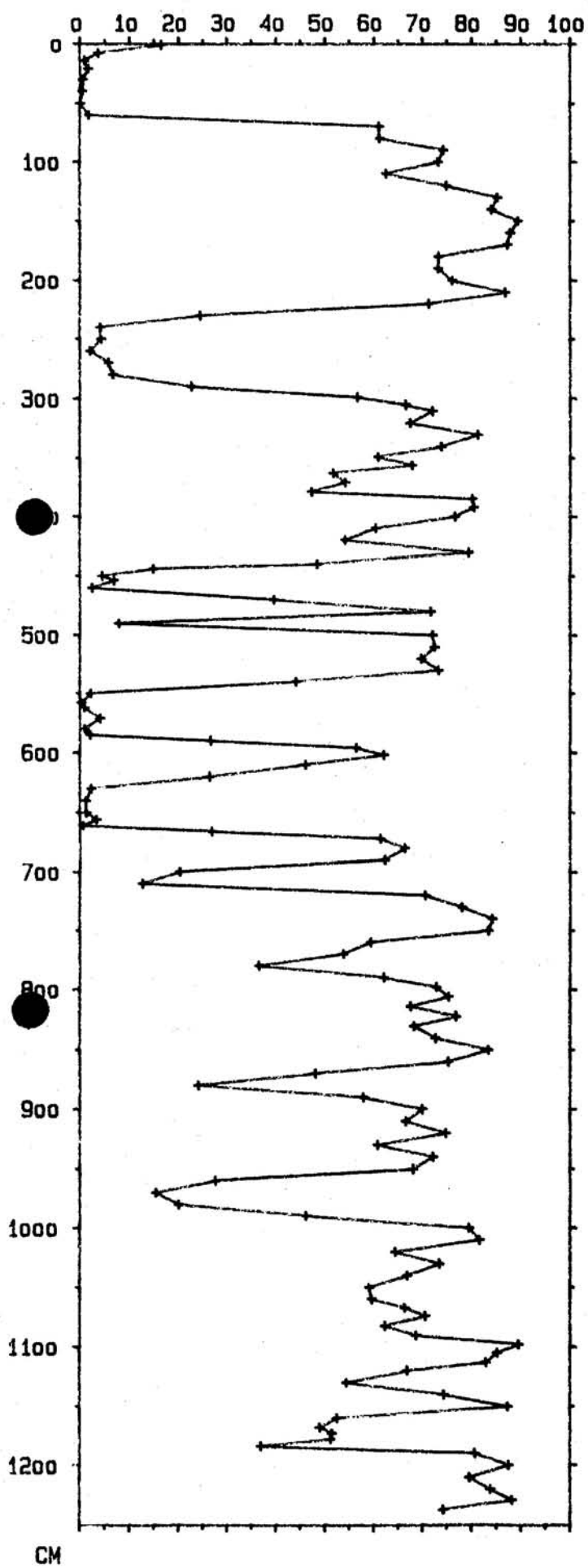
SCHWAMMNADELN



RADIOLARIEN

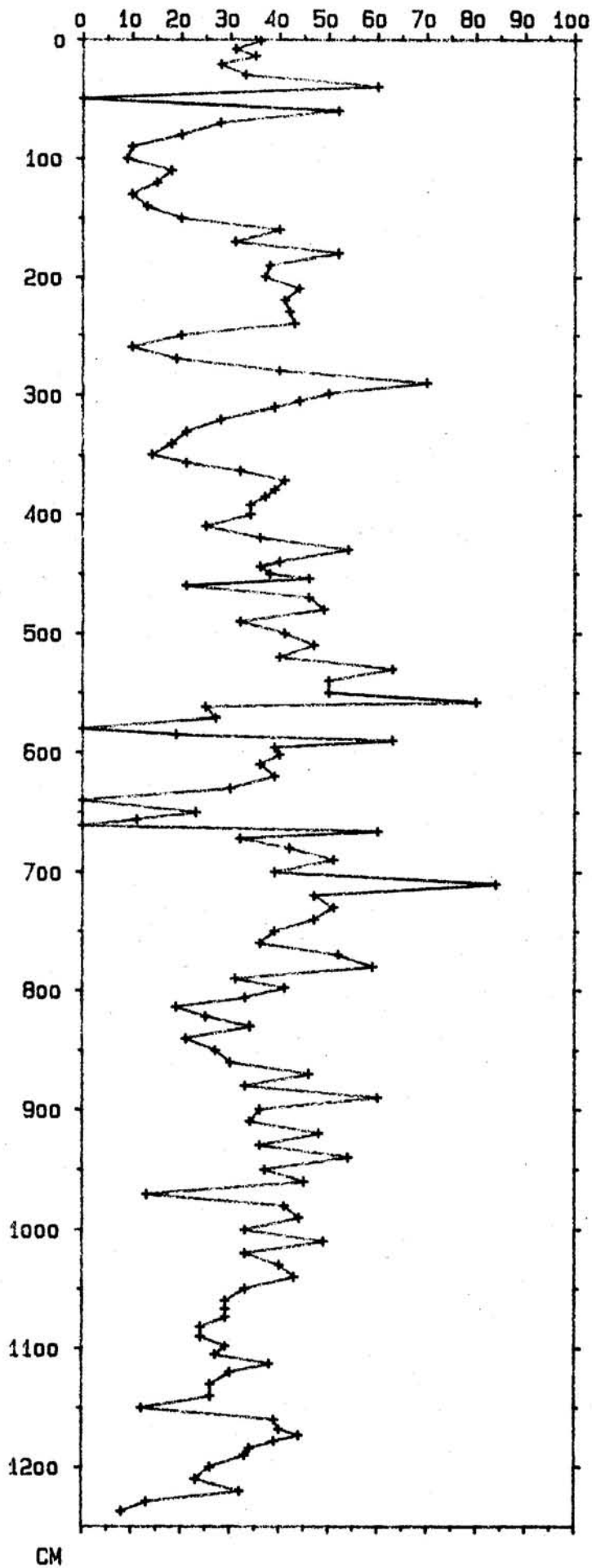


PLANKT. FORAMINIFEREN



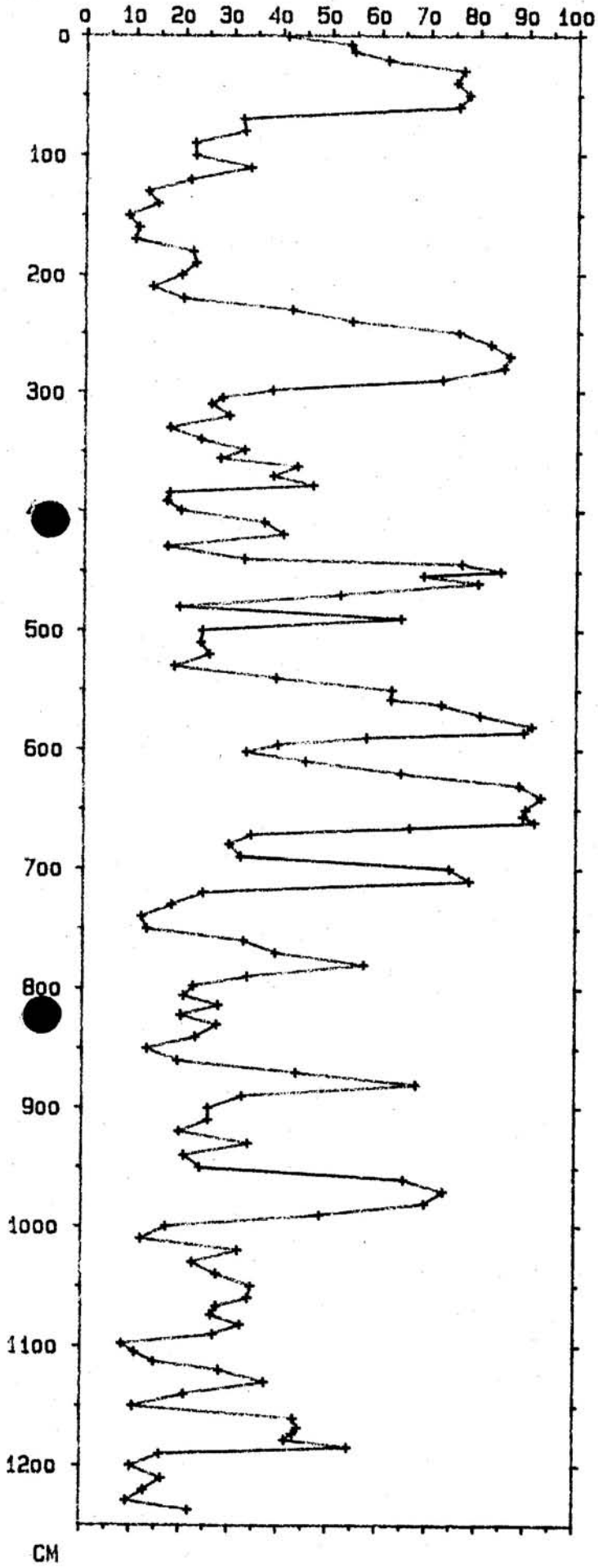
CM

FRAGMENTIERUNGSINDEX



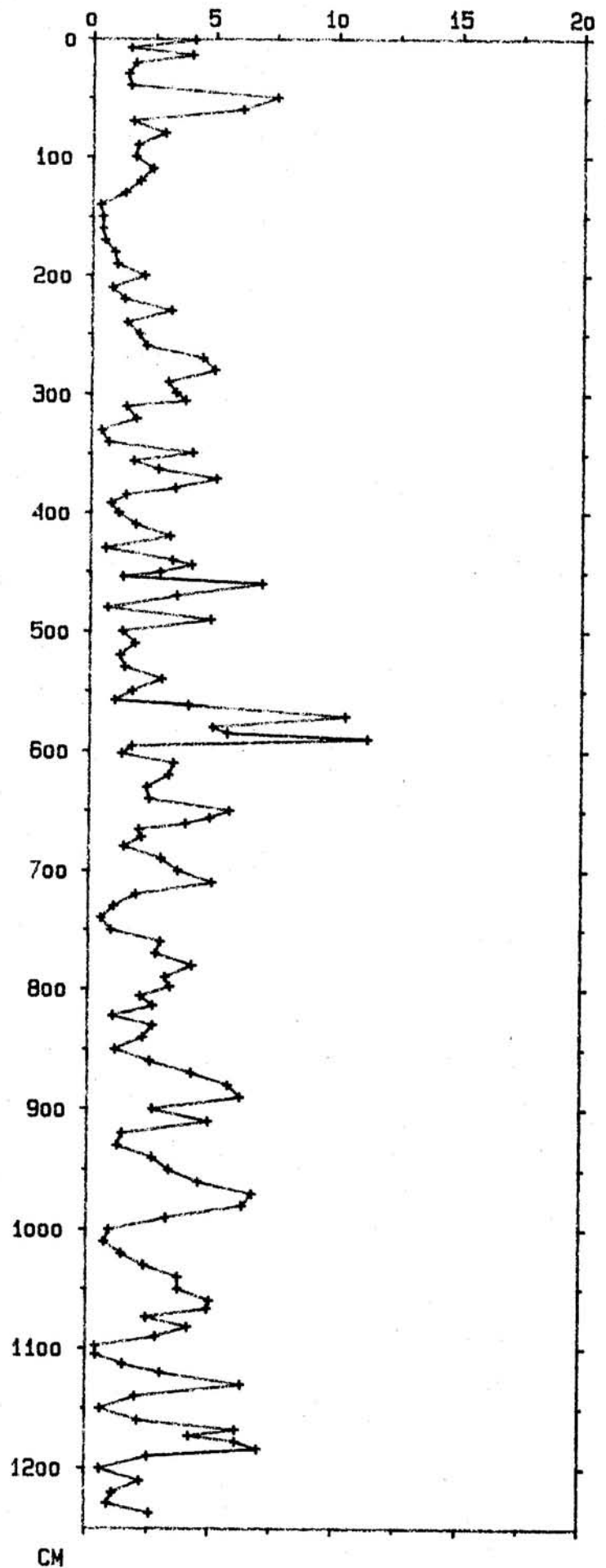
CM

MINERALE



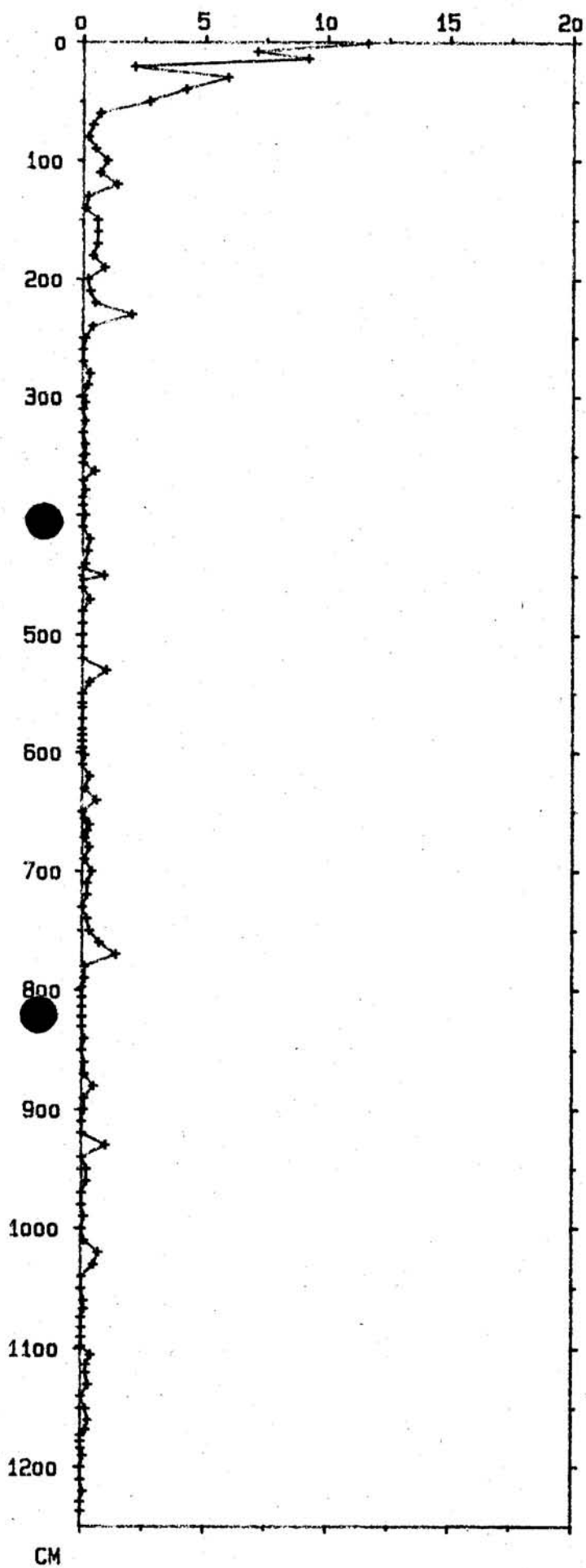
CM

GESTEINSBRUCHSTÜCKE

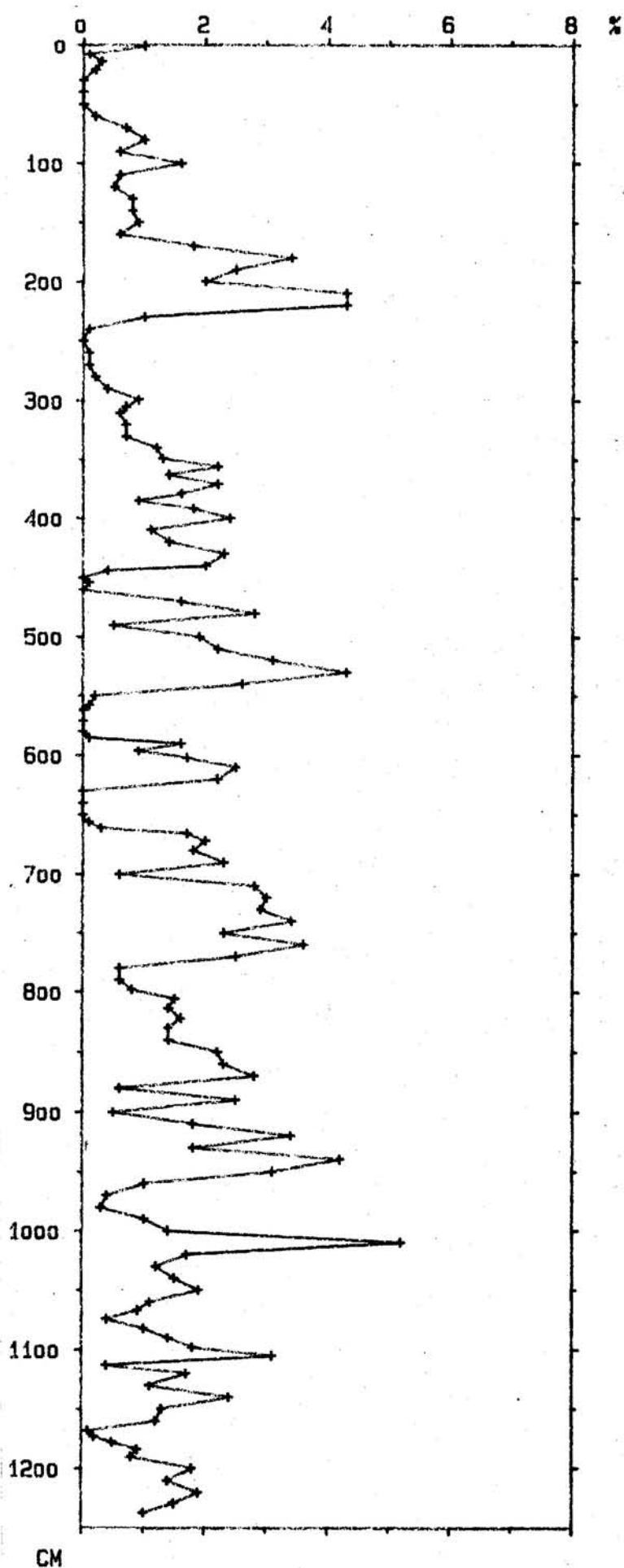


CM

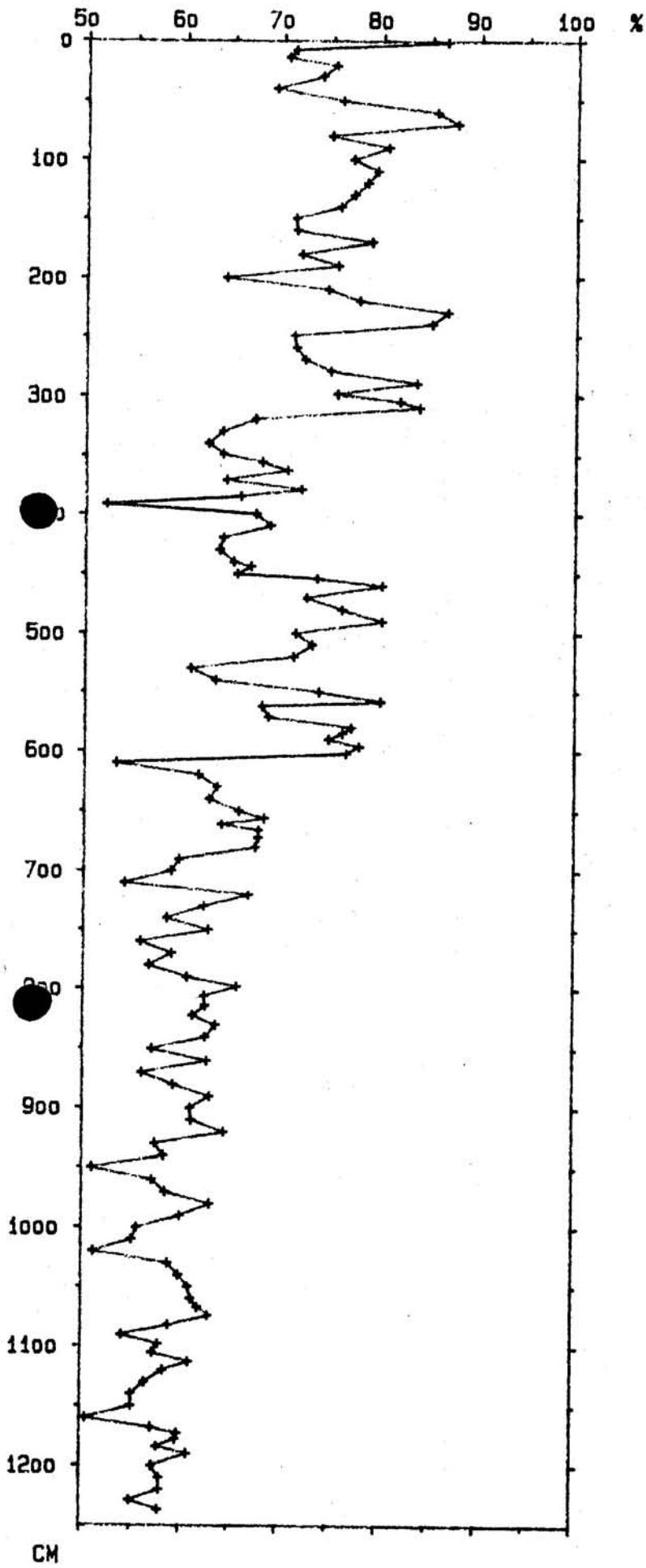
AGGLUT. FORAMINIFEREN



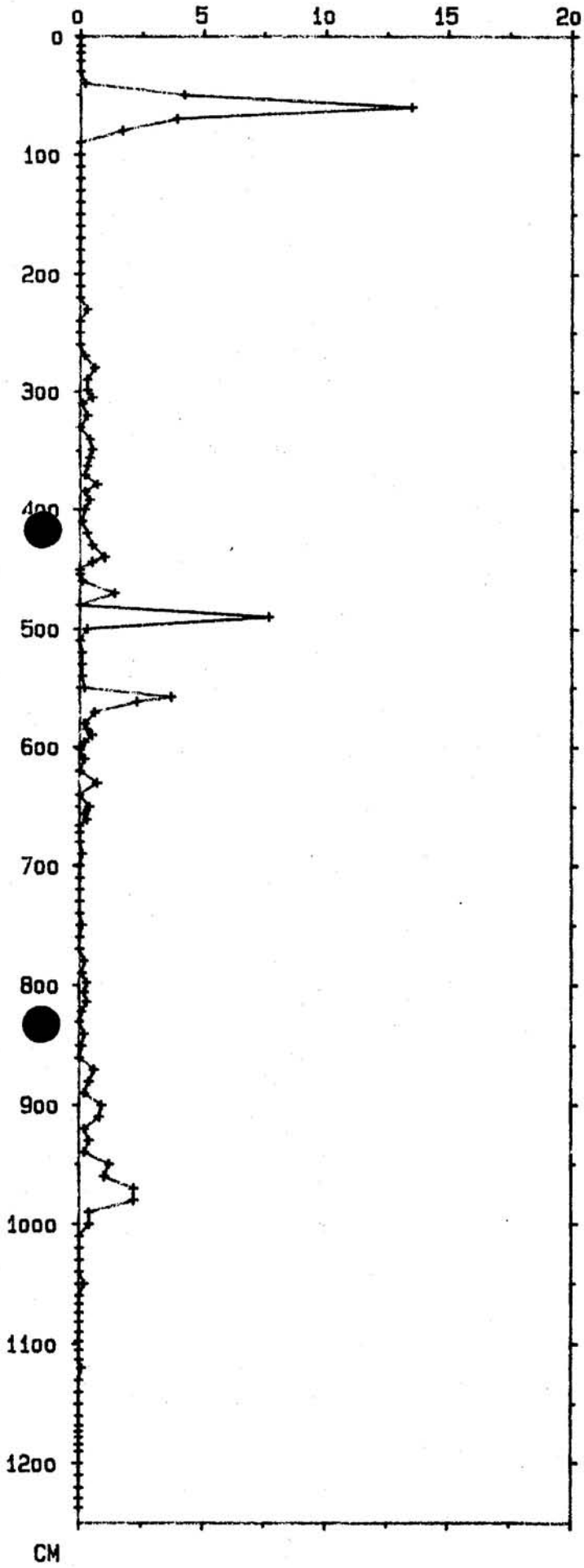
BENTH. KALK. FORAM.



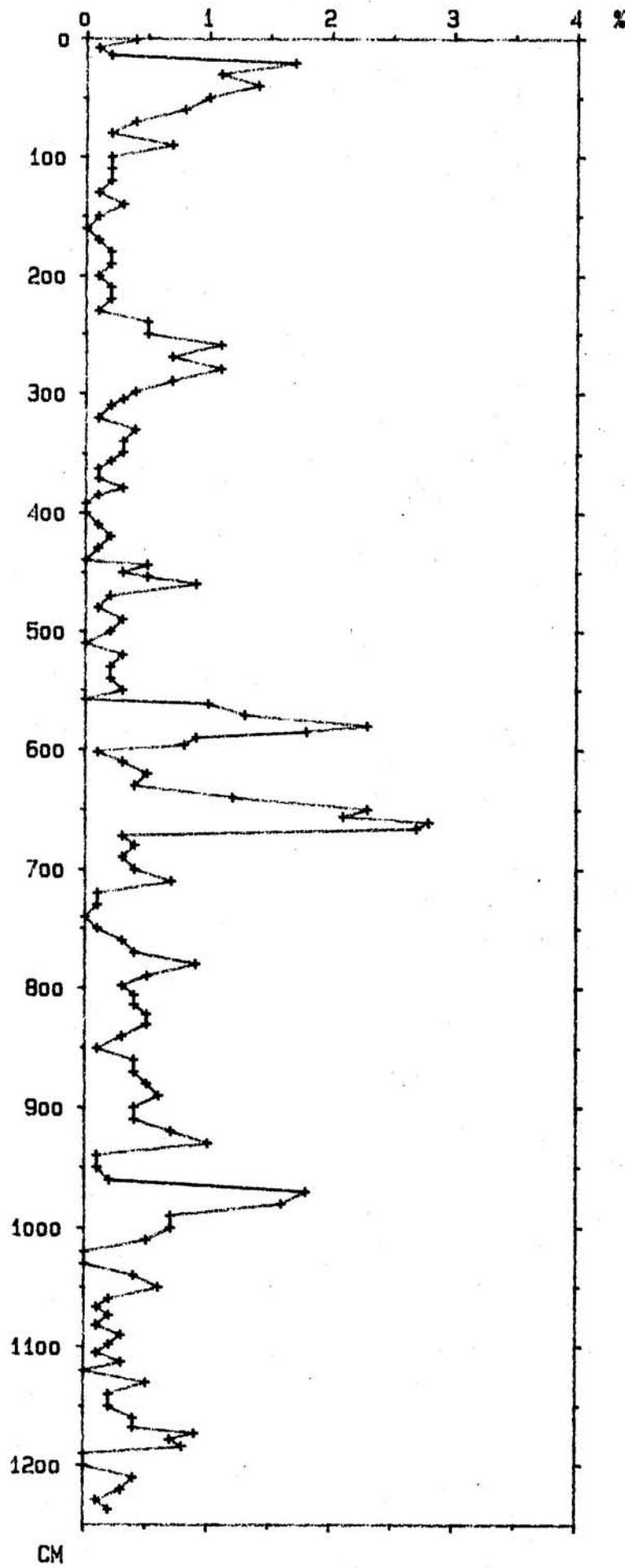
WASSERGEHALT



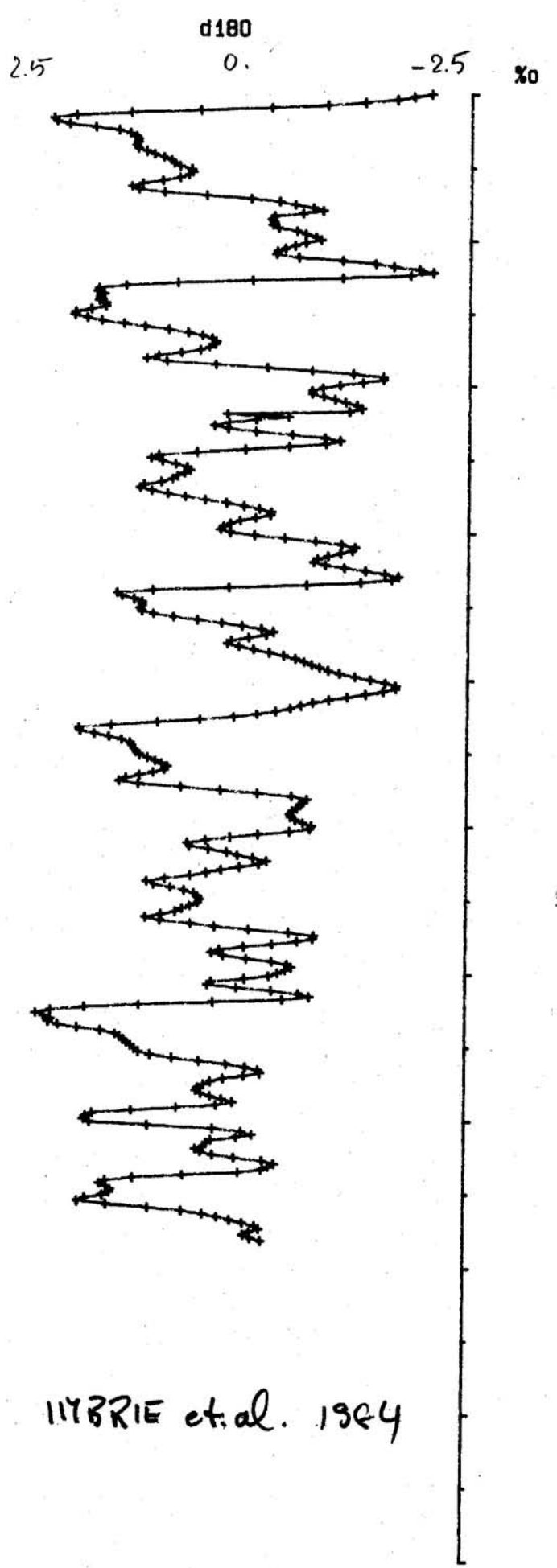
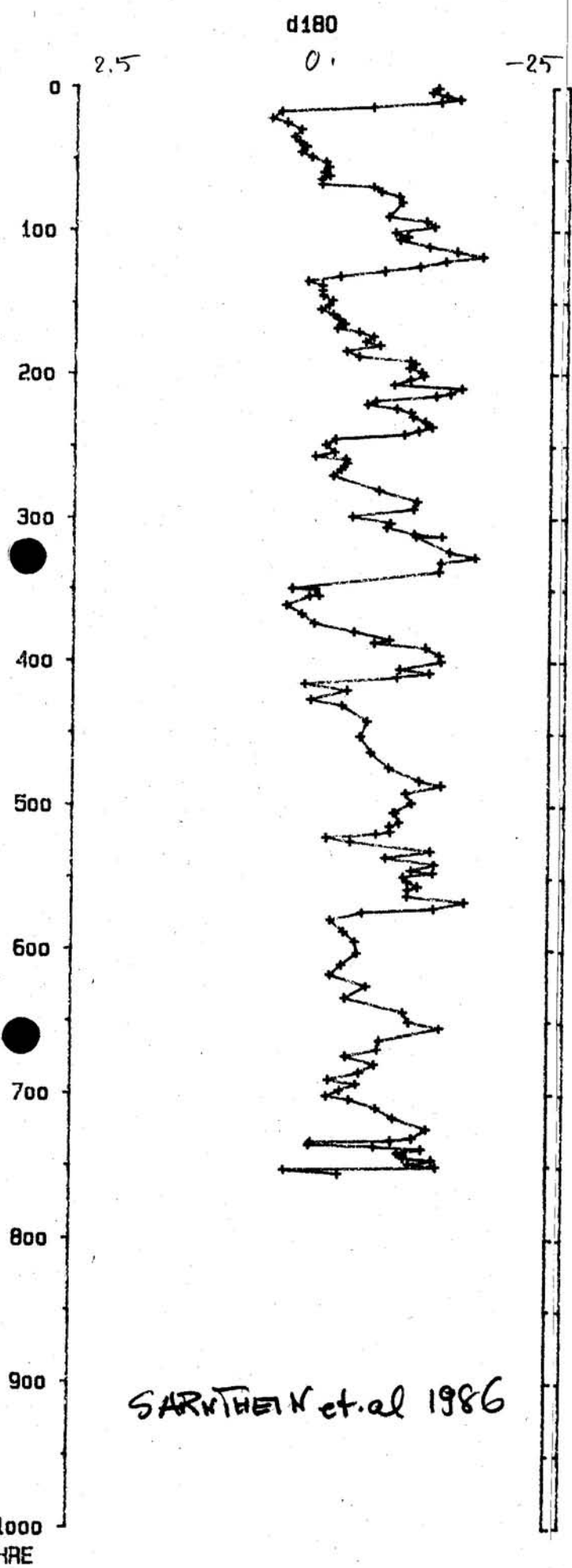
MANGANKNOLLEN



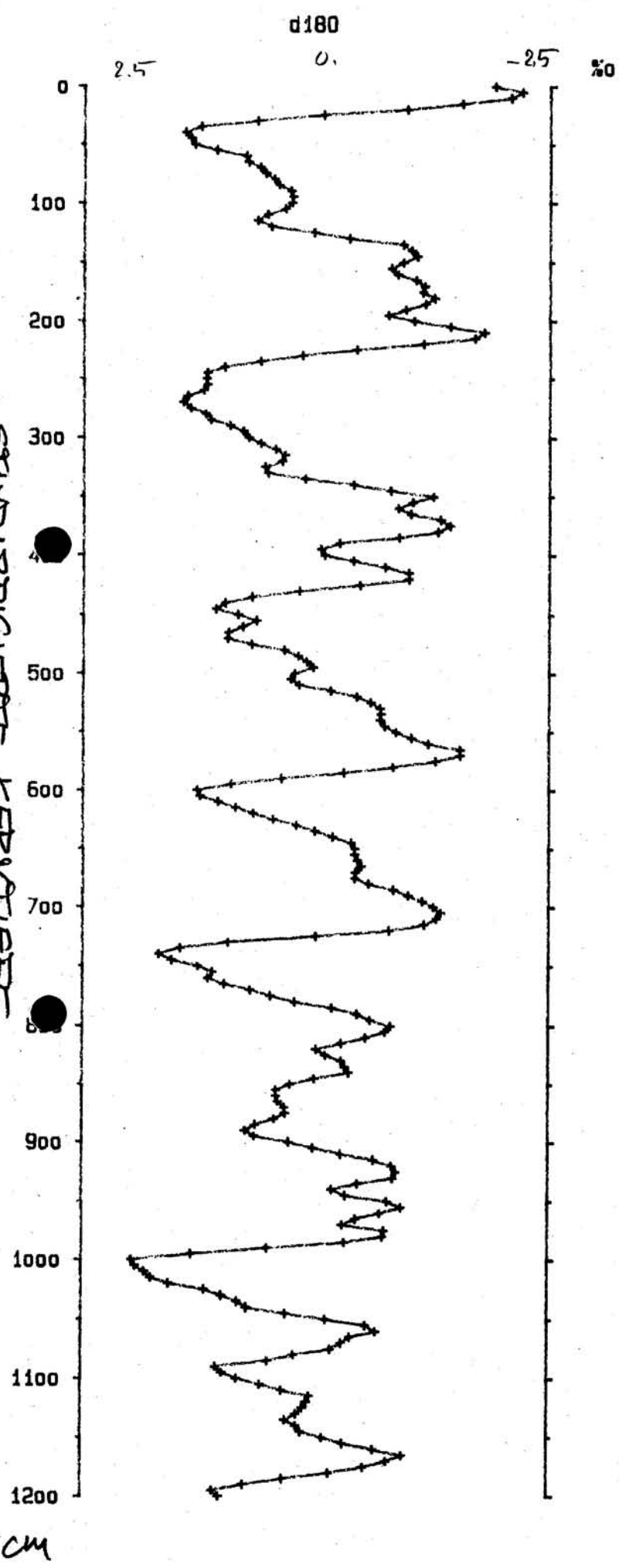
GLAUKONIT



X 1000
SÄHRE



STANDARDISIERTE KERNTIEFE



PRELL et al., 1986

Kern: 1388-3

0 - 1243 m

Söle festigkeit

Abbildung: Ränge teilweise mit 20, teilweise mit 50 gefahren. Entsprechende Profilstellen sind jedoch markiert.

12,36 → 50
9.38

12,15

9.5

12,18

9.08

12,05

9.44

11,98

7.92

11,88

9.32

11,82

9.56

11,76

9.25

9.33

1141

git

1165

git

1153

1146

1142

git

1134

git

1127

git

1116

git

1108

git

110614 from 1098

11091

git

11085

git

282 01

88697 1

Chart No. H-25-1

7.08/10, 11

6.94/10, 85

6.06/10, 77

2.02/10, 70

10, 63

2.09

10, 57

10, 46

6.14

7.29

10, 43

10, 32

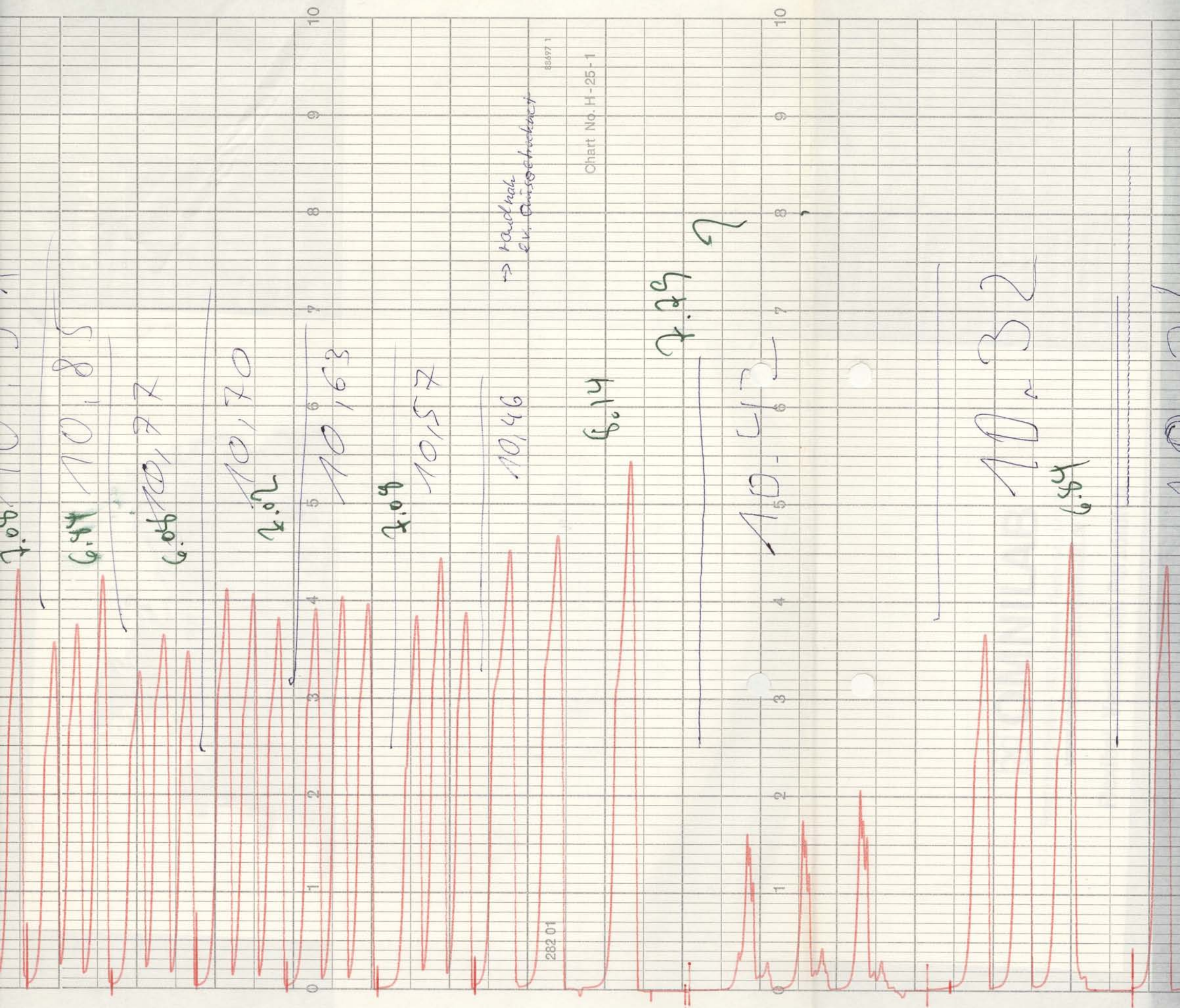
6.54

→ Handnah
Lk. Dienstbescheinigung

282 01

83697 1

Chart No. H-25-1



10
9
8
7
6
5
4
3
2
1
0

NO 24

5.26
r.t

W. V. ...

NO. 14

2.08
r.t

88497 1

Chart No. H-25-1

282 01

10
9
8
7
6
5
4
3
2
1
0

NO. 04

5.15
r.t

NO. 92

6.62
r.t

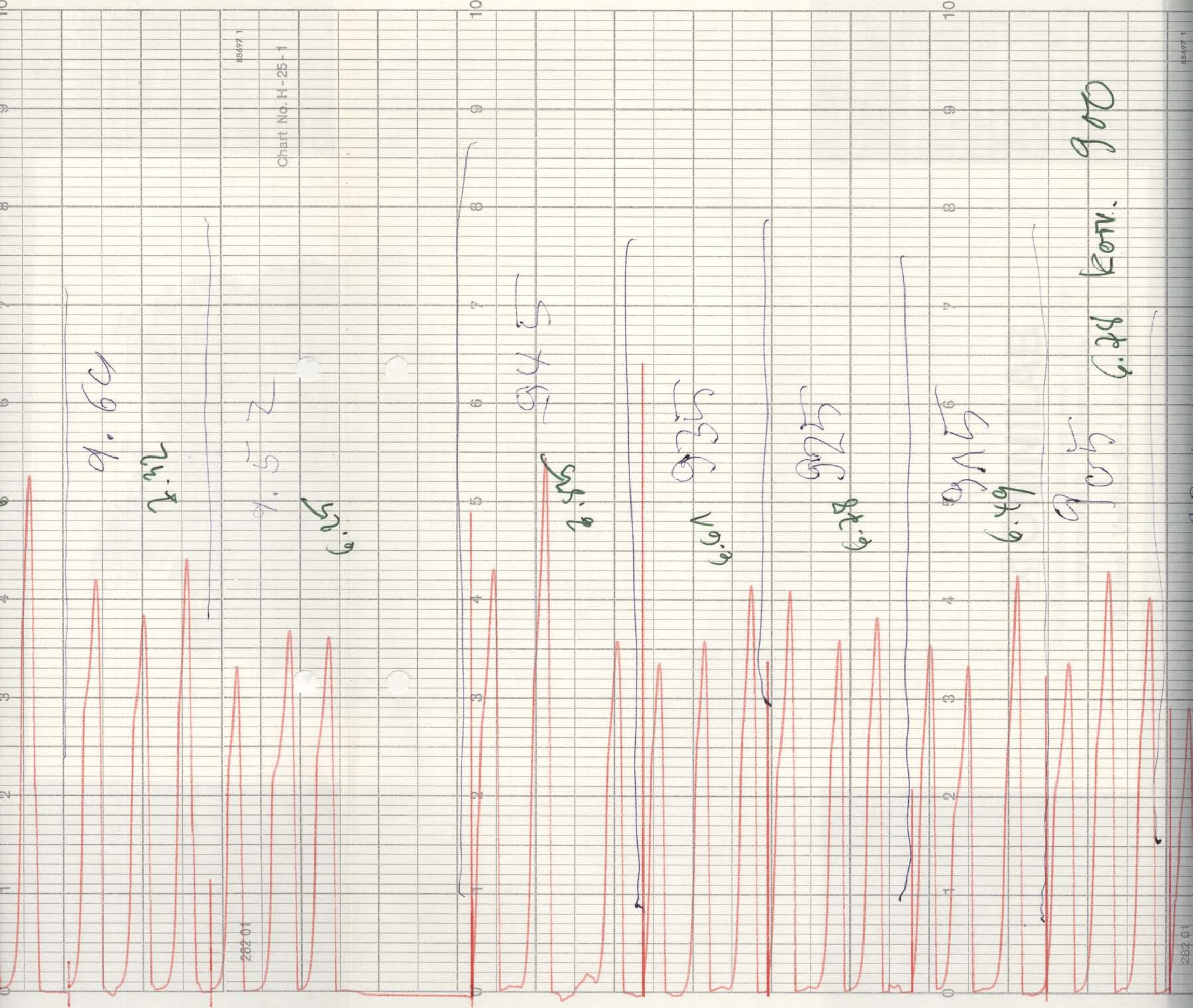
NO. 84

7.12
r.t

NO. 74

8.06
r.t

10
9
8
7
6
5
4
3
2
1
0



9.60

7.2

282.01

88497.1

Chart No. H-25-1

9.52

6.9

10 9 8 7 6 5 4 3 2 1 0

9.45

6.5

9.35
6.6

9.25
6.7

10 9 8 7 6 5 4 3 2 1 0

9.15

6.4

9.05
6.24
6.00

282.01

88497.1

282.01

88697.1

Chart No. H-25-1

895

895

888

895

874

895

895, 64

854

895

895, 46

895, 36

895, 27

282.01

88697.1

Chart No. H-25-1

↑
895, 87

895, 27

10.1

6.968, 1.19

6.968, 1.11

6.968, 1.03

6.968, 1.95

6.968, 1.85

6.968, 1.75

6.968, 1.65

6.968, 1.55

6.968, 1.54

6.968, 1.47

6.968, 1.41

6.968, 1.35

202 01

88497 1

Chart No. H-25-1

6.27, 33

5.27, 23

5.57, 13

6.07, 02

5.31, 93

5.95, 6182

5.48, 73

5.61, 67

6.61

5.07

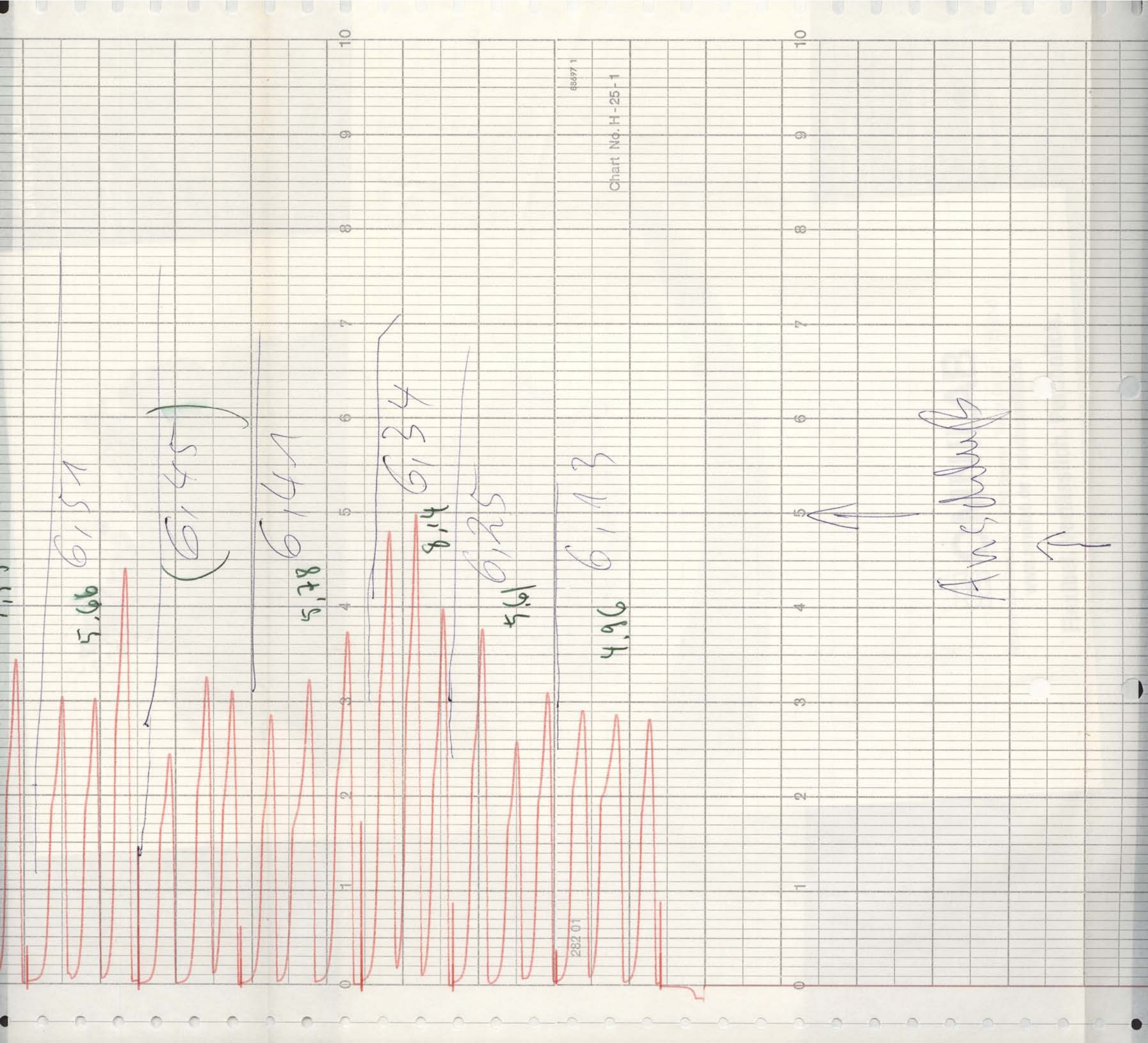
5.55, 6, 57

5.66, 6, 51

282 01

88497 1

Chart No. H-25-1



5.66 6.15

(6.45)

5.78 6.41

6.34 8.14

5.61 6.25

4.96 6.13

Ausdruck

282.01

88497.1

Chart No. H-25-1

0 1 2 3 4 5 6 7 8 9 10

282 01

85697 1

Chart No. H-25-1

0 1 2 3 4 5 6 7 8 9 10

Anschluss



6,04

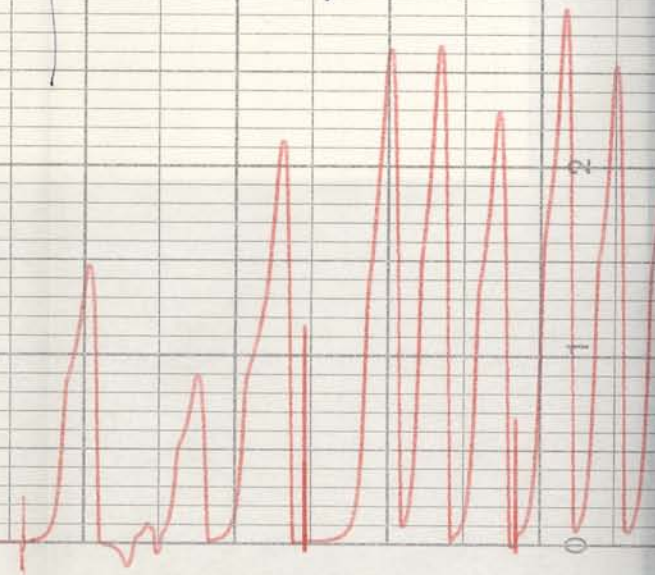
2.83

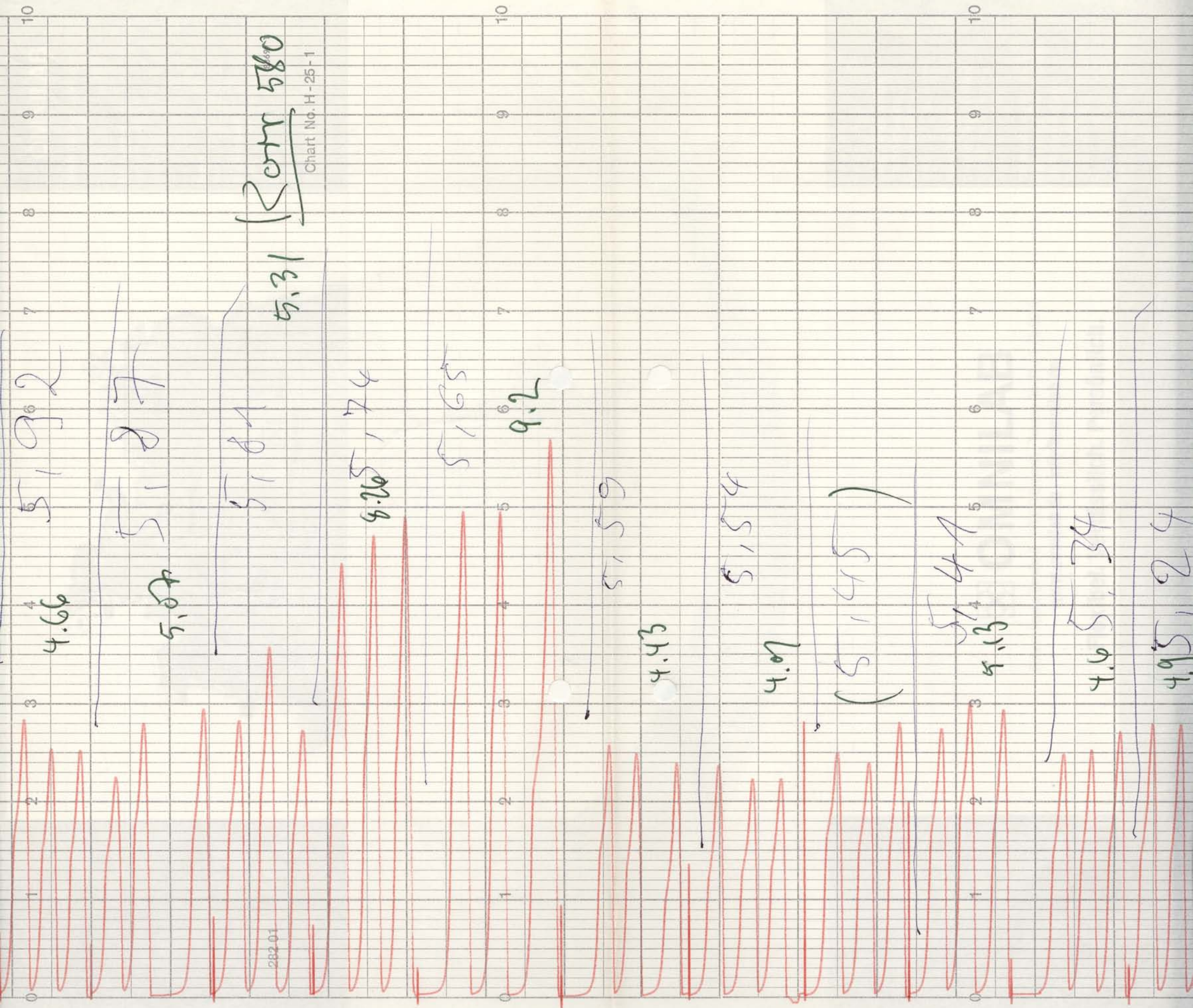
4.43

5,98

4.66

5,92





4.66
5,92

5.07
5,87

5,84

5.31
Rotr 580

282.01

5.26
5,74

5,65

9.2

5,59

4.43

5,54

4.07

(5,45)

5,47

4.13

4.65
5,34

4.95
5,24

Chart No. H-25-1

282.01

88697 1

Chart No. H-25-1

4.95, 2.4

4.38, 1.14

4.28, 5.04

4.19, 4.94

3.54, 4.84

4.48, 4.74

4.9, 4.64

4.15, 5.13

4.52, 5.49

4.66, 4.46

4.49

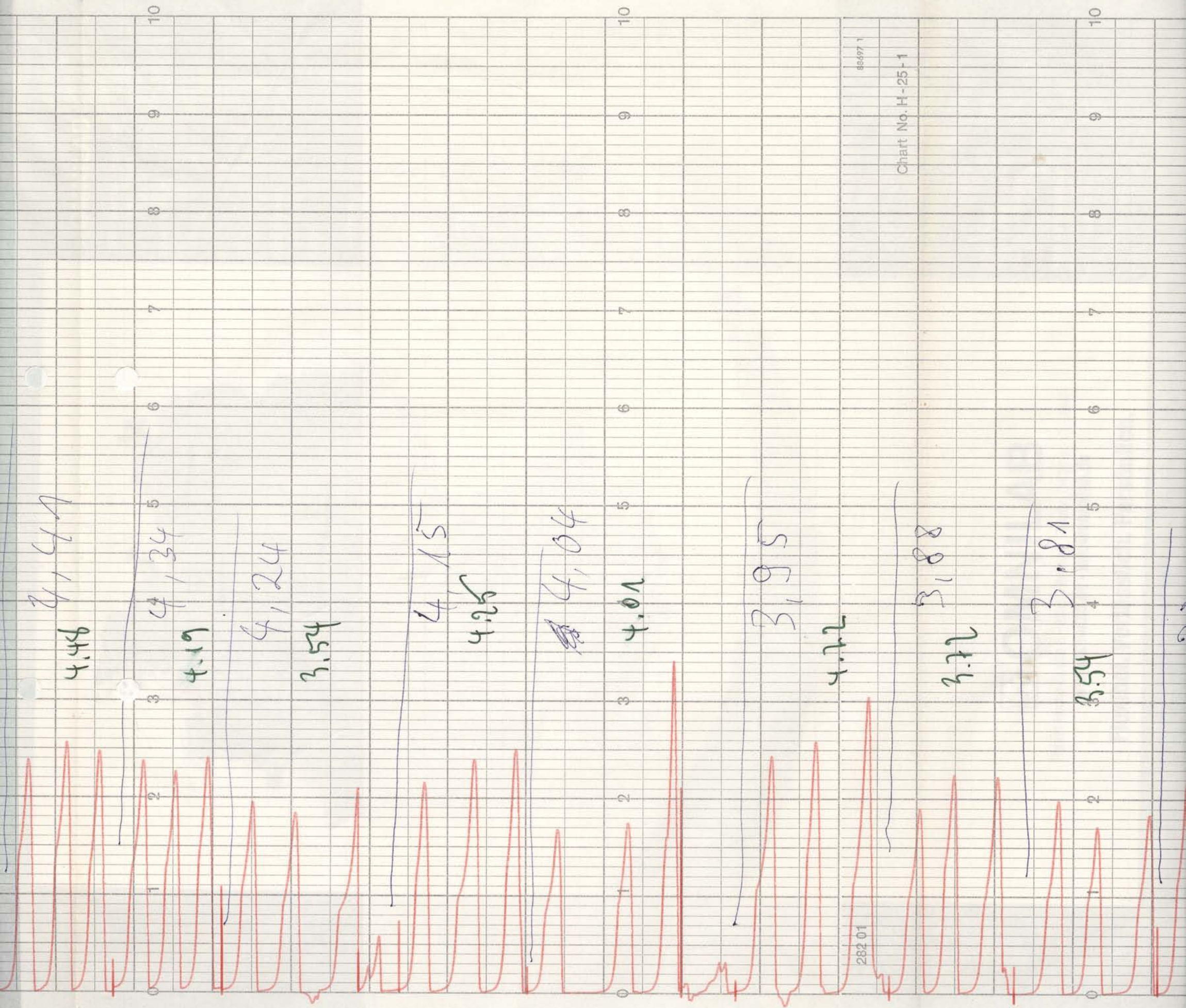
0 1 2 3 4 5 6 7 8 9 10

0 1 2 3 4 5 6 7 8 9 10

282.01

88697 1

Chart No. H-25-1



282.01

88497.1

Chart No. H-25-1

Acc

3.89
3,79

3,66

4.3

4.99
3,58

3,54

3.42

3,45

4.6

3,36

2.83

3,26

3.13

3,16

3.36

3.3
BOD

26201

88697 1

Chart No. H-25-1

3.3 B O F

3.42 B O Z

3.42 2 94

3.6 2-85

10

2.75

5.96
20

Range 50

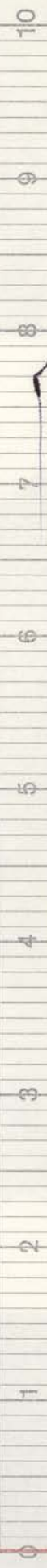
2.65

Dämpfung 50

Kollisionslos
6.14

2.55

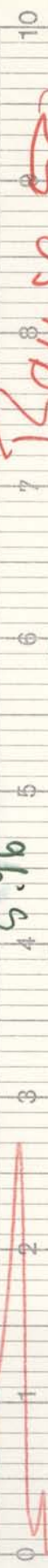
5.24



252-01

88497 1

Chart No. H-25-1



5.24

2.46

2.47

3.16

2.74

282.01

88497.1

Chart No. H-25-1

2.34

2.74

2.86

2.86

2.74

2.67

2.09

3.14

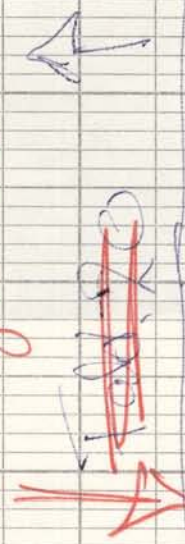
2.57

2.94

Range 90

2.57 1.964

Range 20



2 4 6 8 10

1.84

10

282 01

88497 1

2.44

Range 10

10

1.74

2.16

1.64

Range 50

2.6

1.54

1.46

2.3

1.42

2.02 1.95

1.34

2.12

1.24

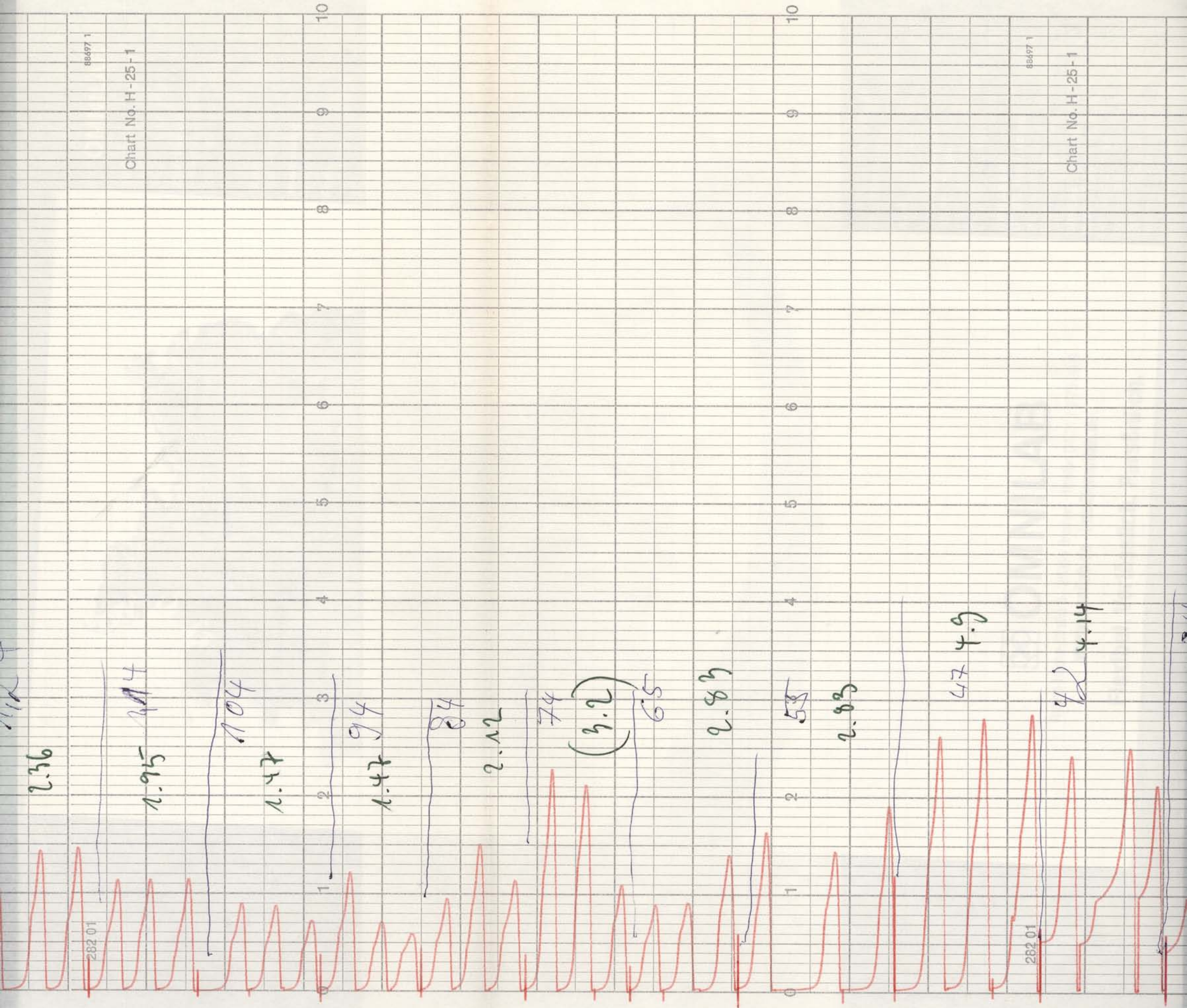
2.36

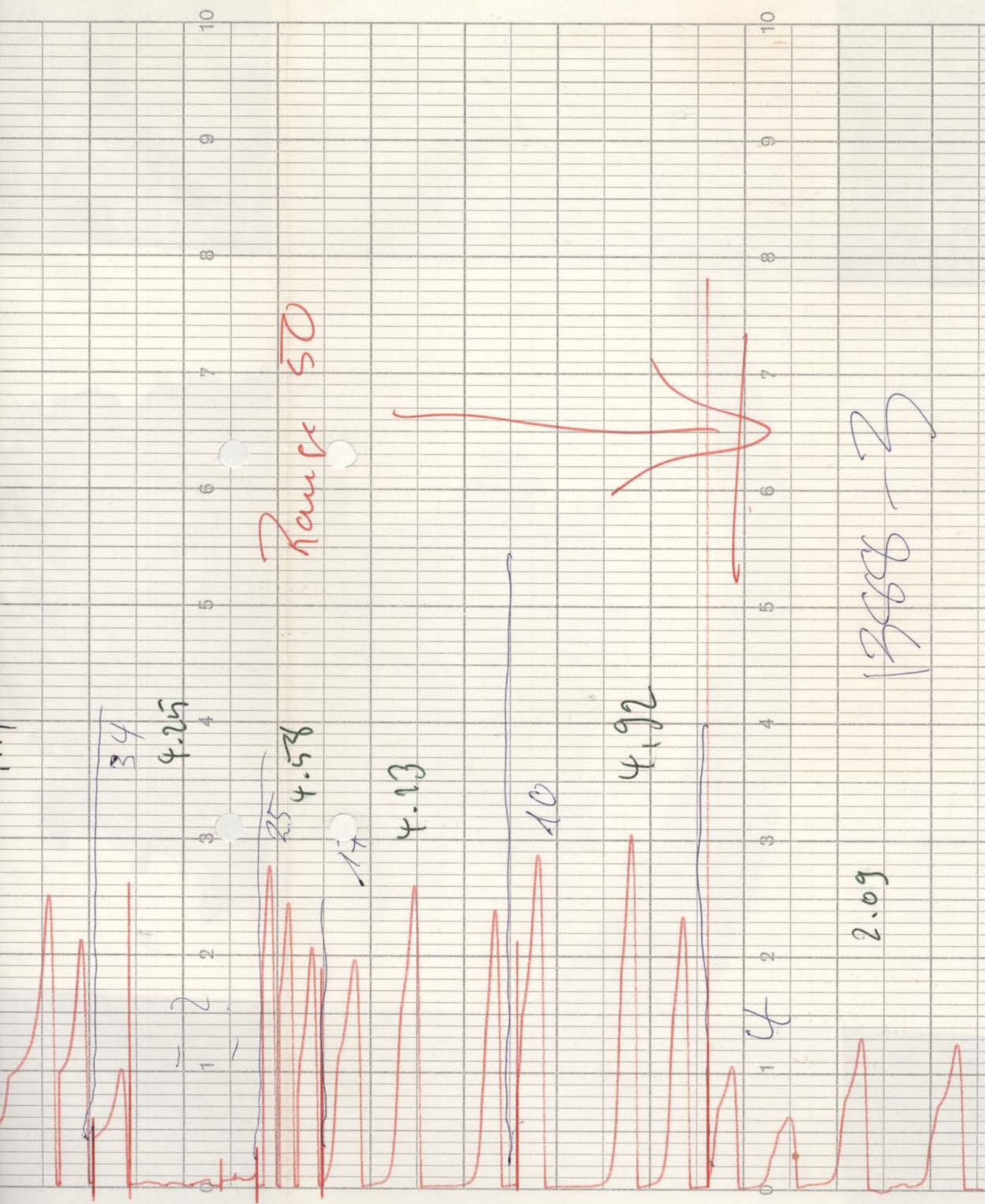
0 1 2 3 4 5 6 7 8 9 10

0 1 2 3 4 5 6 7 8 9 10

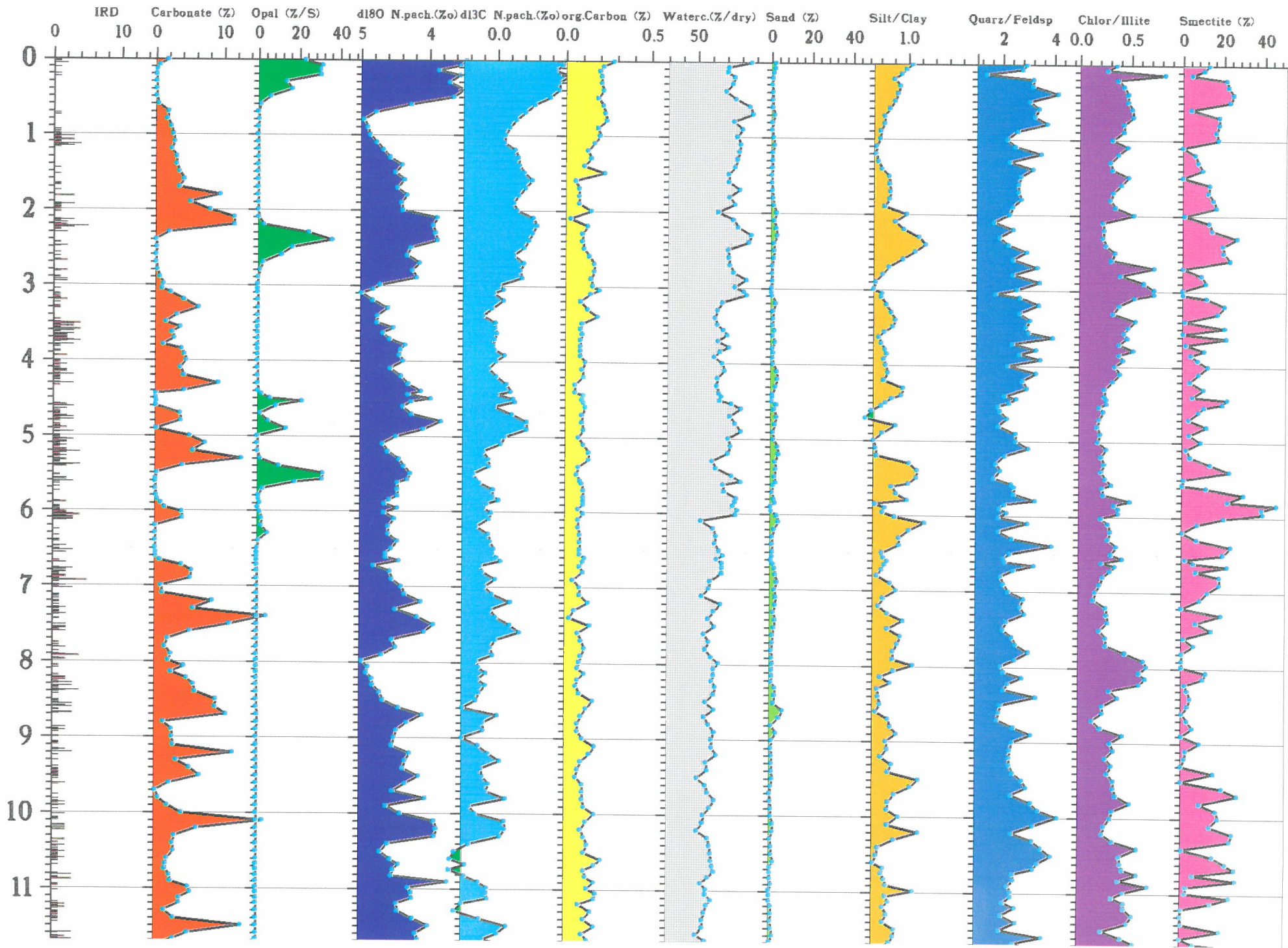
282 01

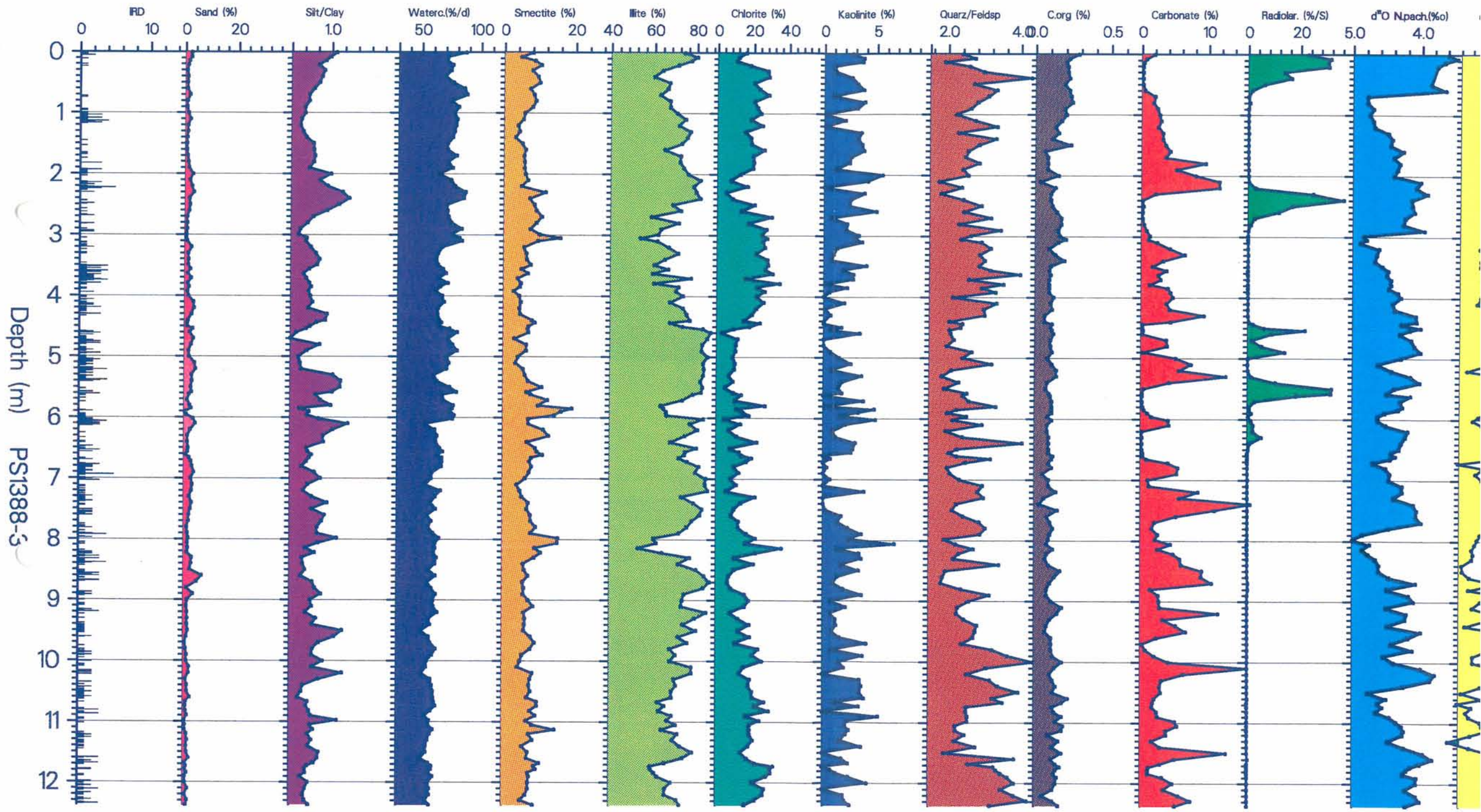
88497 1



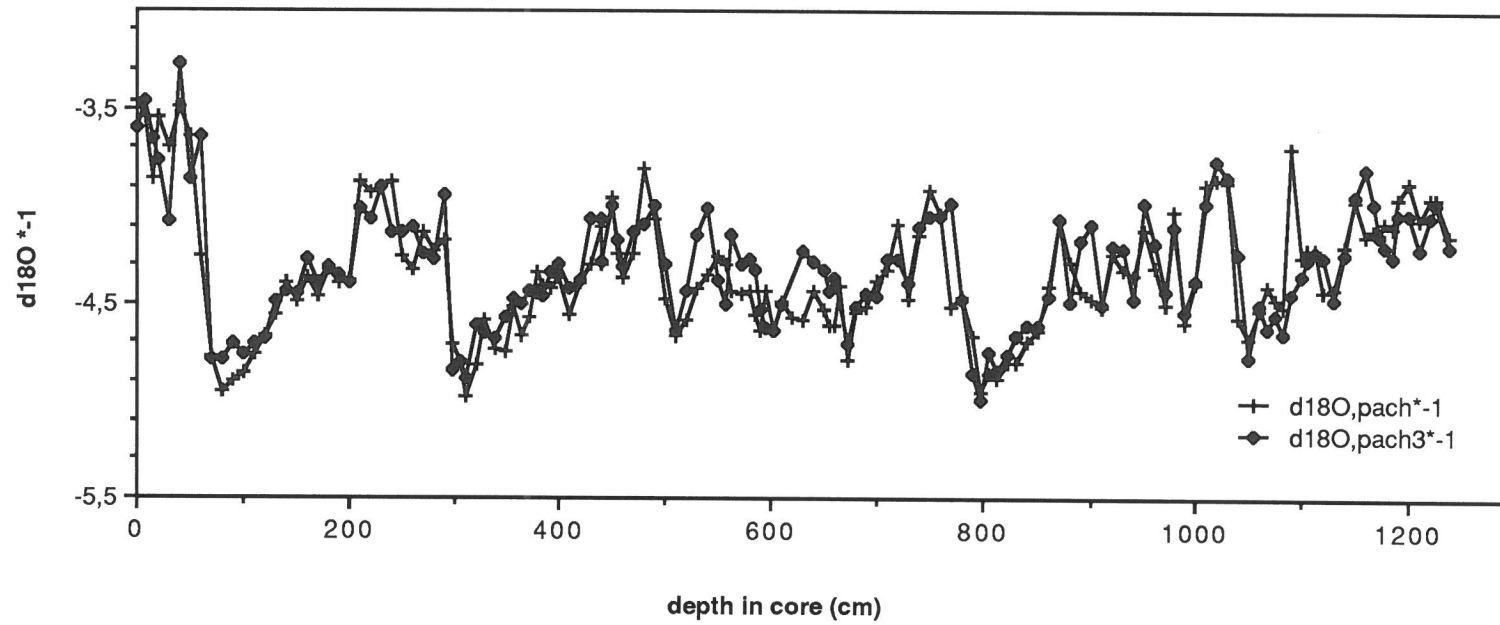


Depth (m) PS 1388-3

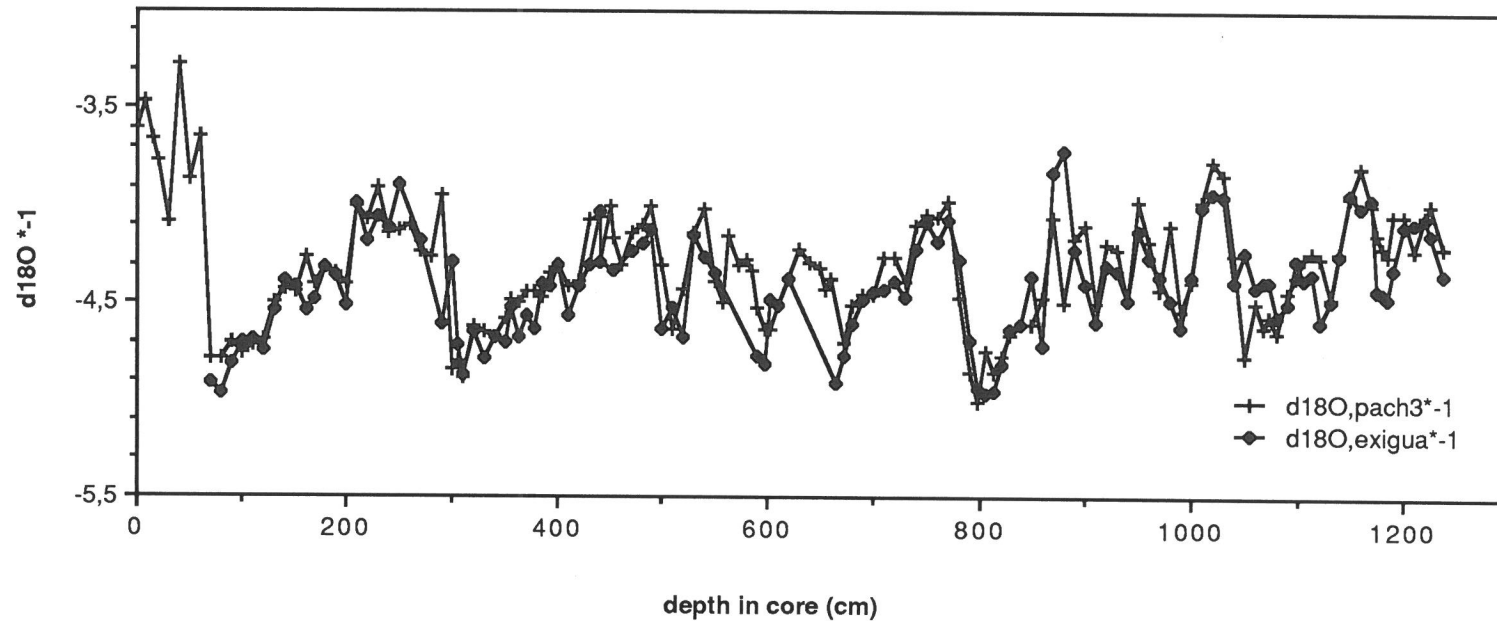




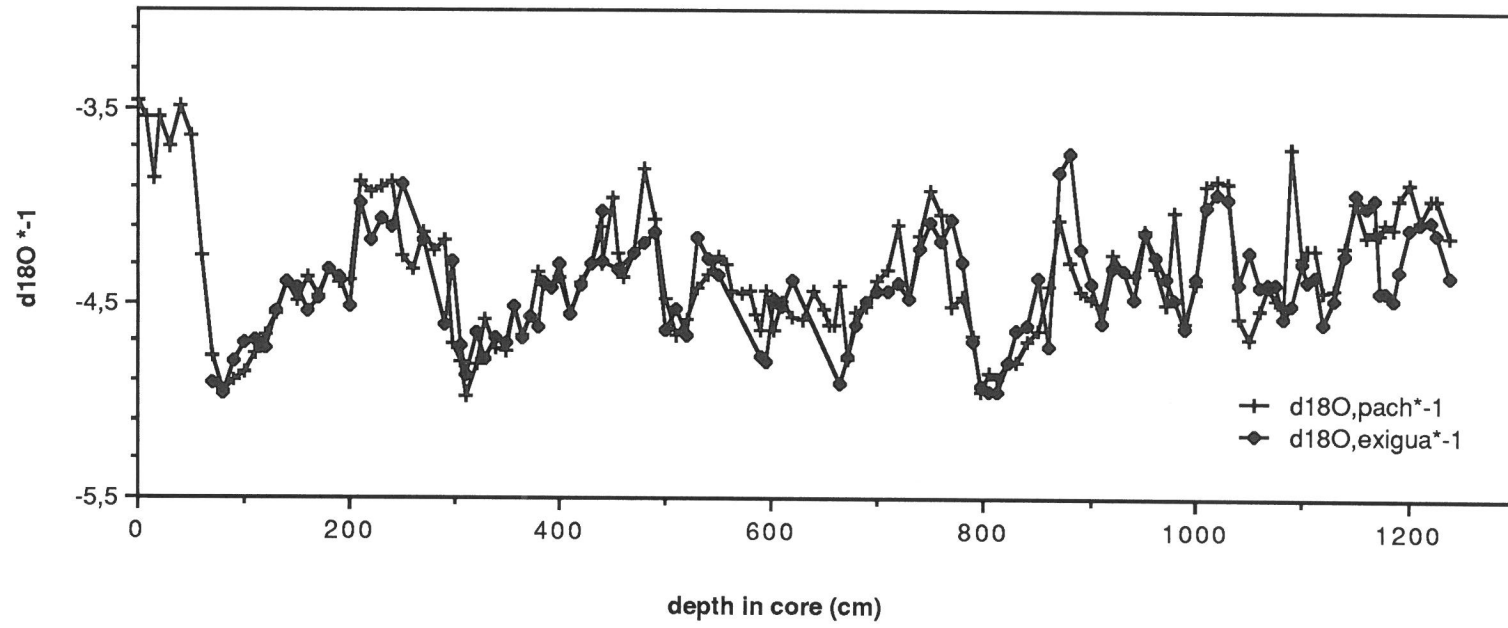
Data from "1388iso.komplett"



Data from "1388iso.komplett"



Data from "1388iso.komplett"



Core 1388-3

X-ray Analysis

AWI

